



GUIA PRÁTICO DE CEFALOMETRIA

SISTEMA CFAZ.NET

Gilson Cesar Nobre Franco
Amanda Regina Fischborn
Jéssica Daniela Andreis
Fabio Brasil de Oliveira
(Organizadores)

Liga Odontológica
De Diagnóstico
Por Imagem - UEPG

Atena
Editora
Ano 2021



GUIA PRÁTICO DE CEFALOMETRIA

SISTEMA CFAZ.NET

Gilson Cesar Nobre Franco
Amanda Regina Fischborn
Jéssica Daniela Andreis
Fabio Brasil de Oliveira
(Organizadores)

Liga Odontológica
De Diagnóstico
Por Imagem - UEPG

Atena
Editora
Ano 2021

Editora chefe

Profª Drª Antonella Carvalho de Oliveira

Editora executiva

Natalia Oliveira

Assistente editorial

Flávia Roberta Barão

Bibliotecária

Janaina Ramos

Projeto gráfico

Camila Alves de Cremo

Daphynny Pamplona

Luiza Alves Batista

Maria Alice Pinheiro

Natália Sandrini de Azevedo

Imagens da capa

iStock

Edição de arte

Luiza Alves Batista

2021 by Atena Editora

Copyright © Atena Editora

Copyright do texto © 2021 Os autores

Copyright da edição © 2021 Atena Editora

Direitos para esta edição cedidos à Atena Editora pelos autores.

Open access publication by Atena Editora



Todo o conteúdo deste livro está licenciado sob uma Licença de Atribuição *Creative Commons*. Atribuição-Não-Comercial-NãoDerivativos 4.0 Internacional (CC BY-NC-ND 4.0).

O conteúdo do texto e seus dados em sua forma, correção e confiabilidade são de responsabilidade exclusiva dos autores, inclusive não representam necessariamente a posição oficial da Atena Editora. Permitido o *download* da obra e o compartilhamento desde que sejam atribuídos créditos aos autores, mas sem a possibilidade de alterá-la de nenhuma forma ou utilizá-la para fins comerciais.

Todos os manuscritos foram previamente submetidos à avaliação cega pelos pares, membros do Conselho Editorial desta Editora, tendo sido aprovados para a publicação com base em critérios de neutralidade e imparcialidade acadêmica.

A Atena Editora é comprometida em garantir a integridade editorial em todas as etapas do processo de publicação, evitando plágio, dados ou resultados fraudulentos e impedindo que interesses financeiros comprometam os padrões éticos da publicação. Situações suspeitas de má conduta científica serão investigadas sob o mais alto padrão de rigor acadêmico e ético.

Conselho Editorial**Ciências Biológicas e da Saúde**

Prof. Dr. André Ribeiro da Silva – Universidade de Brasília

Profª Drª Anelise Levay Murari – Universidade Federal de Pelotas

Prof. Dr. Benedito Rodrigues da Silva Neto – Universidade Federal de Goiás

Profª Drª Daniela Reis Joaquim de Freitas – Universidade Federal do Piauí

Profª Drª Débora Luana Ribeiro Pessoa – Universidade Federal do Maranhão

Prof. Dr. Douglas Siqueira de Almeida Chaves – Universidade Federal Rural do Rio de Janeiro

Prof. Dr. Edson da Silva – Universidade Federal dos Vales do Jequitinhonha e Mucuri

Profª Drª Elizabeth Cordeiro Fernandes – Faculdade Integrada Medicina

Profª Drª Eleuza Rodrigues Machado – Faculdade Anhanguera de Brasília

Profª Drª Elane Schwinden Prudêncio – Universidade Federal de Santa Catarina

Profª Drª Eysler Gonçalves Maia Brasil – Universidade da Integração Internacional da Lusofonia Afro-Brasileira

Prof. Dr. Ferlando Lima Santos – Universidade Federal do Recôncavo da Bahia

Profª Drª Fernanda Miguel de Andrade – Universidade Federal de Pernambuco

Prof. Dr. Fernando Mendes – Instituto Politécnico de Coimbra – Escola Superior de Saúde de Coimbra

Profª Drª Gabriela Vieira do Amaral – Universidade de Vassouras

Prof. Dr. Gianfábio Pimentel Franco – Universidade Federal de Santa Maria

Prof. Dr. Helio Franklin Rodrigues de Almeida – Universidade Federal de Rondônia

Profª Drª Iara Lúcia Tescarollo – Universidade São Francisco

Prof. Dr. Igor Luiz Vieira de Lima Santos – Universidade Federal de Campina Grande

Prof. Dr. Jefferson Thiago Souza – Universidade Estadual do Ceará

Prof. Dr. Jesus Rodrigues Lemos – Universidade Federal do Piauí

Prof. Dr. Jônatas de França Barros – Universidade Federal do Rio Grande do Norte

Prof. Dr. José Max Barbosa de Oliveira Junior – Universidade Federal do Oeste do Pará

Prof. Dr. Luís Paulo Souza e Souza – Universidade Federal do Amazonas

Profª Drª Magnólia de Araújo Campos – Universidade Federal de Campina Grande

Prof. Dr. Marcus Fernando da Silva Praxedes – Universidade Federal do Recôncavo da Bahia

Profª Drª Maria Tatiane Gonçalves Sá – Universidade do Estado do Pará

Profª Drª Mylena Andréa Oliveira Torres – Universidade Ceuma

Profª Drª Natiéli Piovesan – Instituto Federal do Rio Grande do Norte
Prof. Dr. Paulo Inada – Universidade Estadual de Maringá
Prof. Dr. Rafael Henrique Silva – Hospital Universitário da Universidade Federal da Grande Dourados
Profª Drª Regiane Luz Carvalho – Centro Universitário das Faculdades Associadas de Ensino
Profª Drª Renata Mendes de Freitas – Universidade Federal de Juiz de Fora
Profª Drª Vanessa da Fontoura Custódio Monteiro – Universidade do Vale do Sapucaí
Profª Drª Vanessa Lima Gonçalves – Universidade Estadual de Ponta Grossa
Profª Drª Vanessa Bordin Viera – Universidade Federal de Campina Grande
Profª Drª Welma Emidio da Silva – Universidade Federal Rural de Pernambuco



Indexação: Gabriel Motomu Teshima
Revisão: Os autores
Organizadores: Gilson Cesar Nobre Franco
Amanda Regina Fischborn
Jéssica Daniela Andreis
Fabio Brasil de Oliveira

Dados Internacionais de Catalogação na Publicação (CIP)

G943 Guia prático de cefalometrica: sistema Cfaz.net /
Organizadores Gilson Cesar Nobre Franco, Amanda
Regina Fischborn, Jéssica Daniela Andreis, et al. -
Ponta Grossa - PR: Atena, 2021.

Outro organizador
Fabio Brasil de Oliveira

Formato: PDF
Requisitos de sistema: Adobe Acrobat Reader
Modo de acesso: World Wide Web
Inclui bibliografia
ISBN 978-65-5983-620-8
DOI: <https://doi.org/10.22533/at.ed.208212210>

1. Sinusite. 2. Tomografia computadorizada por raios X.
3. Seio maxilar. I. Franco, Gilson Cesar Nobre (Organizador).
II. Fischborn, Amanda Regina (Organizadora). III. Andreis,
Jéssica Daniela (Organizadora). IV. Título.

CDD 616.212

Elaborado por Bibliotecária Janaina Ramos – CRB-8/9166

Atena Editora
Ponta Grossa – Paraná – Brasil
Telefone: +55 (42) 3323-5493
www.atenaeditora.com.br
contato@atenaeditora.com.br

DECLARAÇÃO DOS AUTORES

Os autores desta obra: 1. Atestam não possuir qualquer interesse comercial que constitua um conflito de interesses em relação ao artigo científico publicado; 2. Declaram que participaram ativamente da construção dos respectivos manuscritos, preferencialmente na: a) Concepção do estudo, e/ou aquisição de dados, e/ou análise e interpretação de dados; b) Elaboração do artigo ou revisão com vistas a tornar o material intelectualmente relevante; c) Aprovação final do manuscrito para submissão.; 3. Certificam que os artigos científicos publicados estão completamente isentos de dados e/ou resultados fraudulentos; 4. Confirmam a citação e a referência correta de todos os dados e de interpretações de dados de outras pesquisas; 5. Reconhecem terem informado todas as fontes de financiamento recebidas para a consecução da pesquisa; 6. Autorizam a edição da obra, que incluem os registros de ficha catalográfica, ISBN, DOI e demais indexadores, projeto visual e criação de capa, diagramação de miolo, assim como lançamento e divulgação da mesma conforme critérios da Atena Editora.

DECLARAÇÃO DA EDITORA

A Atena Editora declara, para os devidos fins de direito, que: 1. A presente publicação constitui apenas transferência temporária dos direitos autorais, direito sobre a publicação, inclusive não constitui responsabilidade solidária na criação dos manuscritos publicados, nos termos previstos na Lei sobre direitos autorais (Lei 9610/98), no art. 184 do Código Penal e no art. 927 do Código Civil; 2. Autoriza e incentiva os autores a assinarem contratos com repositórios institucionais, com fins exclusivos de divulgação da obra, desde que com o devido reconhecimento de autoria e edição e sem qualquer finalidade comercial; 3. Todos os e-book são *open access*, *desta forma* não os comercializa em seu site, sites parceiros, plataformas de *e-commerce*, ou qualquer outro meio virtual ou físico, portanto, está isenta de repasses de direitos autorais aos autores; 4. Todos os membros do conselho editorial são doutores e vinculados a instituições de ensino superior públicas, conforme recomendação da CAPES para obtenção do Qualis livro; 5. Não cede, comercializa ou autoriza a utilização dos nomes e e-mails dos autores, bem como nenhum outro dado dos mesmos, para qualquer finalidade que não o escopo da divulgação desta obra.

GUIA PRÁTICO DE CEFALOMETRIA

SISTEMA CFAZ.NET

ORGANIZADORES

GILSON CESAR NOBRE FRANCO

Graduado em Odontologia pela Pontifícia Universidade Católica de Campinas (2000). Doutor em Odontologia pela Faculdade de Odontologia de Piracicaba e Forsyth Institute (Harvard Medical/Dental School - Boston). Especialista em Radiologia Odontológica e Imaginologia. Capacitado em Tomografia Computadorizada. Atualização em Radiologia Odontológica. Professor do curso de Odontologia da Universidade Estadual de Ponta Grossa. Professor no Programa de Pós-Graduação Stricto Sensu em Odontologia da Universidade Estadual de Ponta Grossa. Membro da Sociedade Brasileira de Radiologia Odontológica. Membro da Associação Brasileira de Odontologia. Coordenador da Liga Odontológica de Diagnóstico por Imagem.

AMANDA REGINA FISCHBORN

Graduada em Odontologia pela Universidade Estadual de Ponta Grossa (2017). Mestre em Odontologia pela Universidade Estadual de Ponta Grossa. Professora do curso de Odontologia da Universidade Estadual de Ponta Grossa. Presidente da Liga Odontológica de Diagnóstico por Imagem.

JÉSSICA DANIELA ANDREIS

Graduada em Odontologia pela Universidade Estadual de Ponta Grossa (2017). Mestre em Odontologia pela Universidade Estadual de Ponta Grossa. Professora do curso de Odontologia da Universidade Cesumar Campus Ponta Grossa. Diretora científica da Liga Odontológica de Diagnóstico por Imagem.

FABIO BRASIL DE OLIVEIRA

Graduado em Odontologia pela Universidade Estadual de Ponta Grossa (2019). Diretor de mídia e comunicação da Liga Odontológica de Diagnóstico por Imagem.



GUIA PRÁTICO DE CEFALOMETRIA

SISTEMA CFAZ.NET

AUTORES

FERNANDA CRISTINA SALES SALINEIRO

Graduada em Odontologia pela Universidade Estadual Paulista Júlio de Mesquita Filho (2009). Doutora pela Faculdade de Odontologia da Universidade de São Paulo. Especialista em Radiologia Odontológica e Imaginologia. Professora do curso de especialização em Radiologia Odontológica e Imaginologia pela Universidade Estadual de Ponta Grossa.

JOSÉ LIMONGI

Graduado em Odontologia pela Faculdade Federal de Odontologia de Diamantina (1980). Especialista em Ortodontia, Radiologia Odontológica e Implantodontia. Diretor científico da Cfaz.net.

LEA CHIOCA

Graduada em Odontologia pela Universidade Estadual de Ponta Grossa (2004). Mestre e Doutora pela Universidade Federal do Paraná. Especialista em Radiologia Odontológica e Imaginologia pela Faculdade São Leopoldo Mandic. Professora supervisora da Liga Odontológica de Diagnóstico por Imagem.

MARCELA CLAUDINO

Graduada em Odontologia pela Pontifícia Universidade Católica do Paraná (2003). Mestre e Doutora em Biologia Oral pela Faculdade de Odontologia de Bauru. Professora do curso de Odontologia da Universidade Estadual de Ponta Grossa. Professora supervisora da Liga Odontológica de Diagnóstico por Imagem.

ANDREA GROSS

Graduada em Odontologia pela Pontifícia Universidade Católica do Paraná (1994). Mestre e Doutora em Radiologia pelo Centro de Pesquisas Odontológicas São Leopoldo Mandic. Especialista em Radiologia, Implantodontia, Saúde Coletiva, Saúde da Família e Atualizações Pedagógicas. Professora dos cursos de especialização em Implantodontia e Ortodontia na Faculdade de Sete Lagoas. Coordenadora do curso de especialização em Radiologia da Faculdade São Leopoldo Mandic.

GABRIELLA SCHMITZ OLIVEIRA

Graduada em Odontologia pela Universidade Estadual de Ponta Grossa. Membro da Liga Odontológica de Diagnóstico por Imagem.

LEOMAR EMANUEL ALMEIDA MECCA

Graduado em Odontologia pela Universidade Estadual de Ponta Grossa (2013). Mestre em Odontologia pela Universidade Estadual de Ponta Grossa. Especialista em Saúde Pública com ênfase em Saúde da Família e Gestão Pública. Diretor acadêmico da Liga Odontológica de Diagnóstico por Imagem.

NATÁLIA MARIANE RIGO

Graduanda em Odontologia pela Universidade Estadual de Ponta Grossa. Membro da Liga Odontológica de Diagnóstico por Imagem.

FELIPE BITTARELLO

Graduando em Odontologia pela Universidade Estadual de Ponta Grossa. Membro da Liga Odontológica de Diagnóstico por Imagem.

JÉSSICA HELENA VIEIRA GRANATO

Graduanda em Odontologia pela Universidade Estadual de Ponta Grossa. Membro da Liga Odontológica de Diagnóstico por Imagem.

ANNA ISIS FORNAZARI ROCHA

Graduanda em Odontologia pela Universidade Estadual de Ponta Grossa. Membro da Liga Odontológica de Diagnóstico por Imagem.

MILLENE HIKARI WATANABE

Graduanda em Odontologia pela Universidade Estadual de Ponta Grossa. Membro da Liga Odontológica de Diagnóstico por Imagem.

ALESSANDRA DE LIMA

Graduanda em Odontologia pela Universidade Estadual de Ponta Grossa. Membro da Liga Odontológica de Diagnóstico por Imagem.

VITÓRIA PAULINO ABRÃO

Graduanda em Odontologia pela Universidade Estadual de Ponta Grossa. Membro da Liga Odontológica de Diagnóstico por Imagem.

YOHANA POTERALA

Graduanda em Odontologia pela Universidade Estadual de Ponta Grossa. Membro da Liga Odontológica de Diagnóstico por Imagem.

GABRIEL LOPES ILIBRANTE

Graduando em Odontologia pela Universidade Estadual de Ponta Grossa. Membro da Liga Odontológica de Diagnóstico por Imagem.

AMANDA GAIO MACHADO

Graduanda em Odontologia pela Universidade Estadual de Ponta Grossa. Membro da Liga Odontológica de Diagnóstico por Imagem.

MILENE PETKOWICZ

Graduanda em Odontologia pela Universidade Estadual de Ponta Grossa. Membro da Liga Odontológica de Diagnóstico por Imagem.

CECÍLIA WOSNIACKI BICUDO

Graduanda em Odontologia pela Universidade Estadual de Ponta Grossa. Membro da Liga Odontológica de Diagnóstico por Imagem.

ANA RUBIA DRZEWINSKI DE MIRANDA

Graduanda em Odontologia pela Universidade Estadual de Ponta Grossa. Membro da Liga Odontológica de Diagnóstico por Imagem.

GUIA PRÁTICO DE CEFALOMETRIA

SISTEMA CFAZ.NET

S O B R E N Ó S

A Liga Odontológica De Diagnóstico Por Imagem (LODI-UEPG), foi fundada em 2019 com a finalidade de realizar estudos e atividades práticas relacionadas à Radiologia Odontológica e Imaginologia, promover eventos científicos, além de organizar mostras capazes de divulgar os assuntos estudados na área correlata.

Está localizada no Centro Radiológico do Departamento de Odontologia da Universidade Estadual de Ponta Grossa - UEPG, Campus de Uvaranas, situado na Av. General Carlos Cavalcanti, 4748, Bloco M, sala 10, CEP 84.030-900 - município de Ponta Grossa, Estado do Paraná.

É composta por professores, discentes de pós-graduação (Mestrado e Doutorado) e alunos de graduação do curso de Odontologia da UEPG, os quais, estes passam por um processo seletivo através de avaliação teórica realizada anualmente e cumprem a carga horária de dois semestres letivos.

FORMANDO PROFISSIONAIS QUE VALORIZAM O DIAGNÓSTICO



AMIGOS DA LODI

Cfaz.net

Concessão de uso do sistema integral para gerenciamento de todo centro radiológico, bem com promovendo a interface com as clínicas internas da UEPG

- Sistema em uso pela LODI: **Cfaz.net**
- Link para acesso: <https://www.cfaz.net/>

CYBERMED

Concessão de uso do software de manipulação e análise de imagens tomográficas, bem como confecção de template

- Software em uso pela LODI: **OnDemand 3D**
- Link para acesso: <https://www.ondemand3d.com/>

Carestream DENTAL

Concessão de uso do equipamento de Raio X digital (Sistema de placa de fósforo)

- Equipamento em uso pela LODI: **Escaner CS 7200 e placas de fósforo**
- Link para acesso: <https://www.carestreamdental.com/pt-br/csd-products/intraoral-imaging/cs-7200/>



Clínica radiológica local parceira, promovendo atendimento de pacientes da UEPG, quando de necessidades.

- Atendimento de pacientes da LODI
- Endereço: Comendador Ayrton Plaisant , Ponta Grossa/PR



SUMÁRIO

<u>Passo a passo</u>	9
<u>Finalização</u>	87
<u>Referências</u>	106

The image features a black background with several overlapping hexagonal shapes in shades of yellow and orange. These shapes are arranged in a way that creates a sense of depth and movement, with some appearing to be in the foreground and others receding into the background. The colors transition from a bright yellow to a darker orange, adding to the visual complexity.

PASSO A PASSO

1 PASSO A PASSO

- Inicie abrindo a aba “Pedidos” e em seguida clicar em “Novo pedido”.



Pedidos

Q Filtros de Busca

Novo Pedido



1 PASSO A PASSO

- Preencha as informações gerais, informações do paciente e informações do dentista.
- Em “Imagens do pedido”, selecione a aba “+ Cefalometria Lateral”.

Cfazmax

[Início](#) [Pedidos](#) [Solicitações](#) [Cadastros](#) [Mensagens](#) [Contatos](#) [Impressão](#) [Amanda](#)

Informações gerais

Data * 02/04/2021 21:09	Status do pedido * 1- Laudo (Amanda Fischborn)	Clinica * LODI - Diagnóstico por Imagem	Importar do Manager
-----------------------------------	--	---	---------------------

Info. paciente

Nome * Paciente exemplo	Data de Nascimento * 14/12/1994	Email	Sexo * <input type="radio"/> Masculino <input checked="" type="radio"/> Feminino
-----------------------------------	---	--------------	---

Mais

Info. dentista

Nome * Dentista exemplo	Email dentistaexemplo@hotmail.com	CRO
-----------------------------------	---	------------

Mais

Imagens do pedido

+ Radiografia	+ Fotografia	+ Cefalometria Lateral	+ Diagnóstico	+ Tomografia	+ Análise Idade óssea
+ Cefalometria Frontal	+ Análise Facial Frontal	+ Análise Facial Lateral	+ Análise De Modelo	+ Traçado Panorâmico	+ Arquivo Pdf

1 PASSO A PASSO

- No campo que abriu na parte inferior da tela, clique na aba “selecione”, e carregue o arquivo do seu computador.
- Se você já possui o valor do dpi, insira na aba logo abaixo.
- Em “Cephalometrics”, selecione as análises que deseja realizar. Ex: McNamara, Ricketts e USP.
- Clique em “Criar pedido”.

Cefalometria Lateral

Selezione

283

Cephalometrics

- Apnéia do Sono
- Arnett
- Bimler

Excluir Cefalometria Lateral

Cefalometria Lateral

Alterar Excluir

283

- UNESP
- Unicamp
- USP
- USP-Unicamp

Excluir Cefalometria Lateral

Criar e Continuar **Criar Pedido**

1 PASSO A PASSO

- Observe que o pedido foi criado, e que o campo referente a cefalometria lateral aparece na cor vermelha, o que significa que é um exame “novo”. Quando esse exame é iniciado, esse status se altera automaticamente para a cor laranja, o que significa que está em “andamento”. Quando o laudador finaliza o exame, esse status é alterado para a cor verde, que significa “finalizado”.
- Clique no campo “Cefalometria Lateral”, que está na cor vermelha.
- Clique na aba “Traçar” em ações, na lateral da tela.



Exames Solicitados

Documentação

Cefalometria Lateral

Edição

Impressão

Traçado ainda não foi realizado

Ações

Traçar

Baixar laudo

CALIBRAÇÃO DA IMAGEM

A imagem deve estar calibrada de acordo com o tamanho real. Essa calibração deve ser feita, preferencialmente, de acordo com o exame impresso. Durante a instalação dos equipamentos radiológicos, a calibração das imagens é realizada e um valor de DPI é gerado a partir da resolução da imagem adquirida e impressa. Caso o valor de DPI não for conhecido, é possível realizar uma calibração manual das imagens inseridas no sistema. Da seguinte forma:

- Na lateral da tela, na aba “Info. Paciente”, em “Pontos por polegada”, clique em “Calibrar”.
- Coloque zoom na imagem, e com o botão esquerdo do mouse, arraste a imagem de forma que a régua fique centralizada.
- Clique no ponto inicial da régua (P1), e no ponto de 25mm (P2).
- No campo “mm”, na lateral da tela, insira o valor de 25mm.
- Clique em “Calcular”.

Pontos Planos Estrut.

Info. paciente

Nome: Paciente exemplo
Idade: 26 anos e 3 meses
Sexo: Feminino
Indicação: Dentista exemplo

Info. exame

Situação:
Em andamento

Pontos por polegada:
283 dpi Calibrar

Comentários:

Pontos Planos Estrut.

Info. paciente

Nome: Cefalometria lateral
Idade: 26 anos e 3 meses
Sexo: Feminino
Indicação: Dentista Exemplo

Info. exame

Situação:
Em andamento

Pontos por polegada:
283 dpi Calibrar

25 mm P1 P2

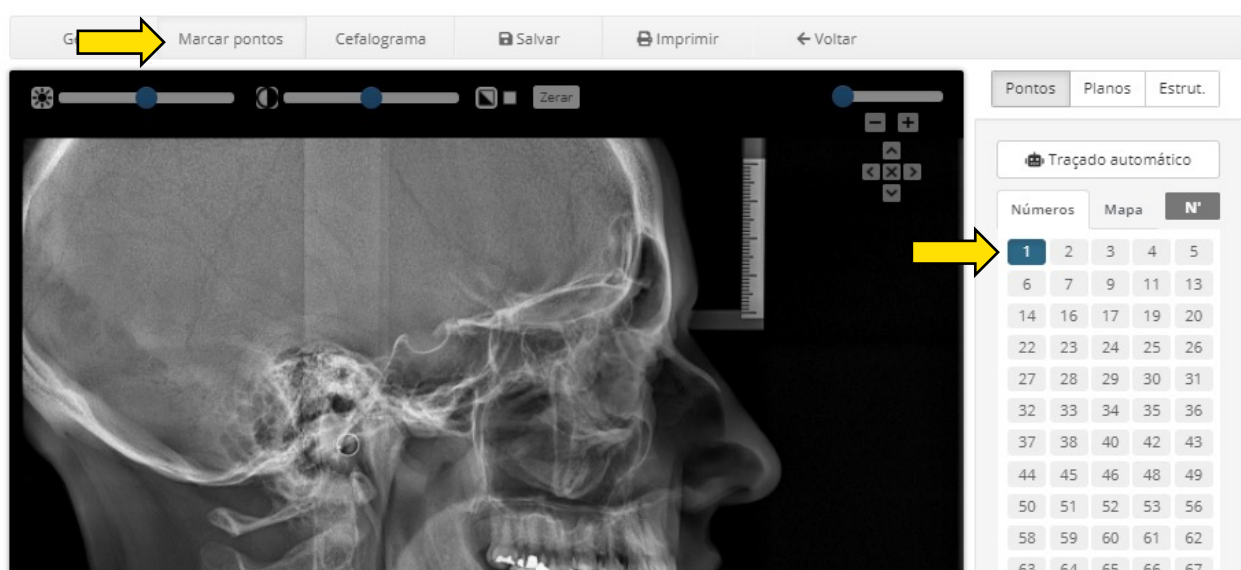
Calcular

Comentários:

1 PASSO A PASSO

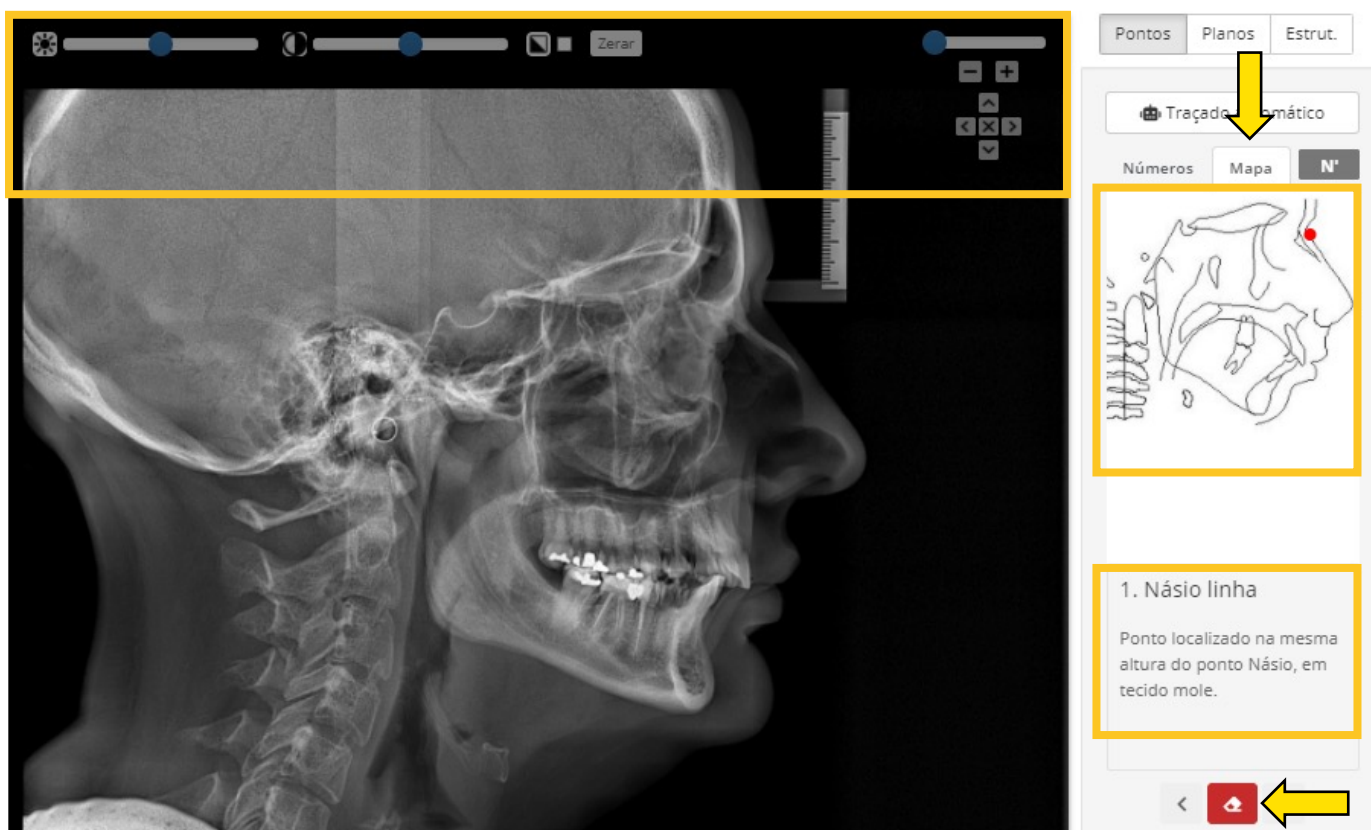
MARCAÇÃO DOS PONTOS

- Clique na aba “Marcar pontos”
- Através da inteligência artificial, podemos realizar o traçado automaticamente, porém, devemos sempre conferir os pontos. Nesse sentido, é importante ter conhecimento desses pontos. Dessa forma, realize a marcação de forma manual.
- Perceba que ao clicar em “Marcar pontos”, automaticamente já abre uma aba para a marcação do ponto 1, na lateral da tela.



1 PASSO A PASSO

- Se clicar na aba “Mapa”, na lateral da tela, a plataforma fornece o nome do ponto, a descrição dele, e um cefalograma ilustrativo indicando a região do ponto a ser marcada.
- Realize as marcações dos pontos, seguindo a sequência indicada. Dessa forma, utilizando as ferramentas disponíveis na região superior da tela, é possível alterar contraste, zoom e inverter cores, para facilitar a visualização dos pontos. Para arrastar a imagem, utilize o botão esquerdo do mouse.
- Note abaixo da descrição do ponto, o ícone “apagar”. Se acaso você marcar o ponto em algum lugar errado, volte, apague e refaça.



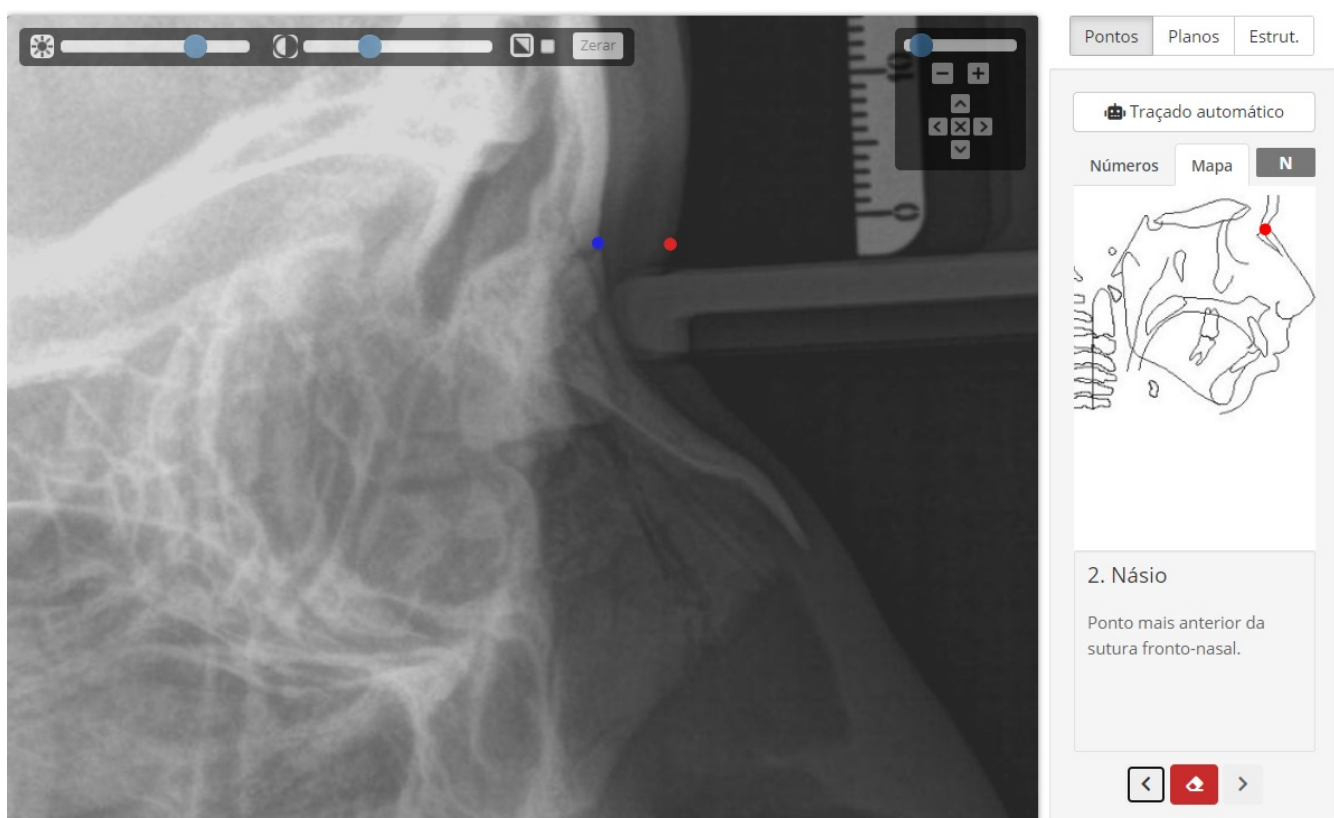
MARCANDO OS PONTOS:

- Para facilitar a visualização, neste guia ilustrativo os pontos indicados estão na cor azul, durante a marcação no sistema, o ponto estará na cor vermelha.

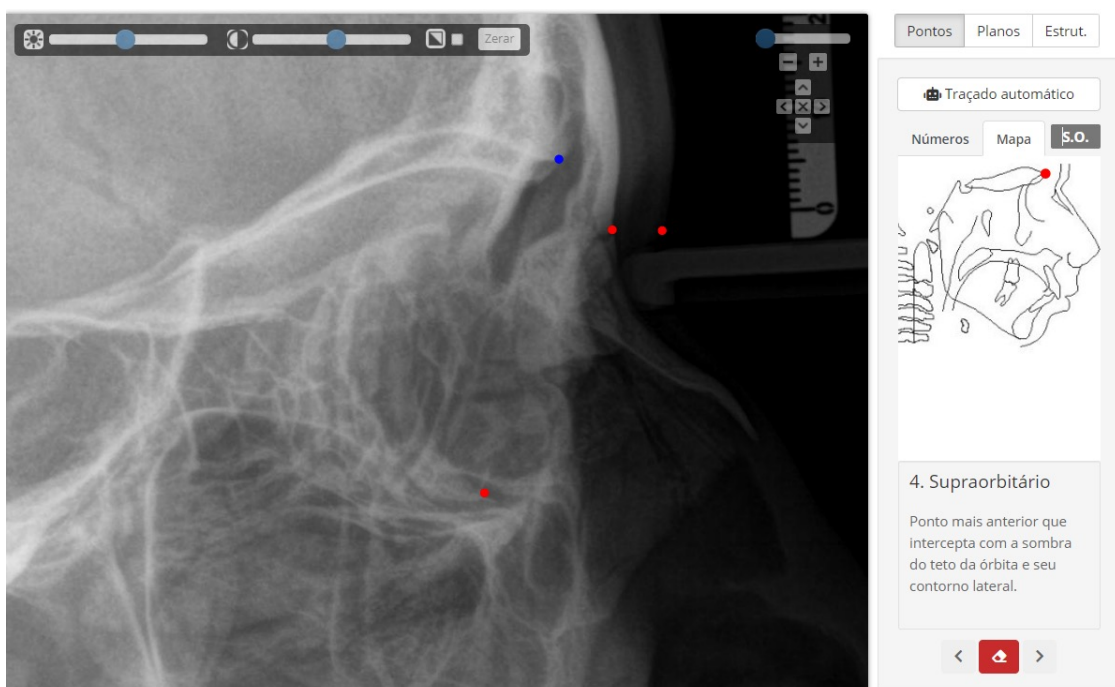


1 PASSO A PASSO

MARCANDO OS PONTOS:

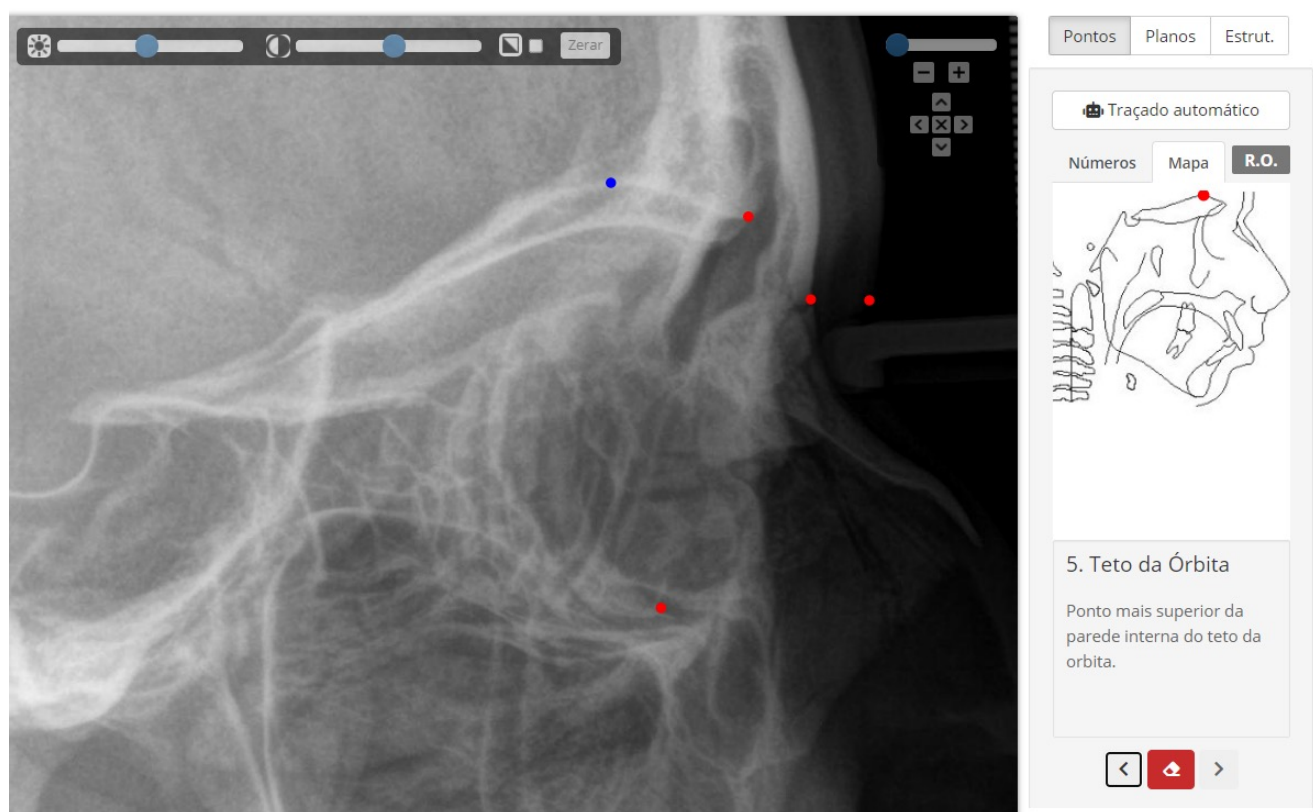


MARCANDO OS PONTOS:



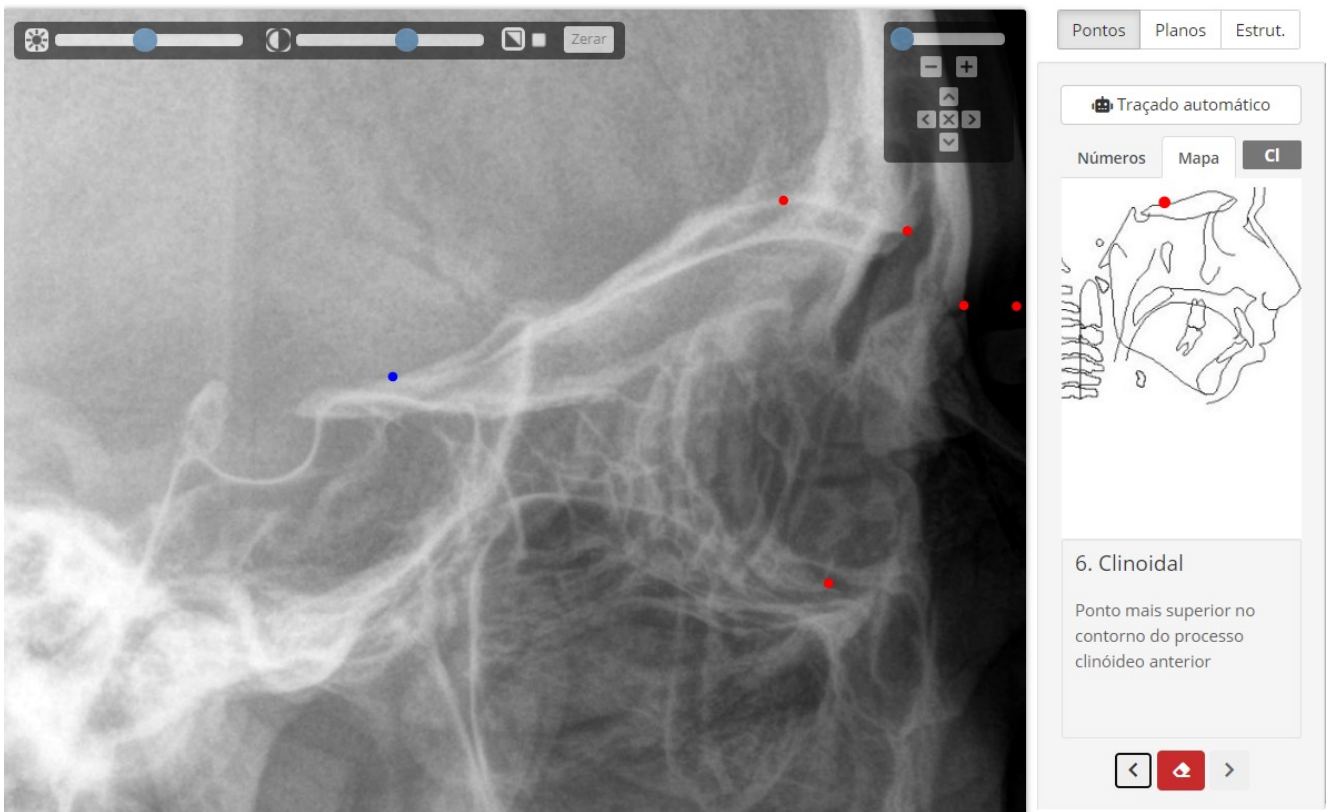
1 PASSO A PASSO

MARCANDO OS PONTOS:



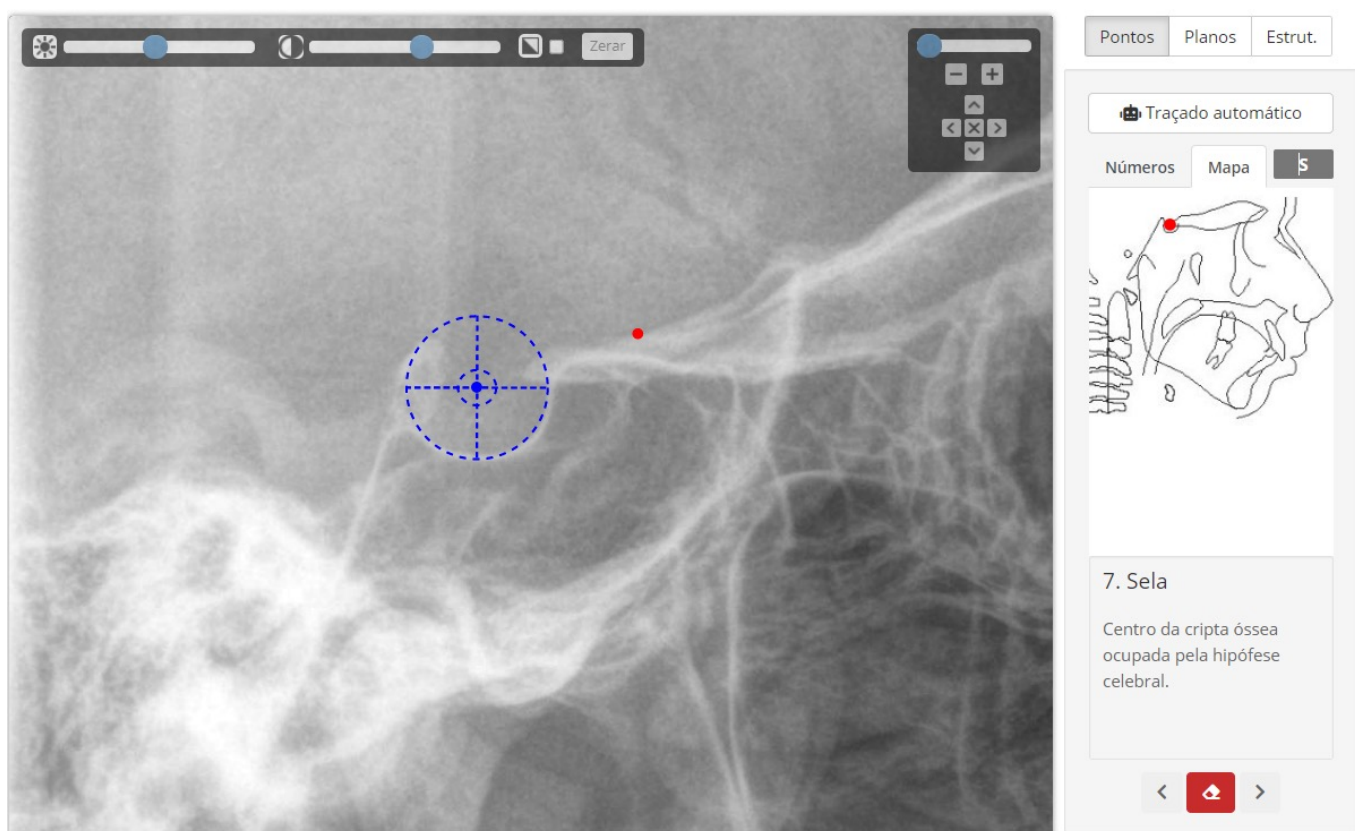
1 PASSO A PASSO

MARCANDO OS PONTOS:

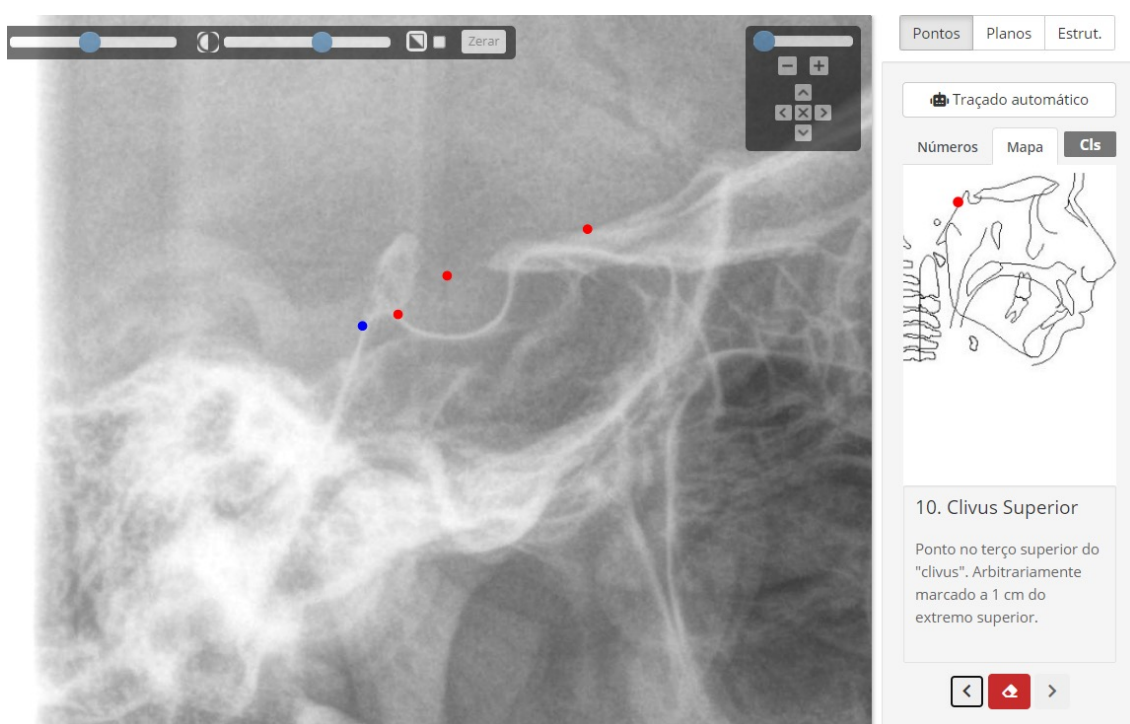
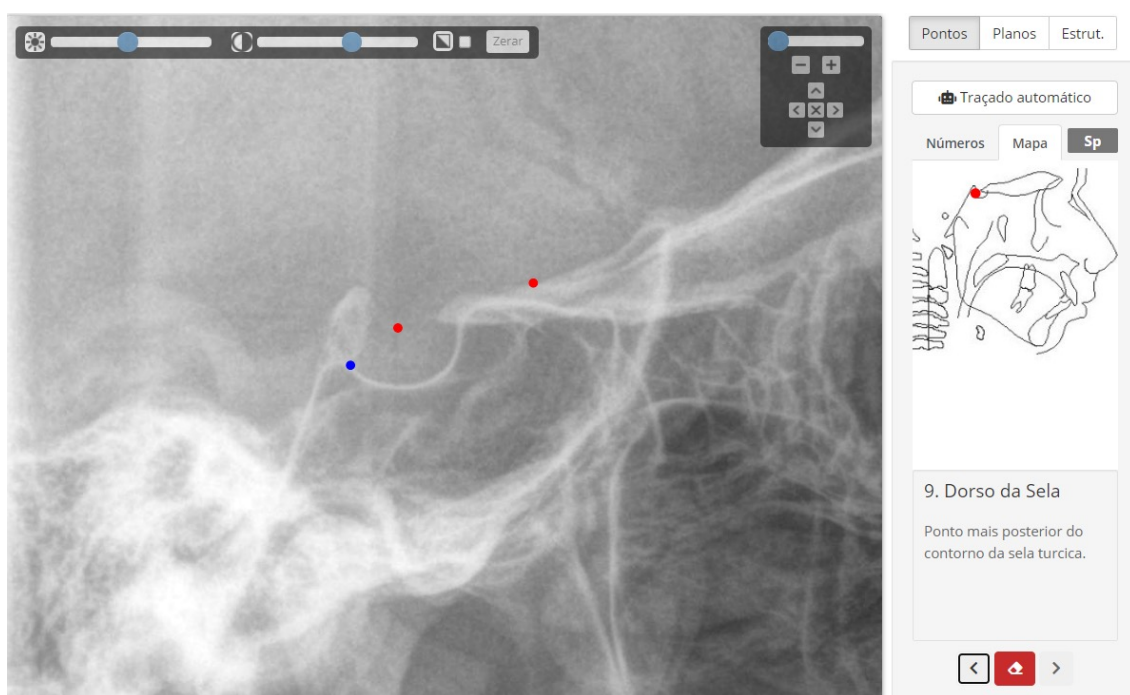


MARCANDO OS PONTOS:

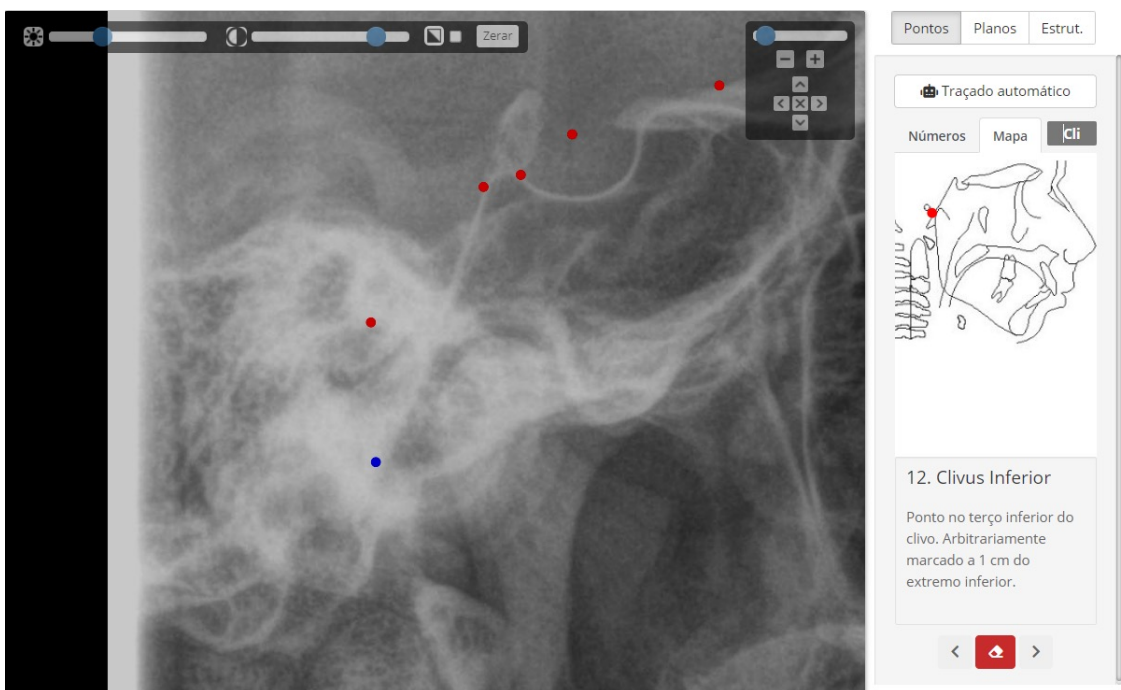
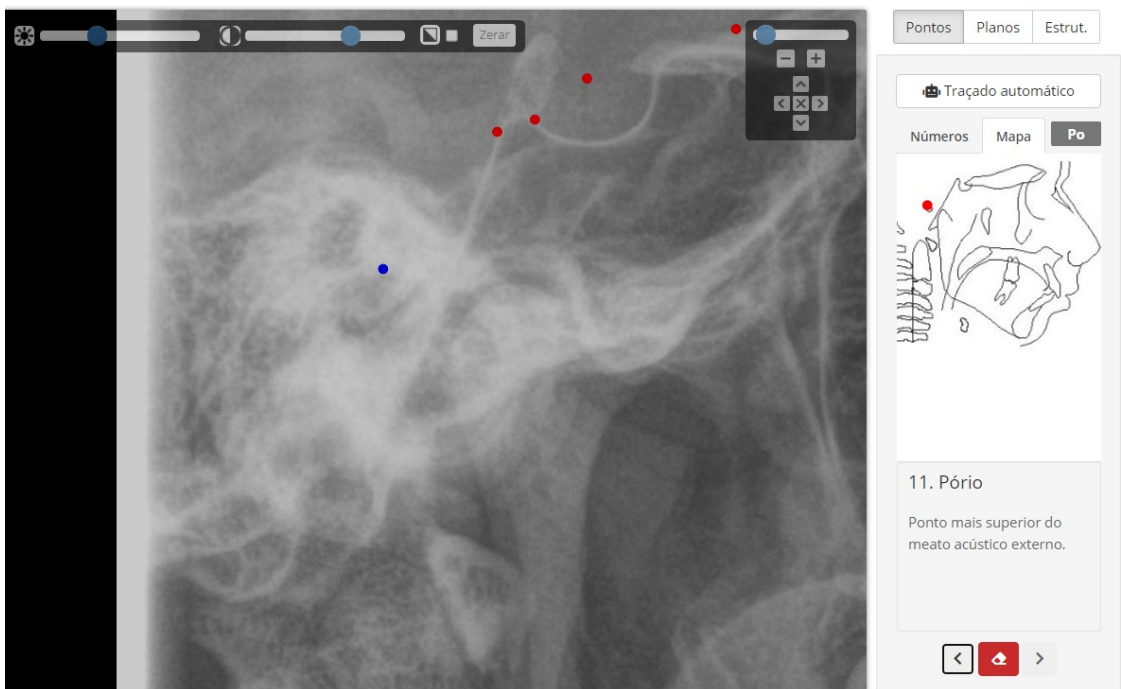
- Note que em alguns pontos, o sistema disponibiliza uma ferramenta para auxiliar na marcação. Posicione a ferramenta utilizando o botão direito do mouse e marque o ponto.



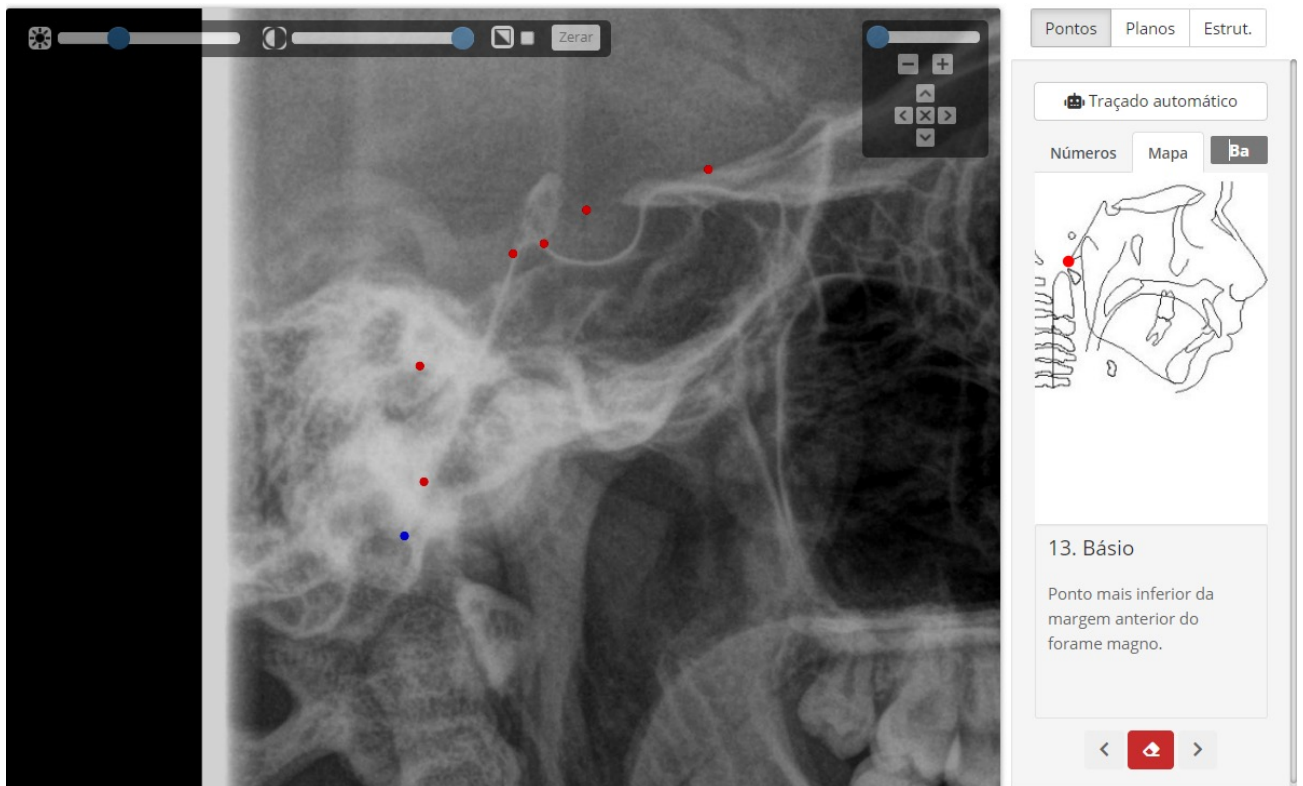
MARCANDO OS PONTOS:



MARCANDO OS PONTOS:

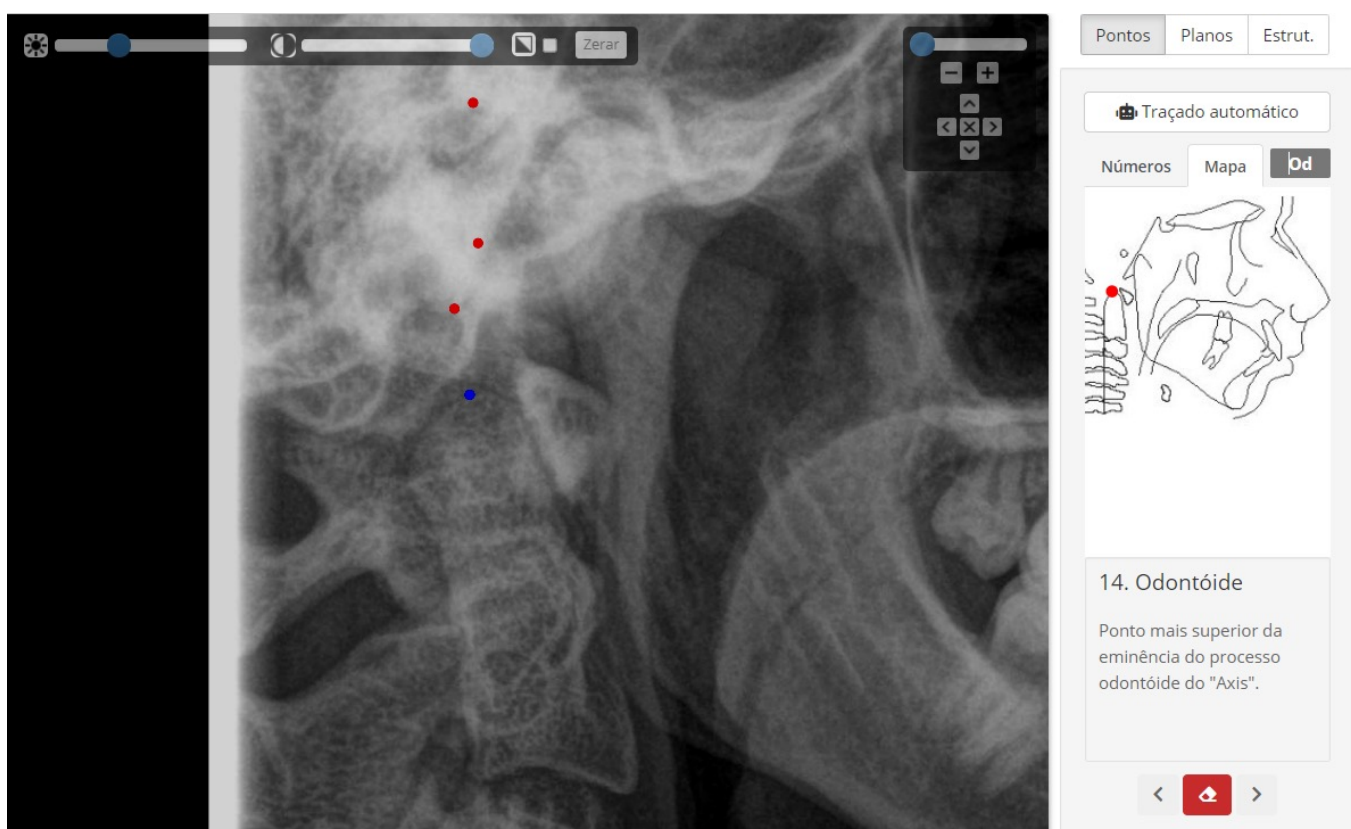


MARCANDO OS PONTOS:



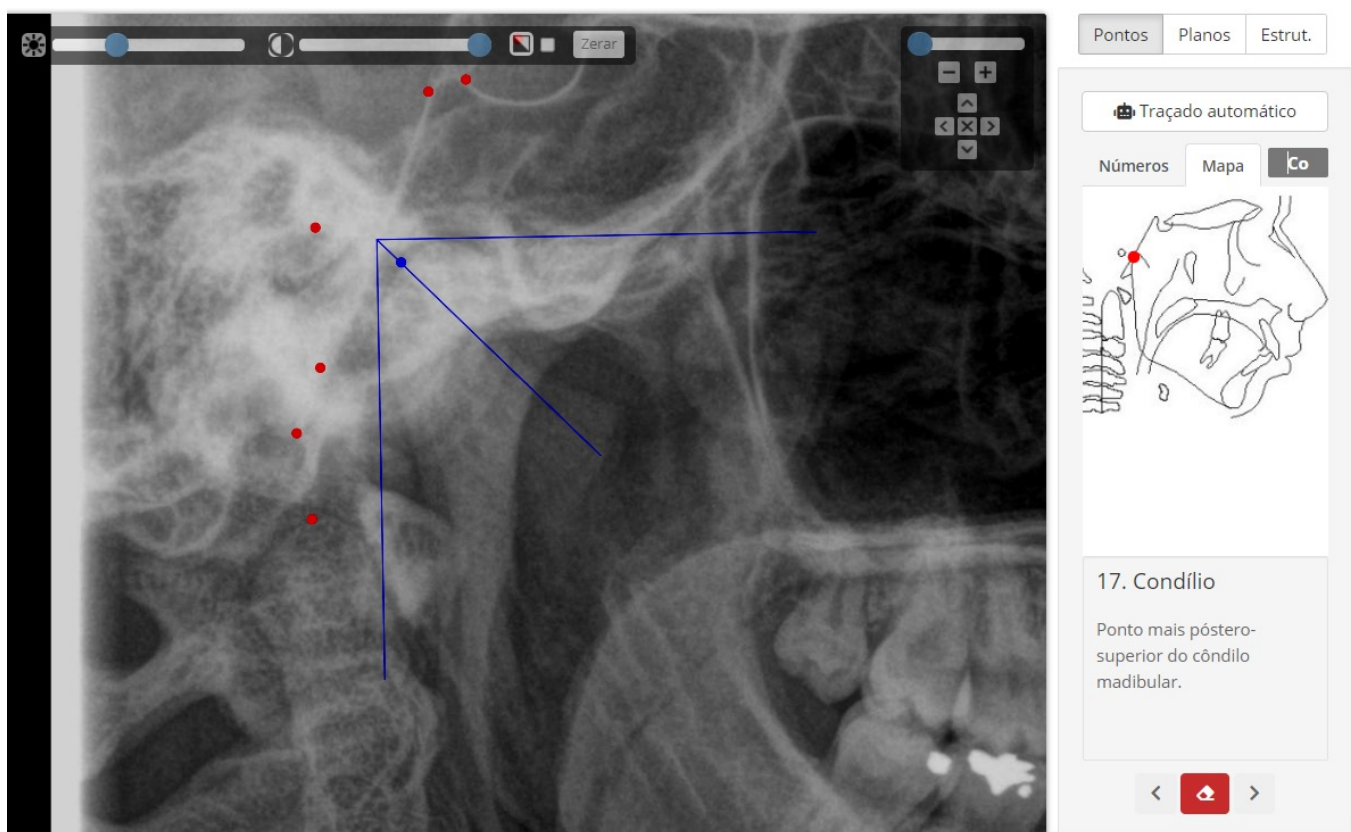
1 PASSO A PASSO

MARCANDO OS PONTOS:

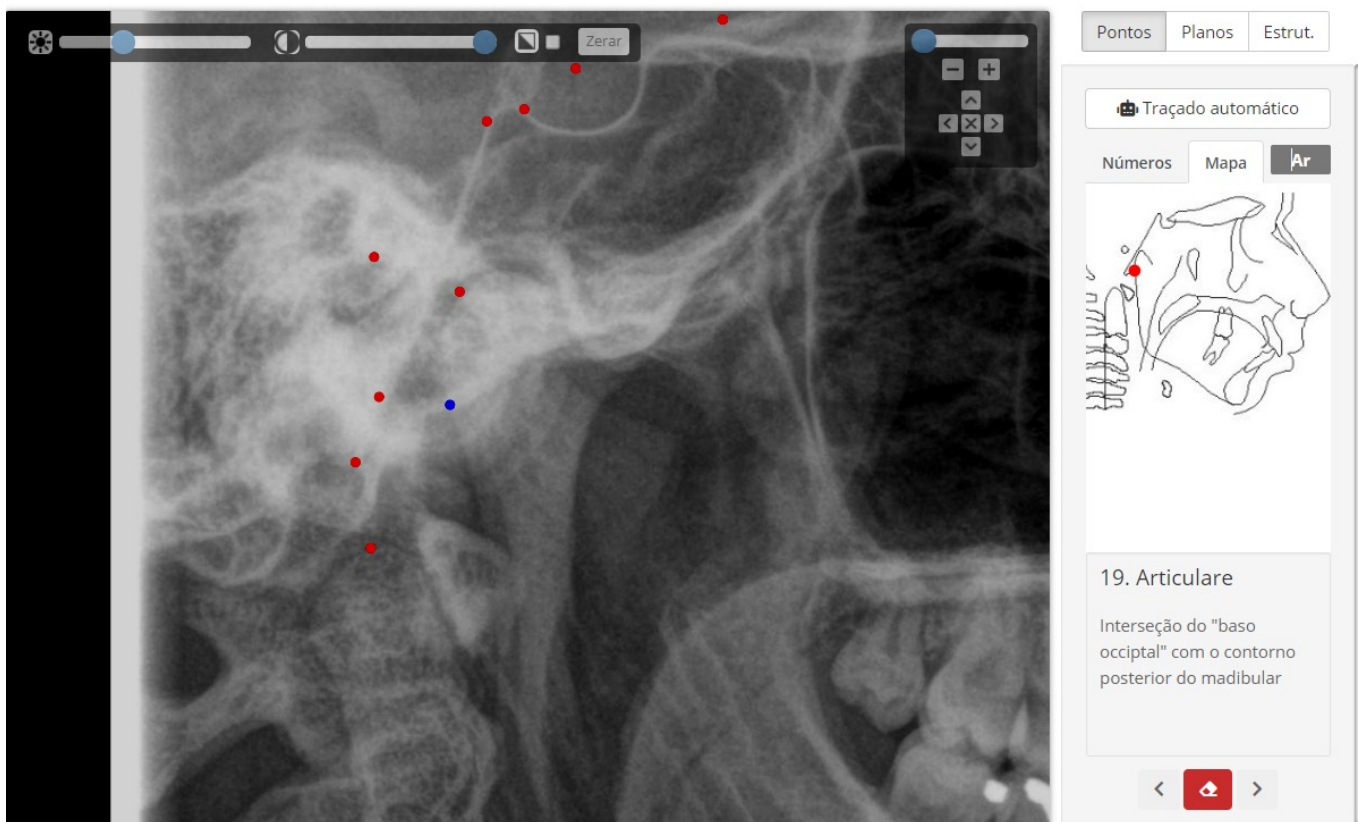


1 PASSO A PASSO

MARCANDO OS PONTOS:

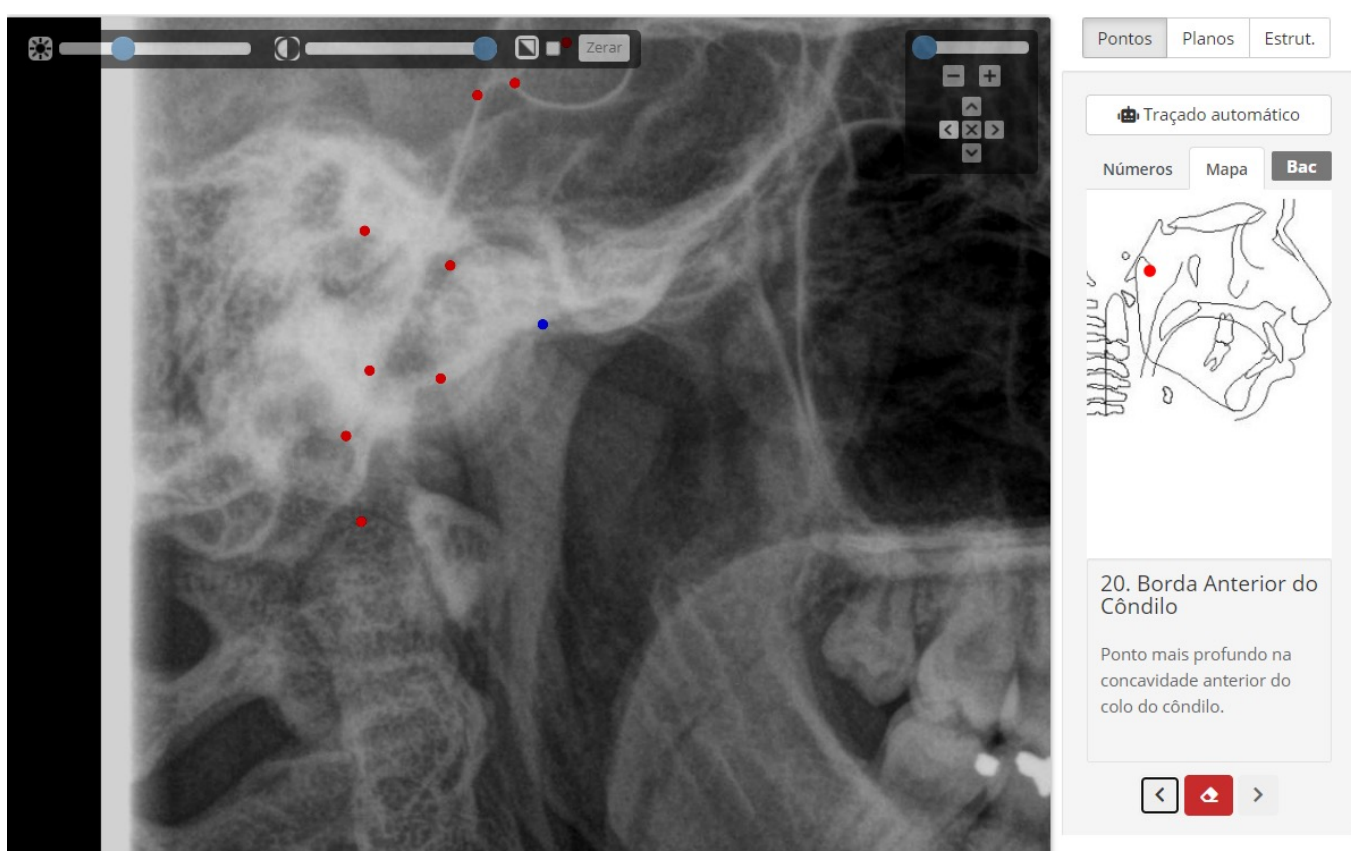


MARCANDO OS PONTOS:



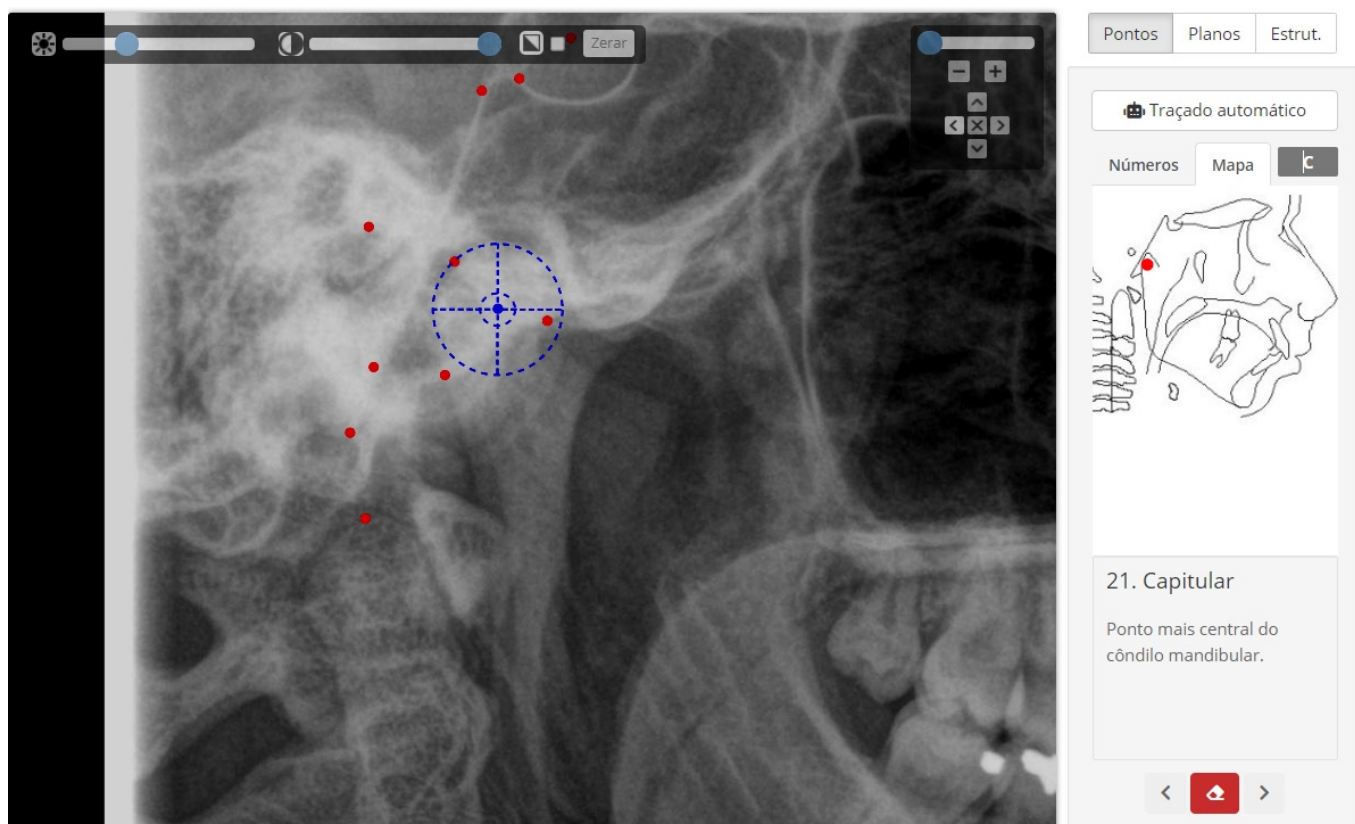
1 PASSO A PASSO

MARCANDO OS PONTOS:

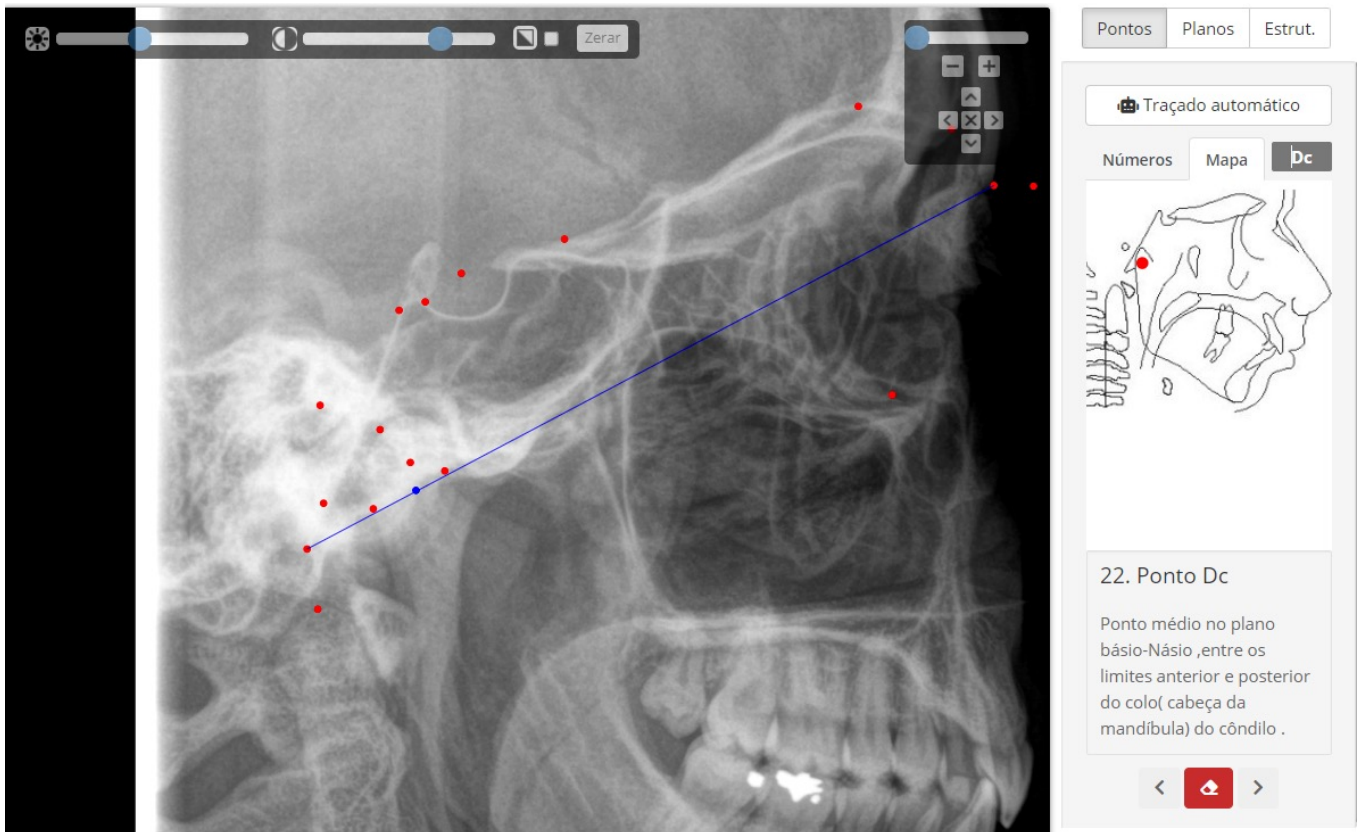


1 PASSO A PASSO

MARCANDO OS PONTOS:

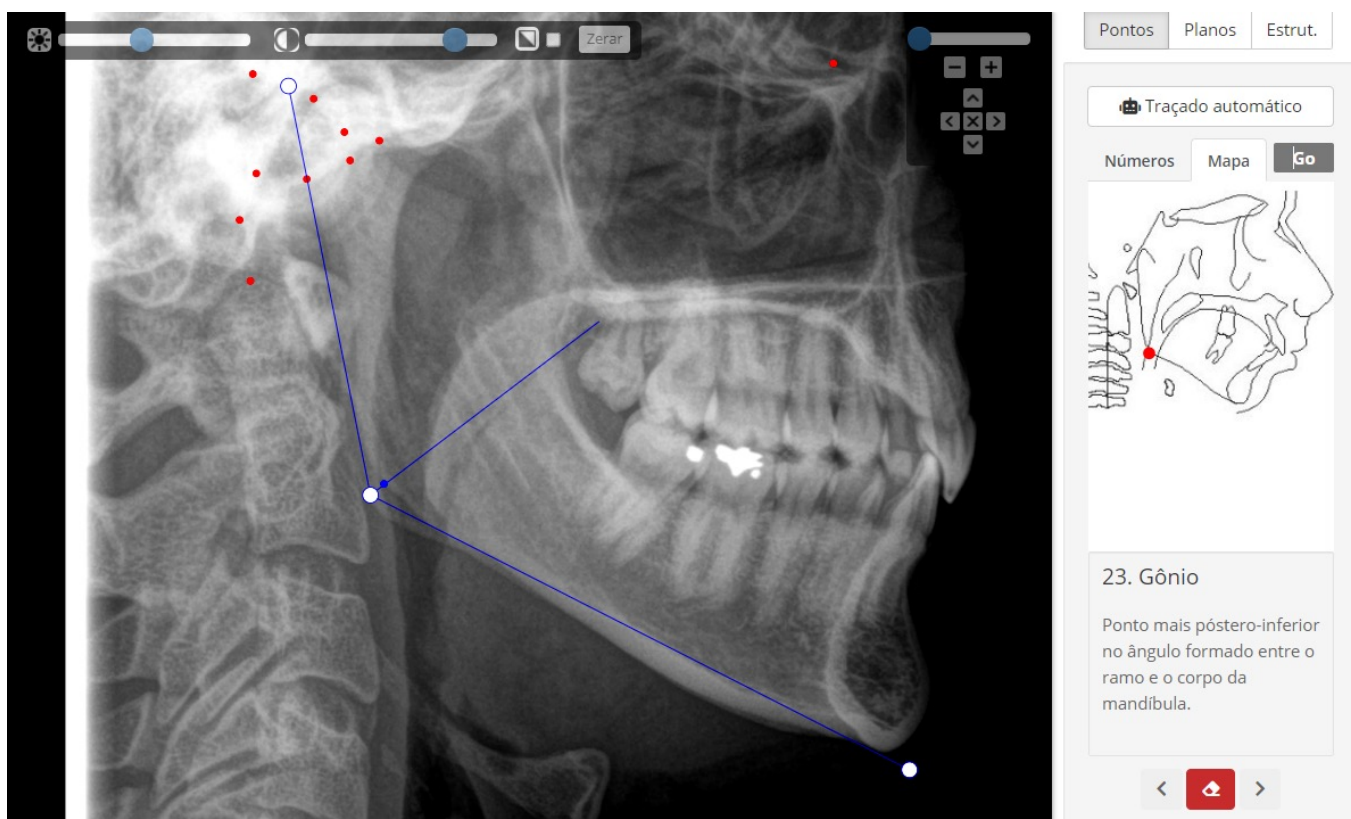


MARCANDO OS PONTOS:



1 PASSO A PASSO

MARCANDO OS PONTOS:



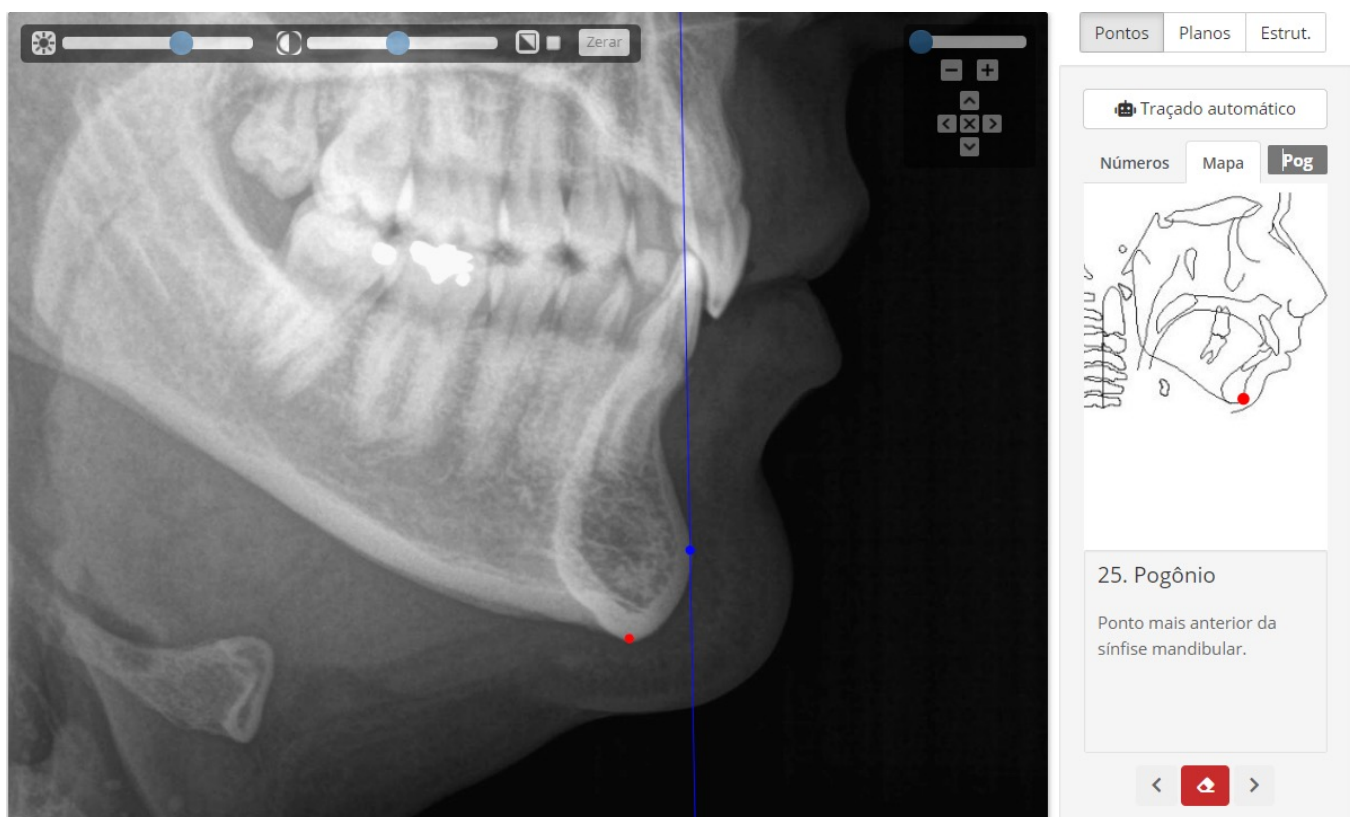
1 PASSO A PASSO

MARCANDO OS PONTOS:



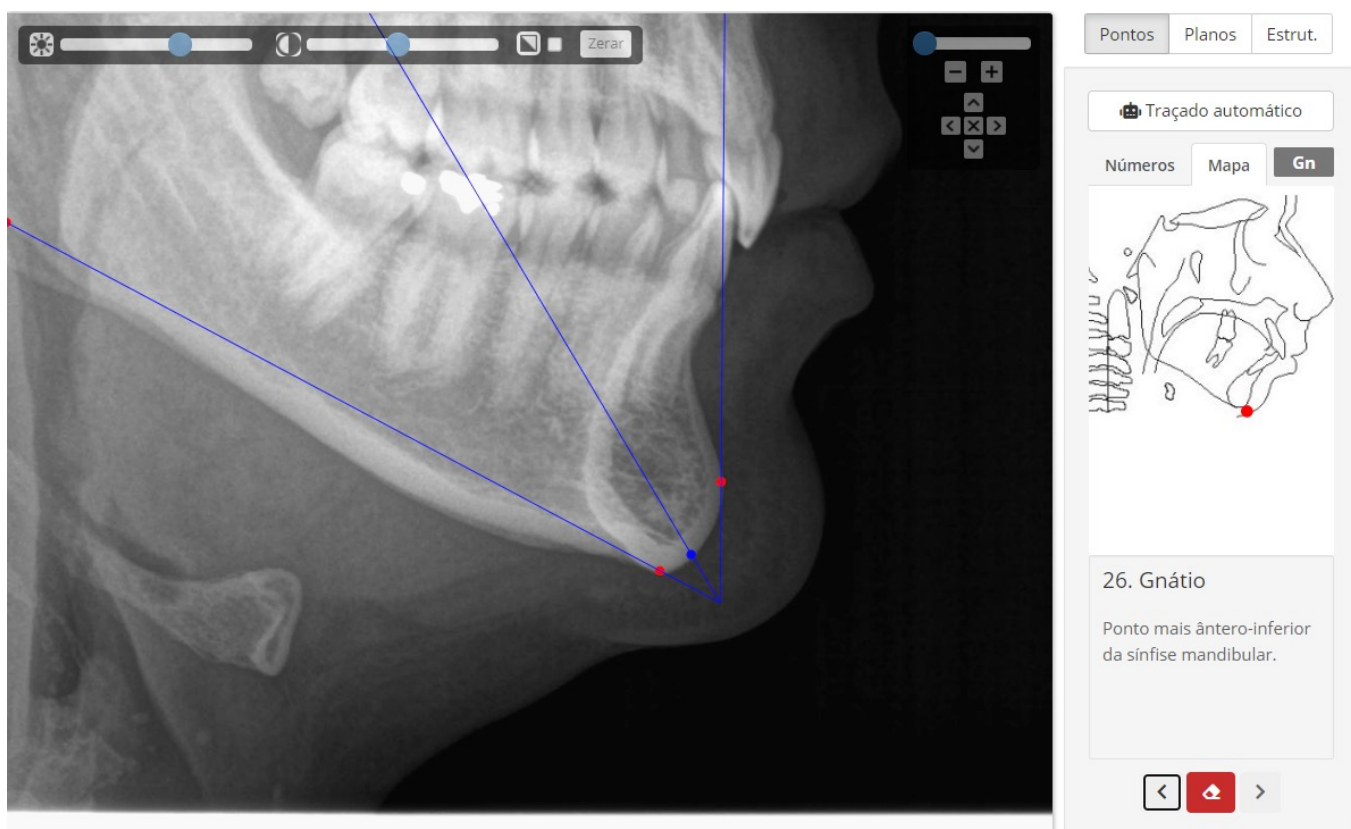
1 PASSO A PASSO

MARCANDO OS PONTOS:



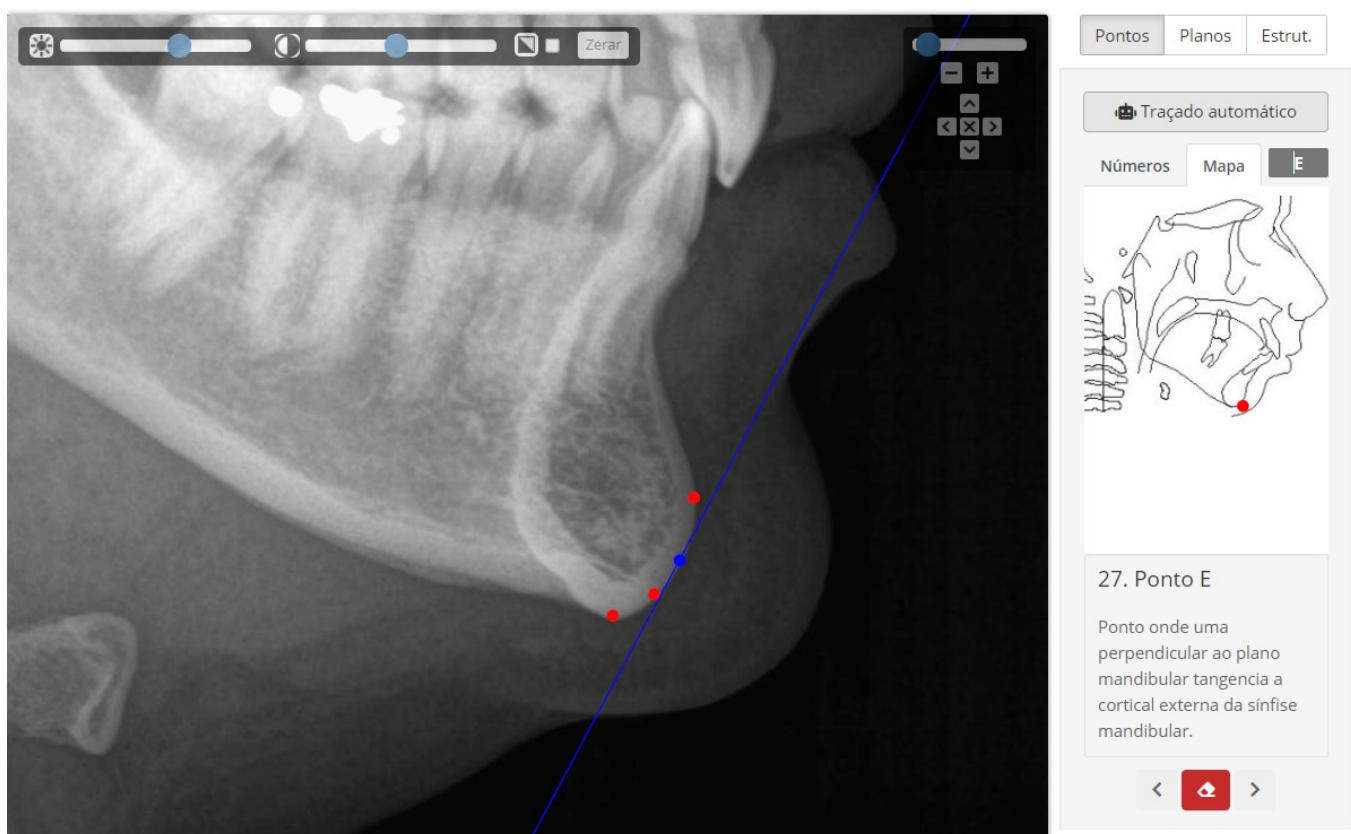
1 PASSO A PASSO

MARCANDO OS PONTOS:



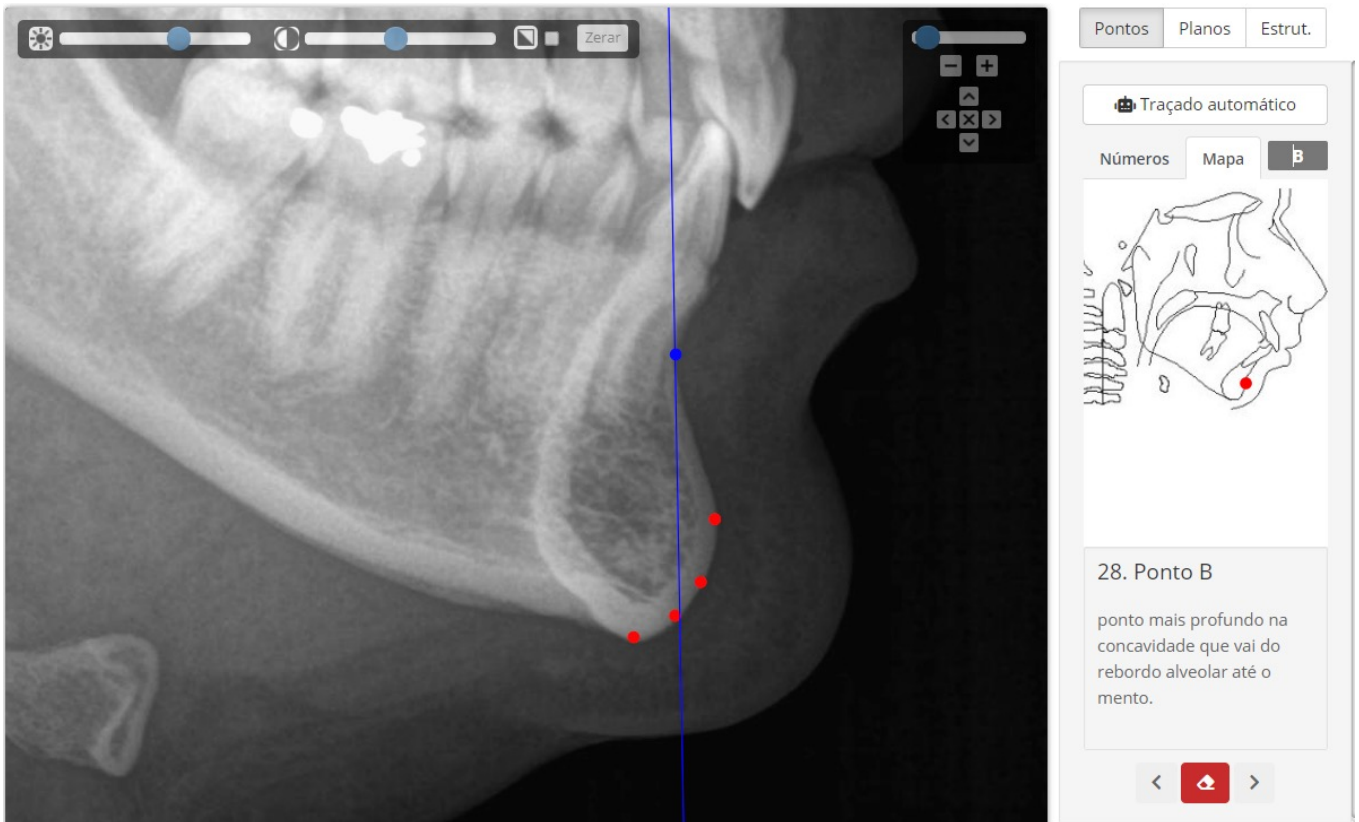
1 PASSO A PASSO

MARCANDO OS PONTOS:



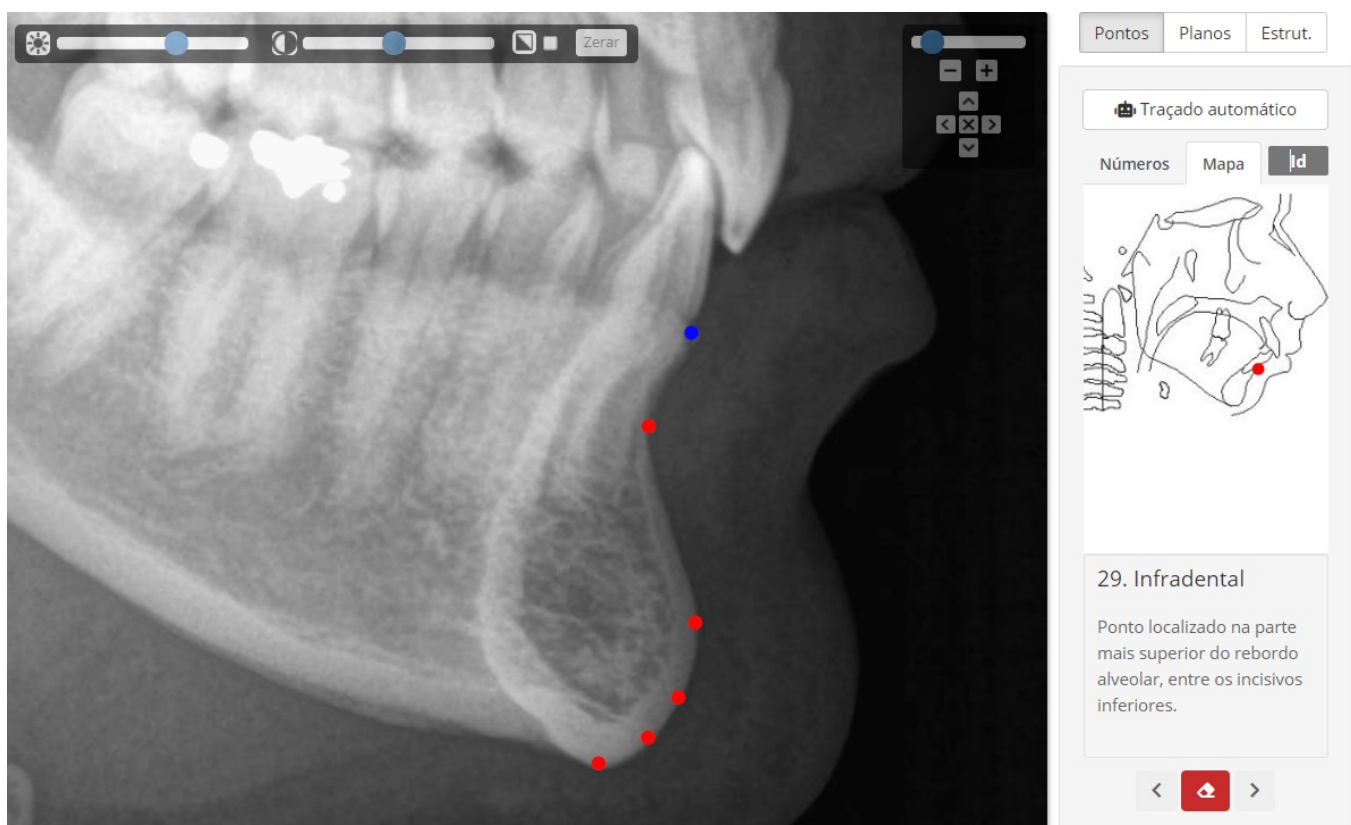
1 PASSO A PASSO

MARCANDO OS PONTOS:



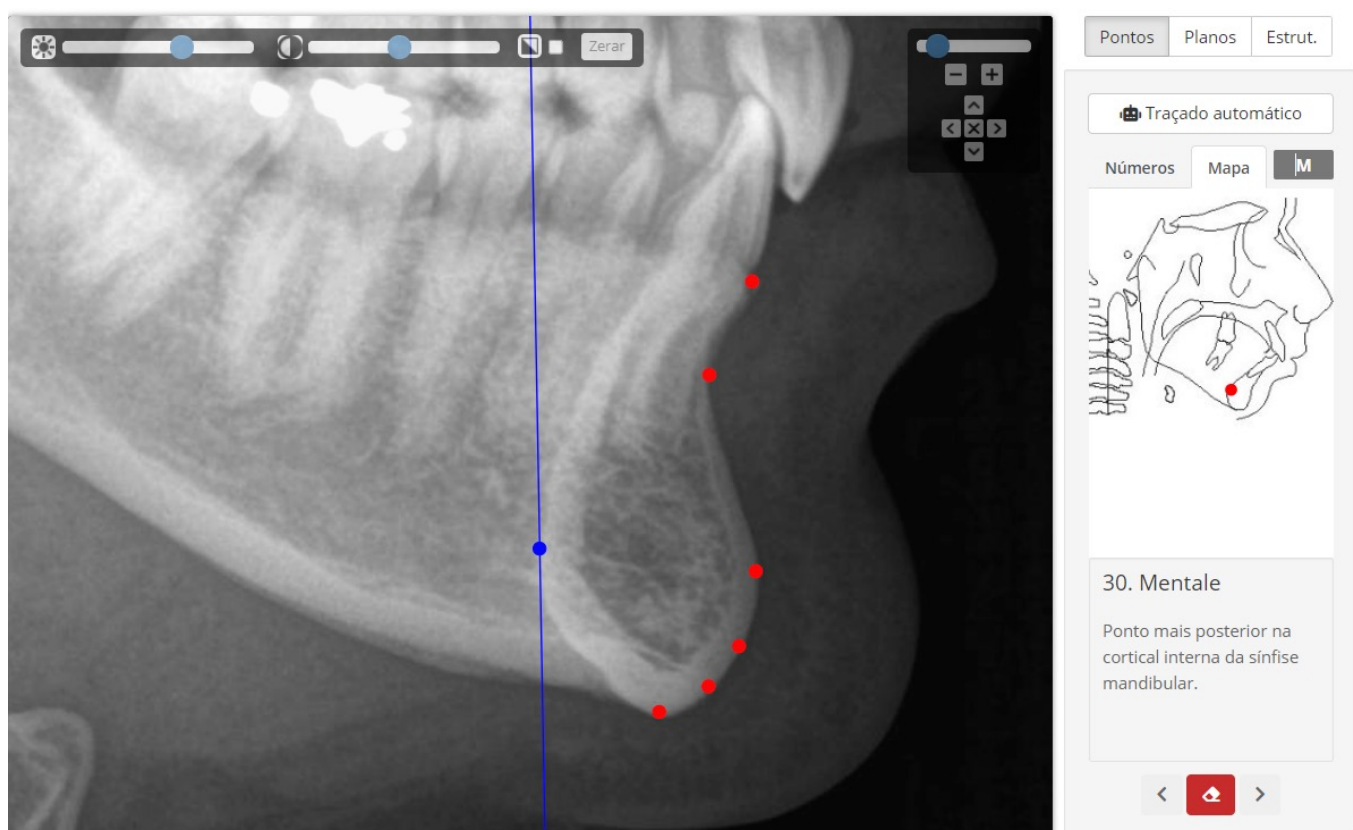
1 PASSO A PASSO

MARCANDO OS PONTOS:



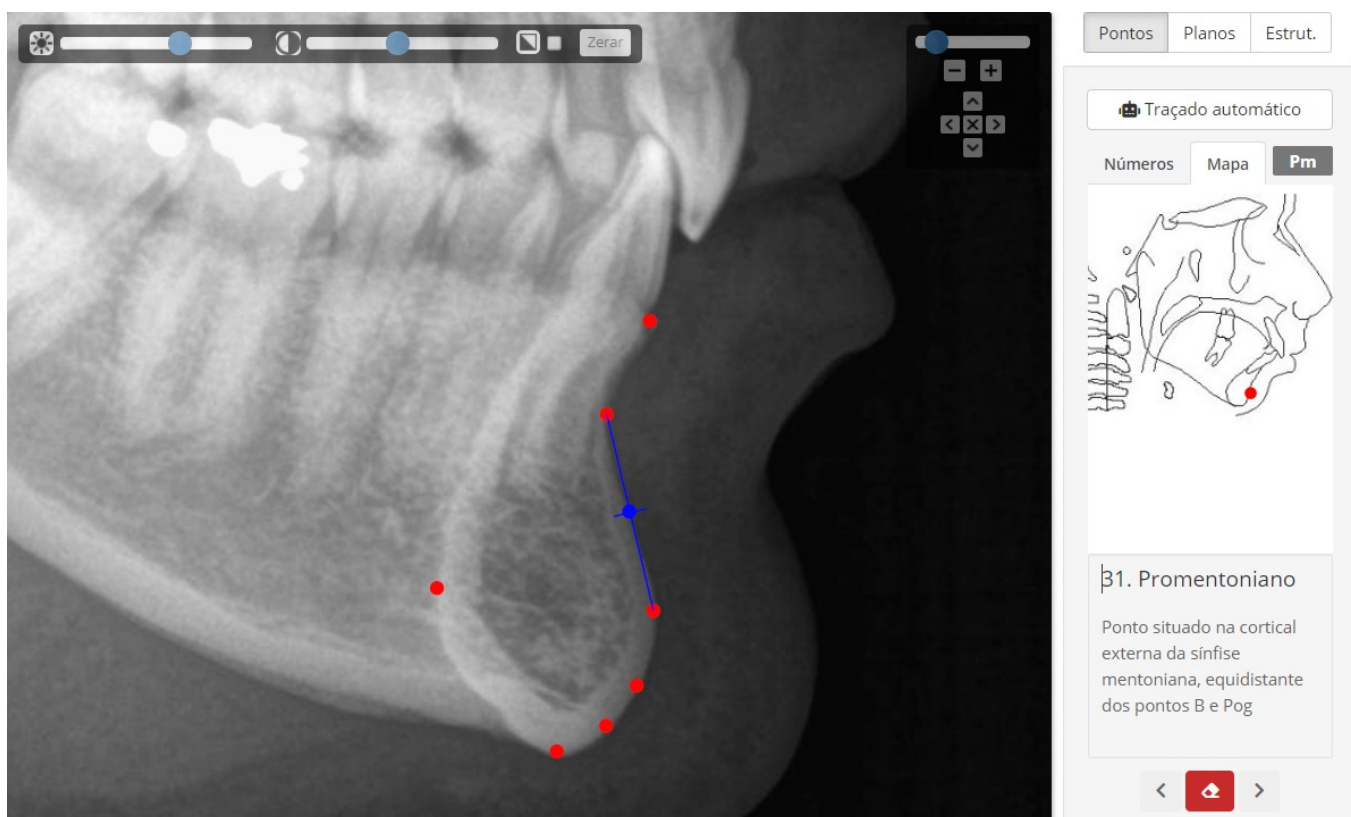
1 PASSO A PASSO

MARCANDO OS PONTOS:



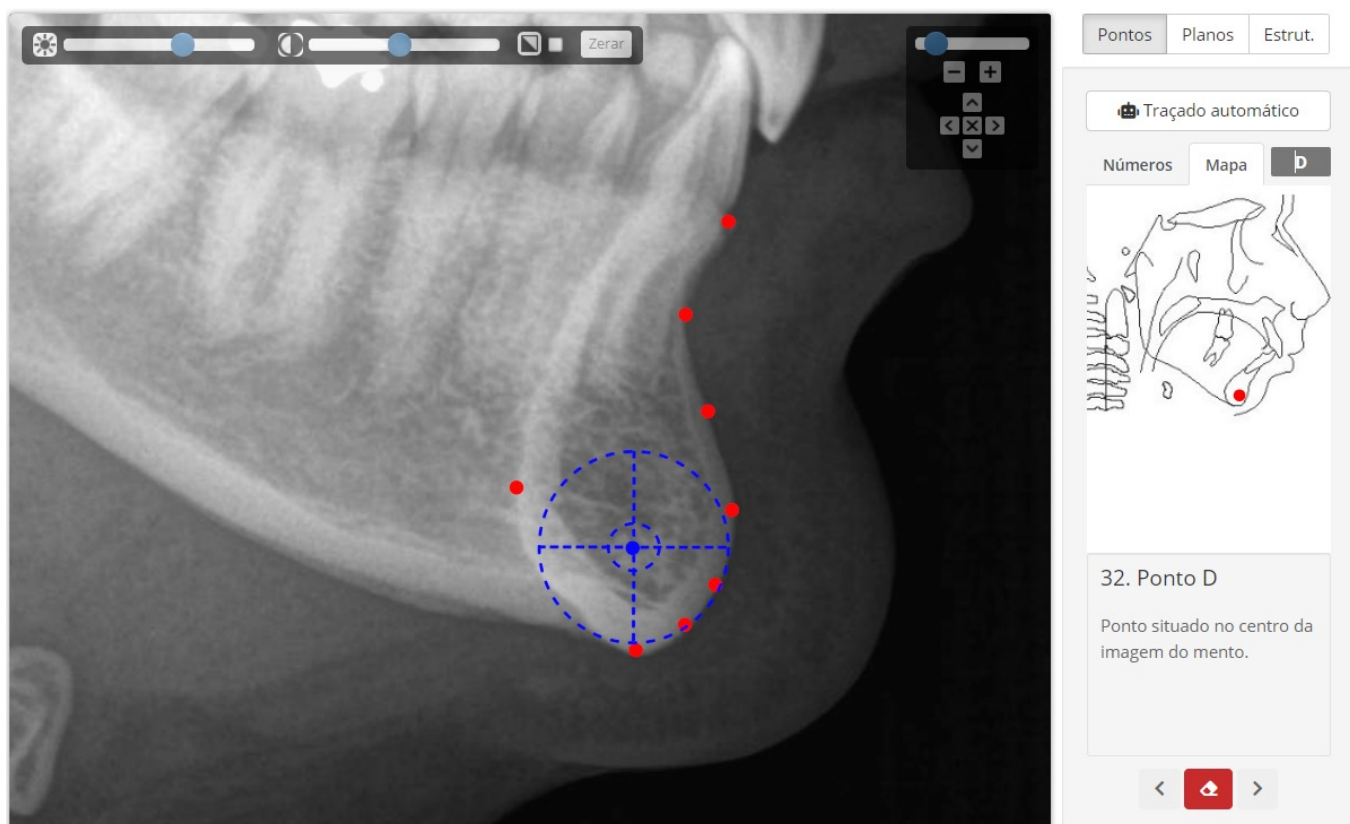
1 PASSO A PASSO

MARCANDO OS PONTOS:



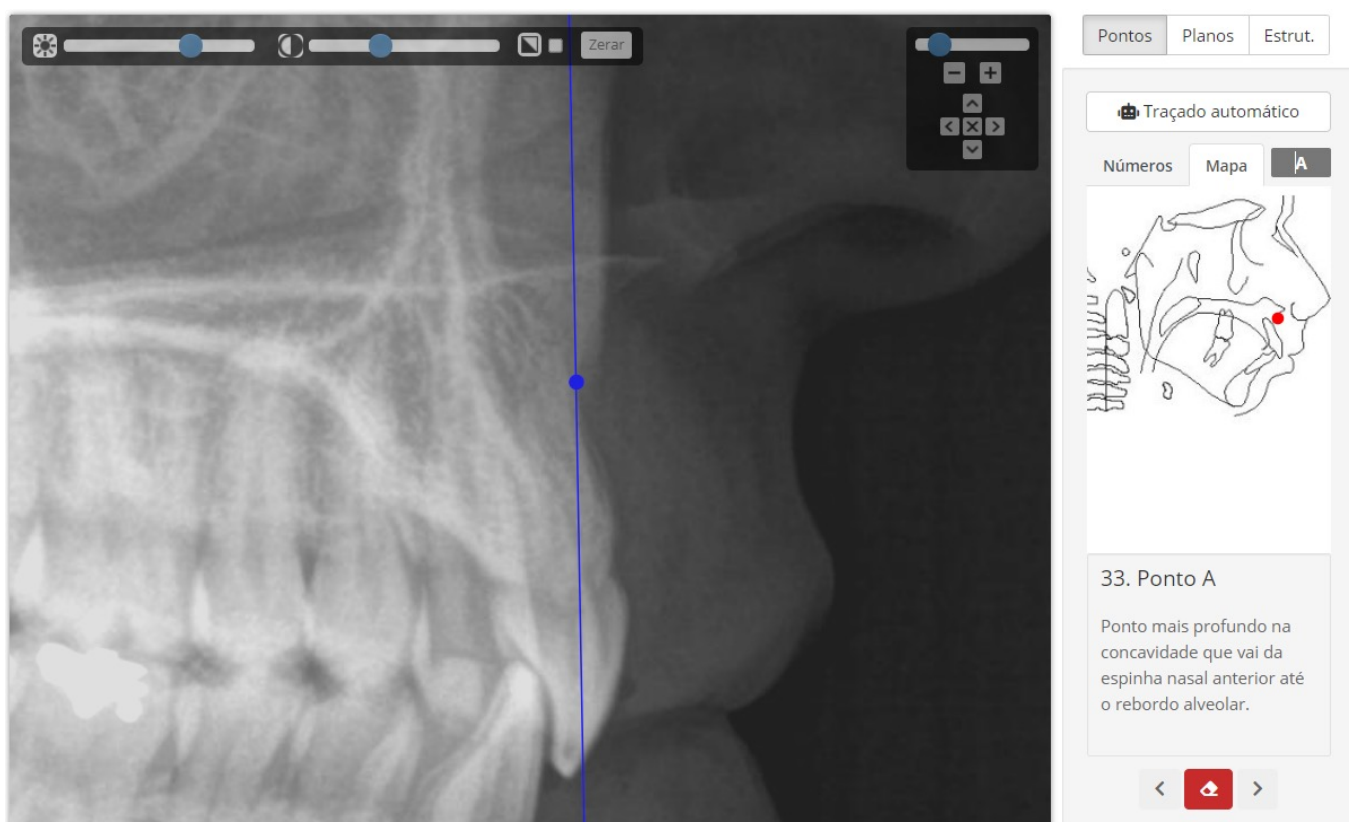
1 PASSO A PASSO

MARCANDO OS PONTOS:



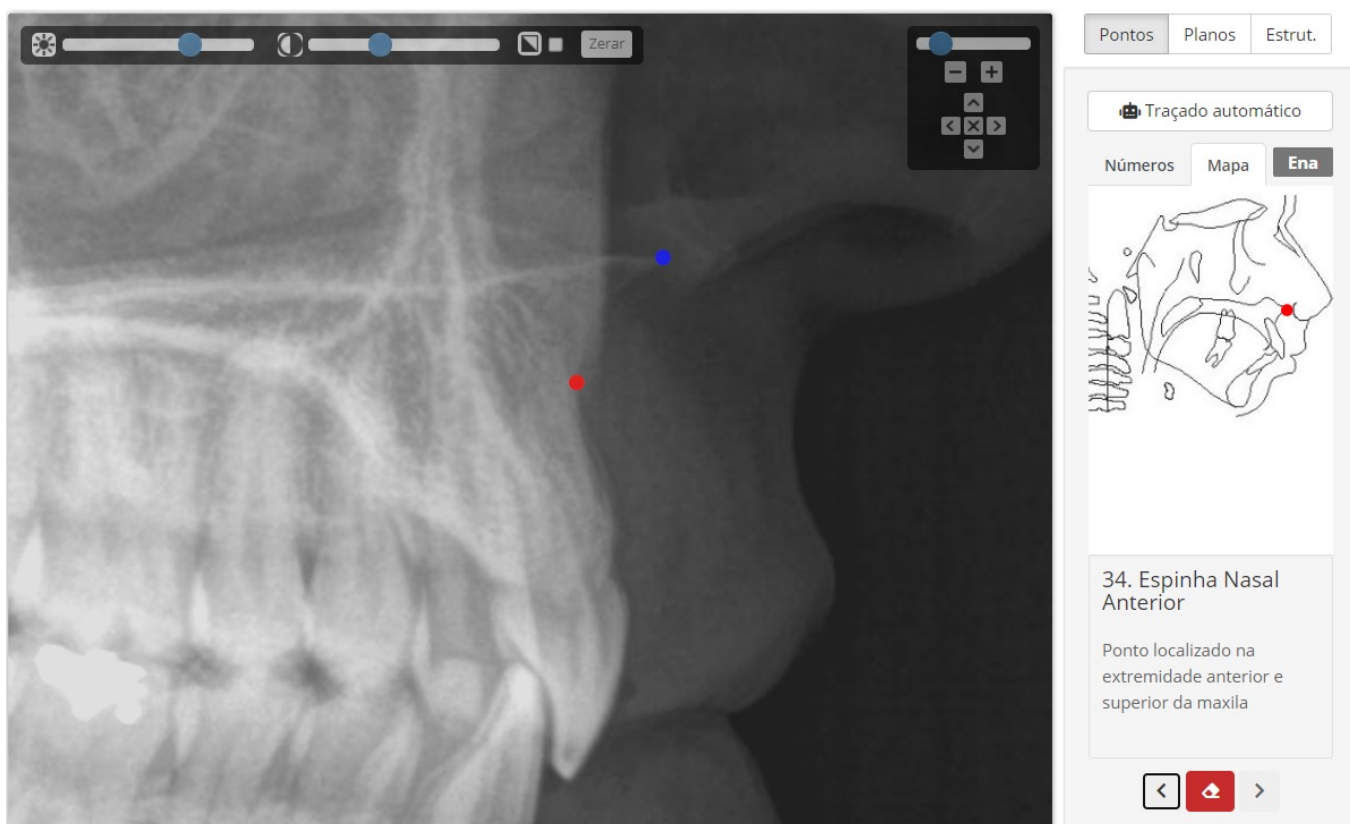
1 PASSO A PASSO

MARCANDO OS PONTOS:

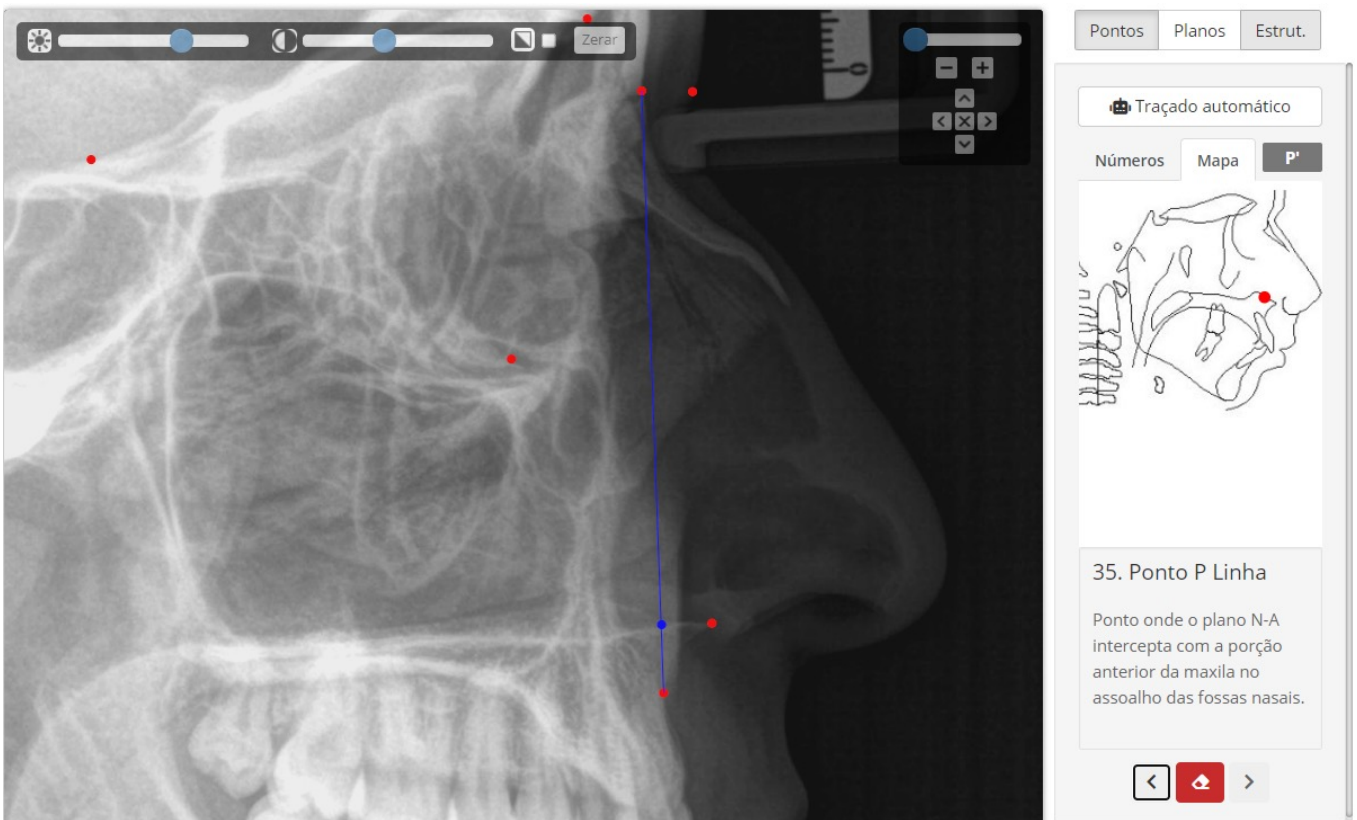


1 PASSO A PASSO

MARCANDO OS PONTOS:

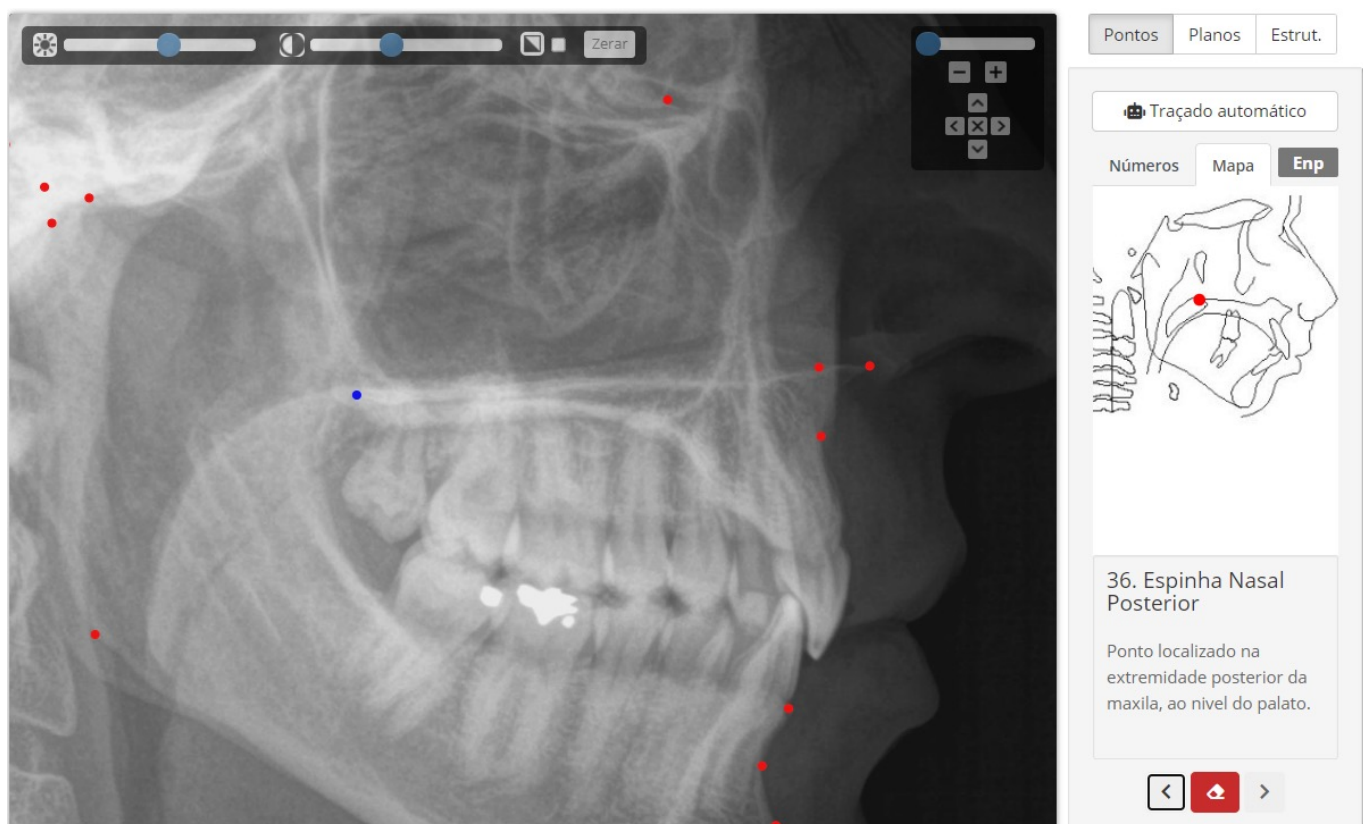


MARCANDO OS PONTOS:



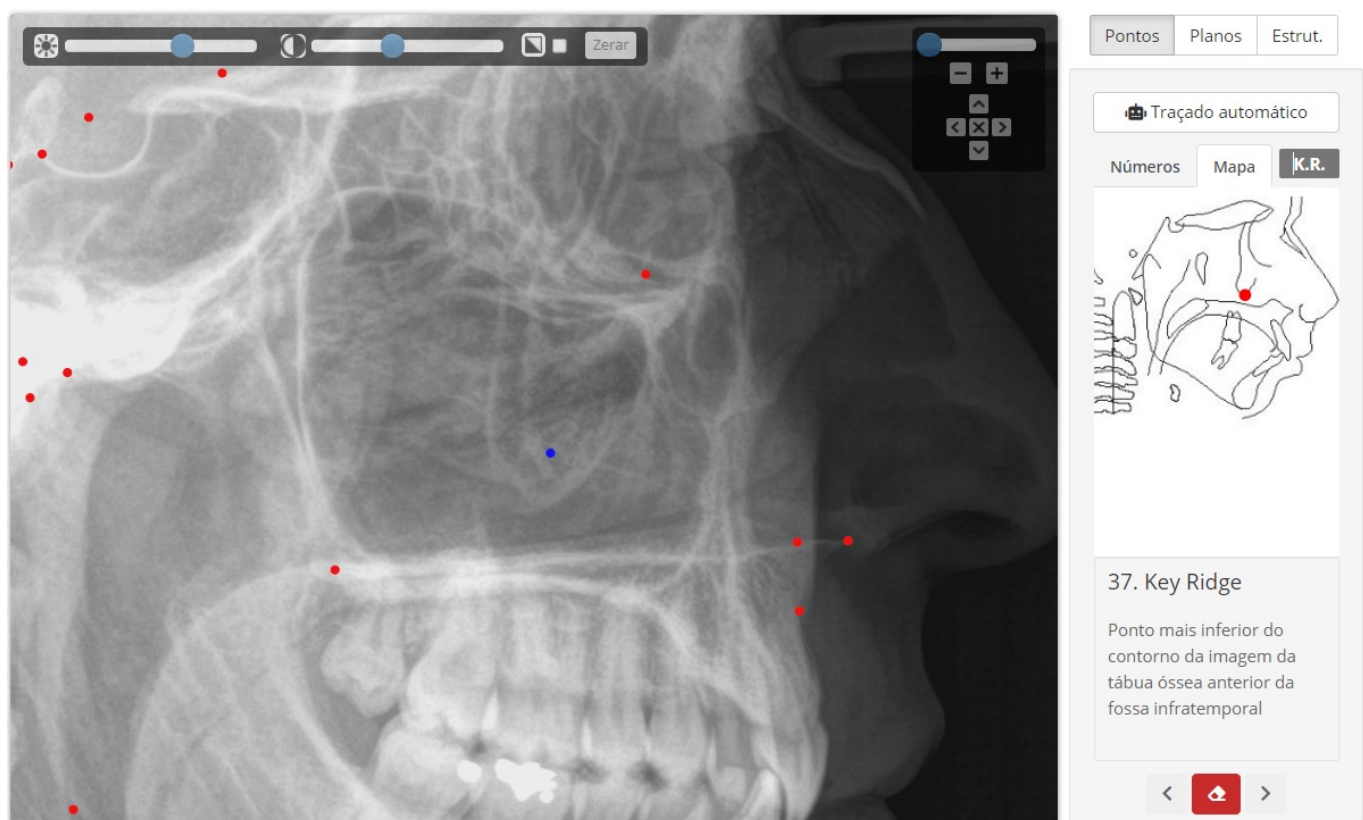
1 PASSO A PASSO

MARCANDO OS PONTOS:

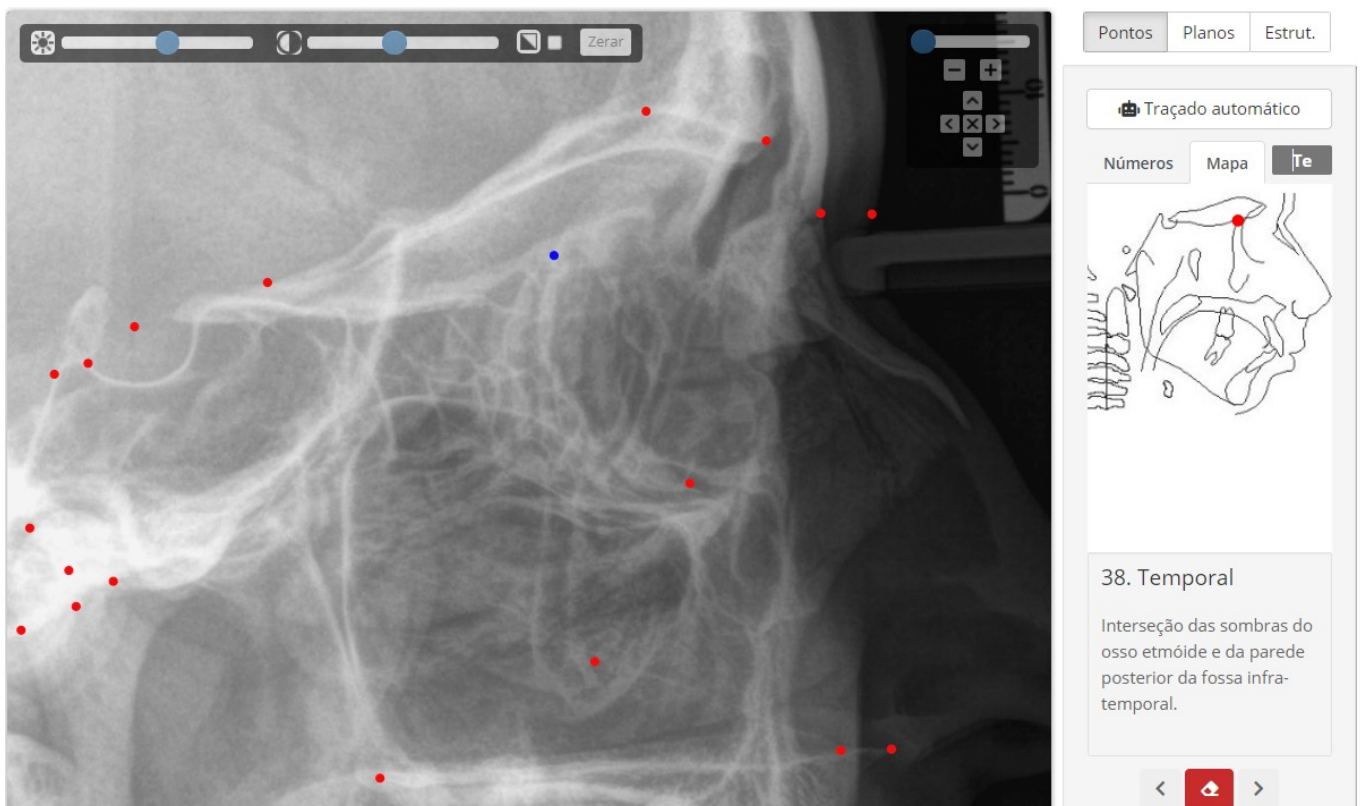


1 PASSO A PASSO

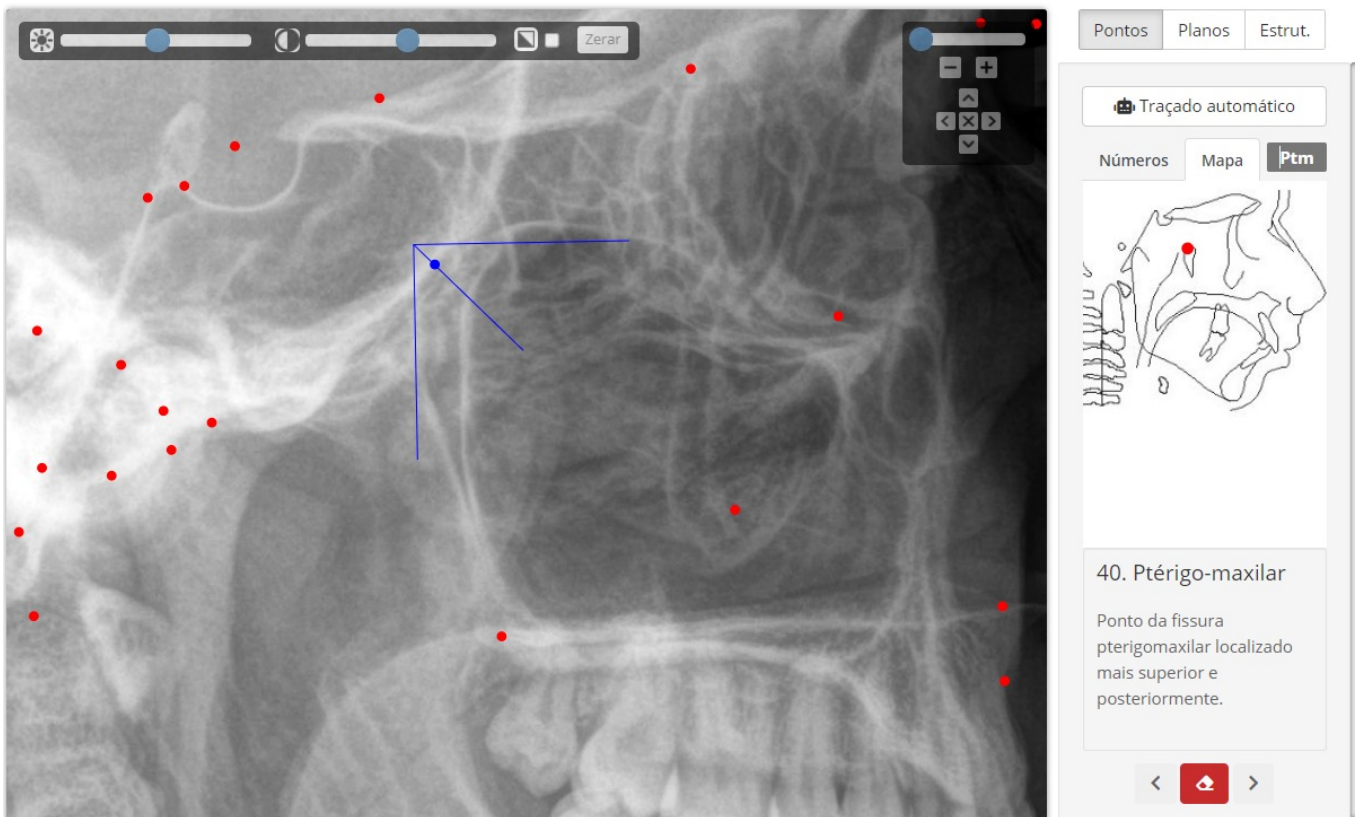
MARCANDO OS PONTOS:



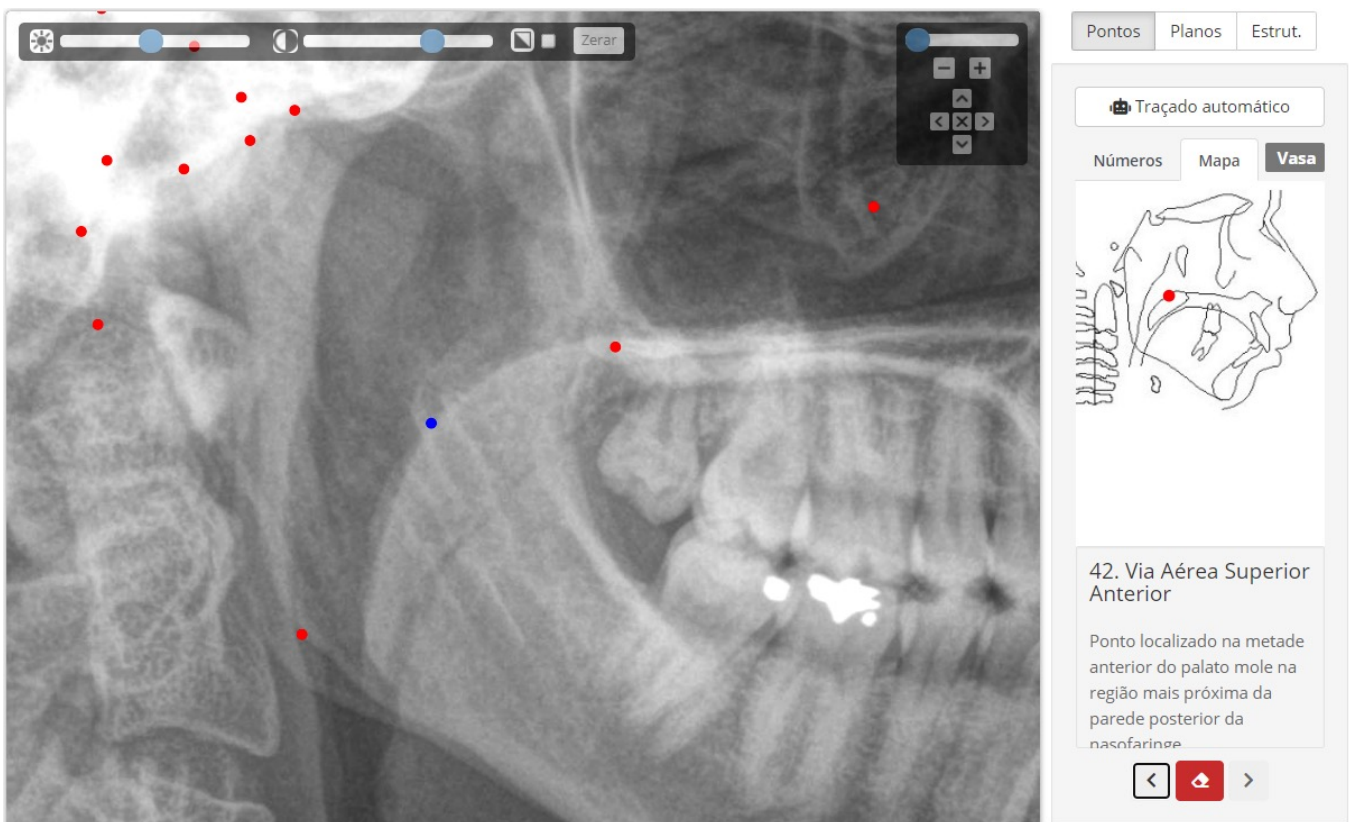
MARCANDO OS PONTOS:



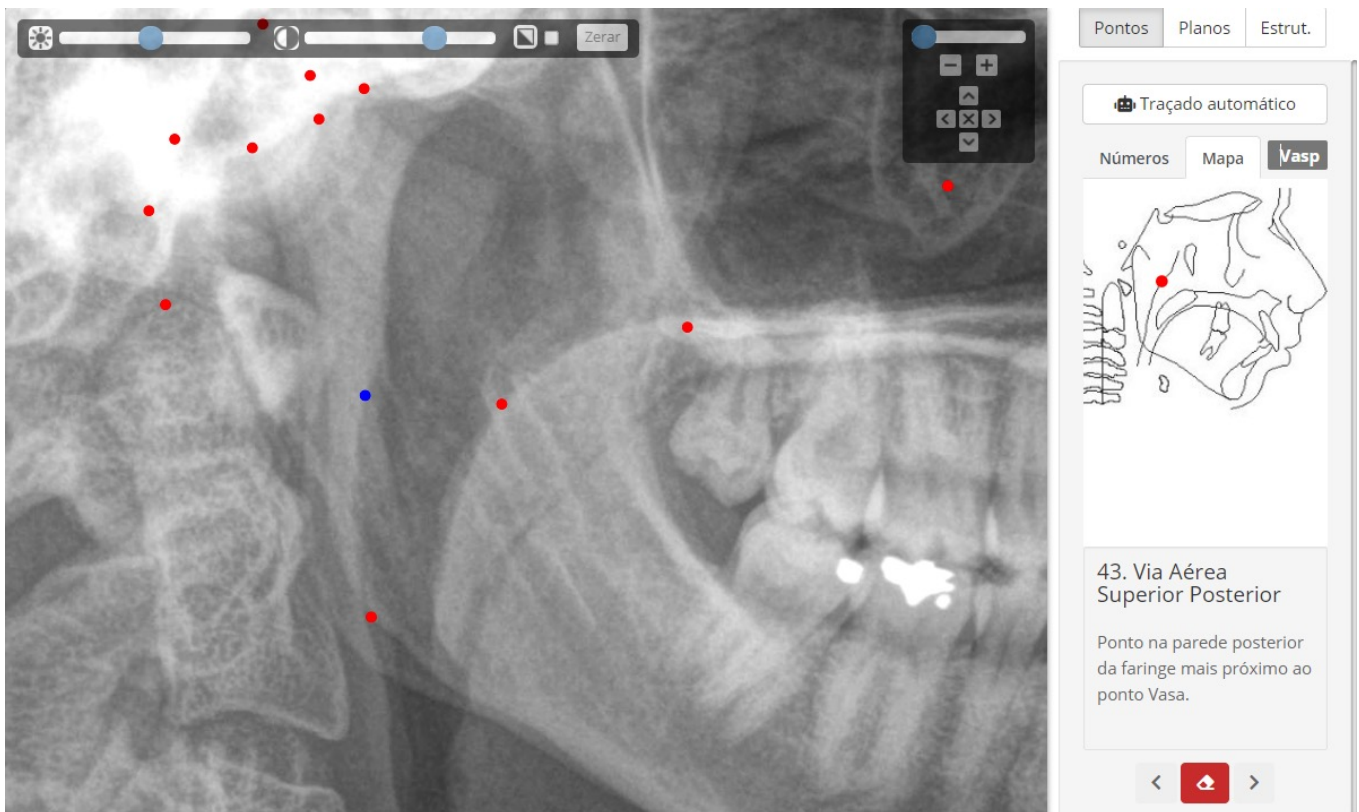
MARCANDO OS PONTOS:



MARCANDO OS PONTOS:

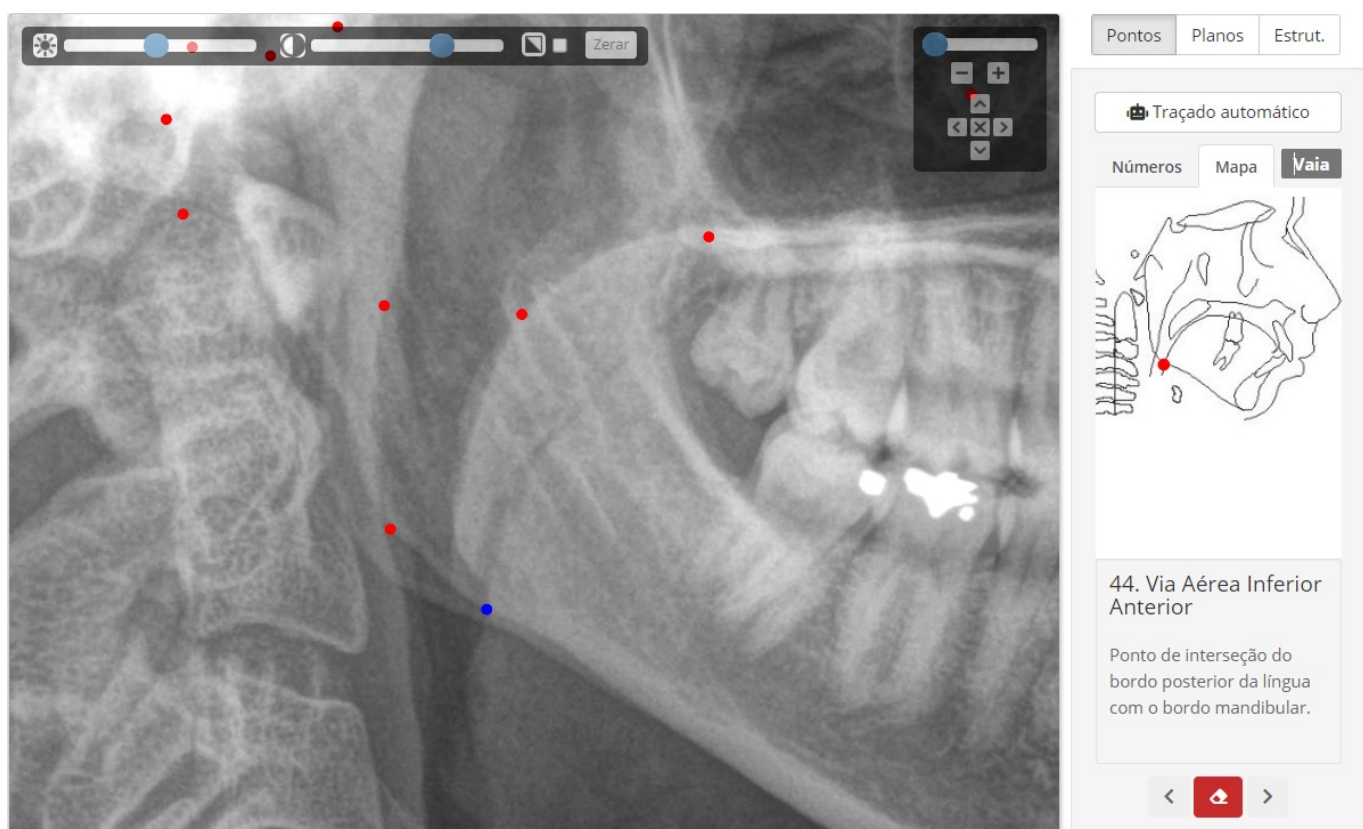


MARCANDO OS PONTOS:



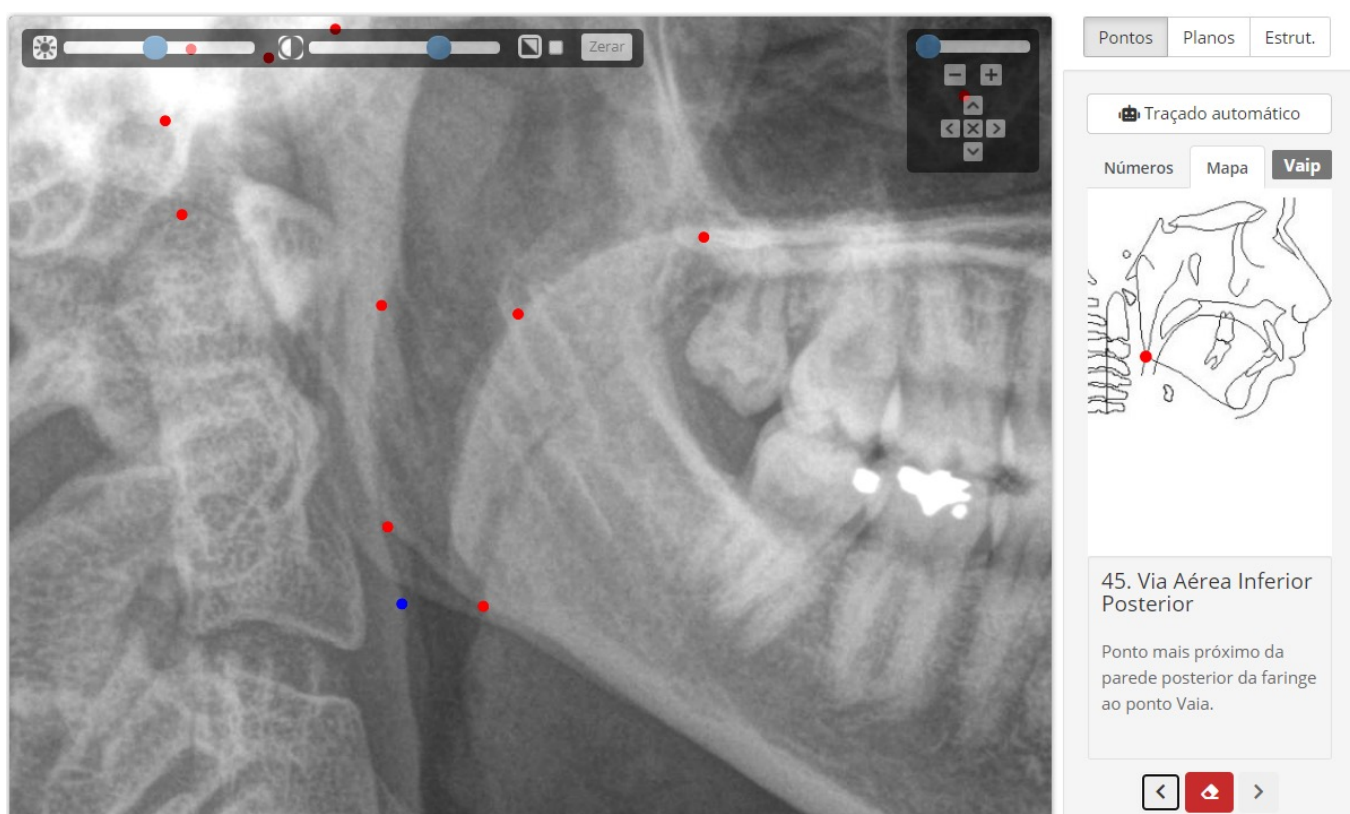
1 PASSO A PASSO

MARCANDO OS PONTOS:

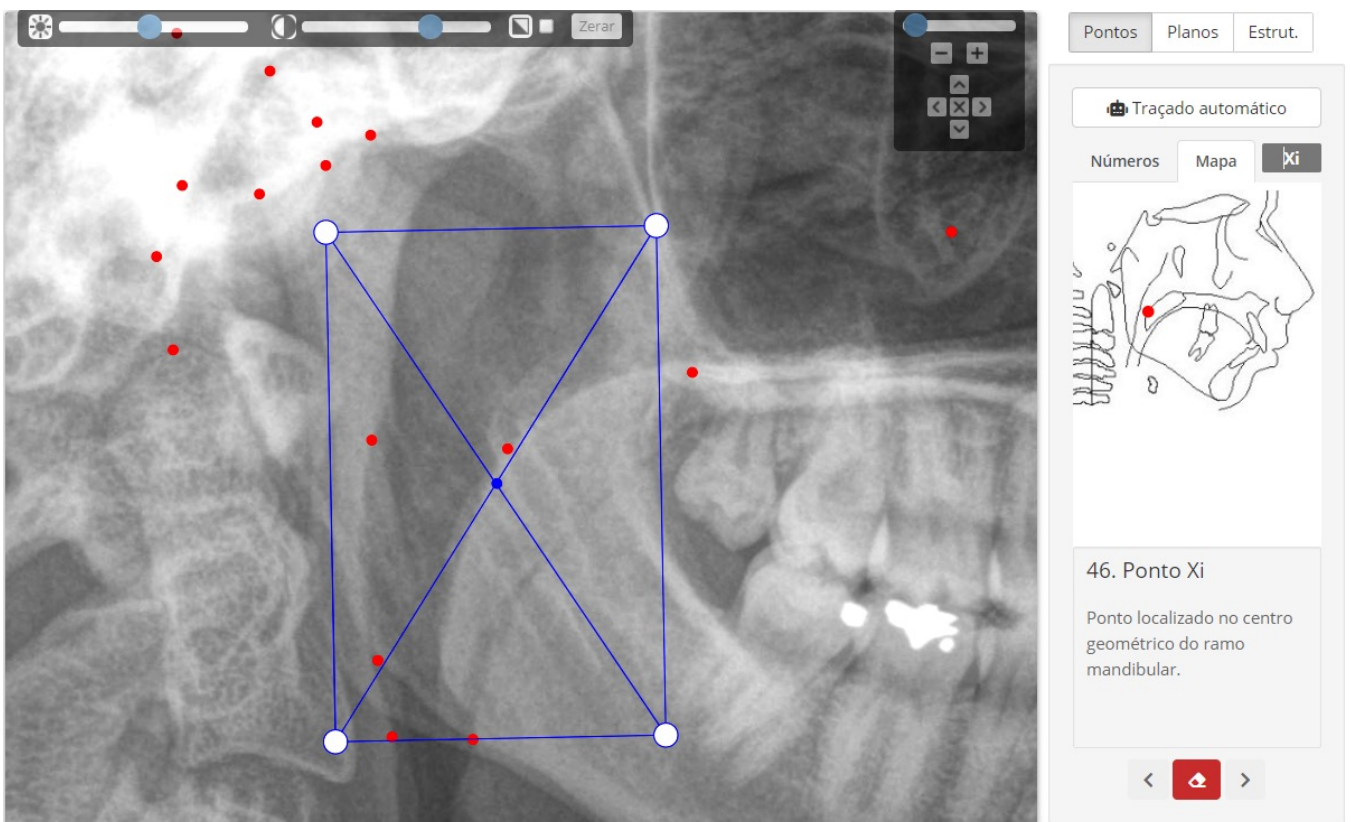


1 PASSO A PASSO

MARCANDO OS PONTOS:

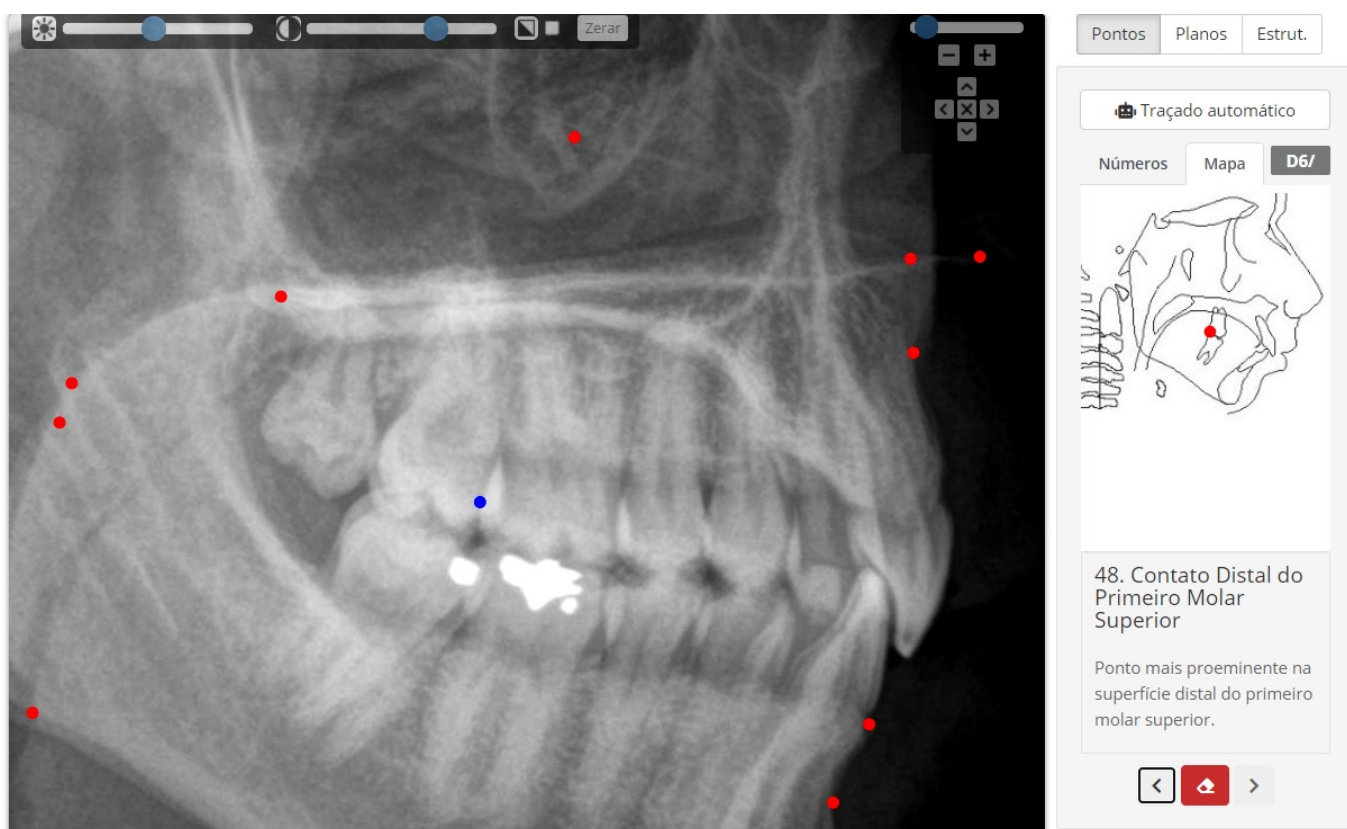


MARCANDO OS PONTOS:



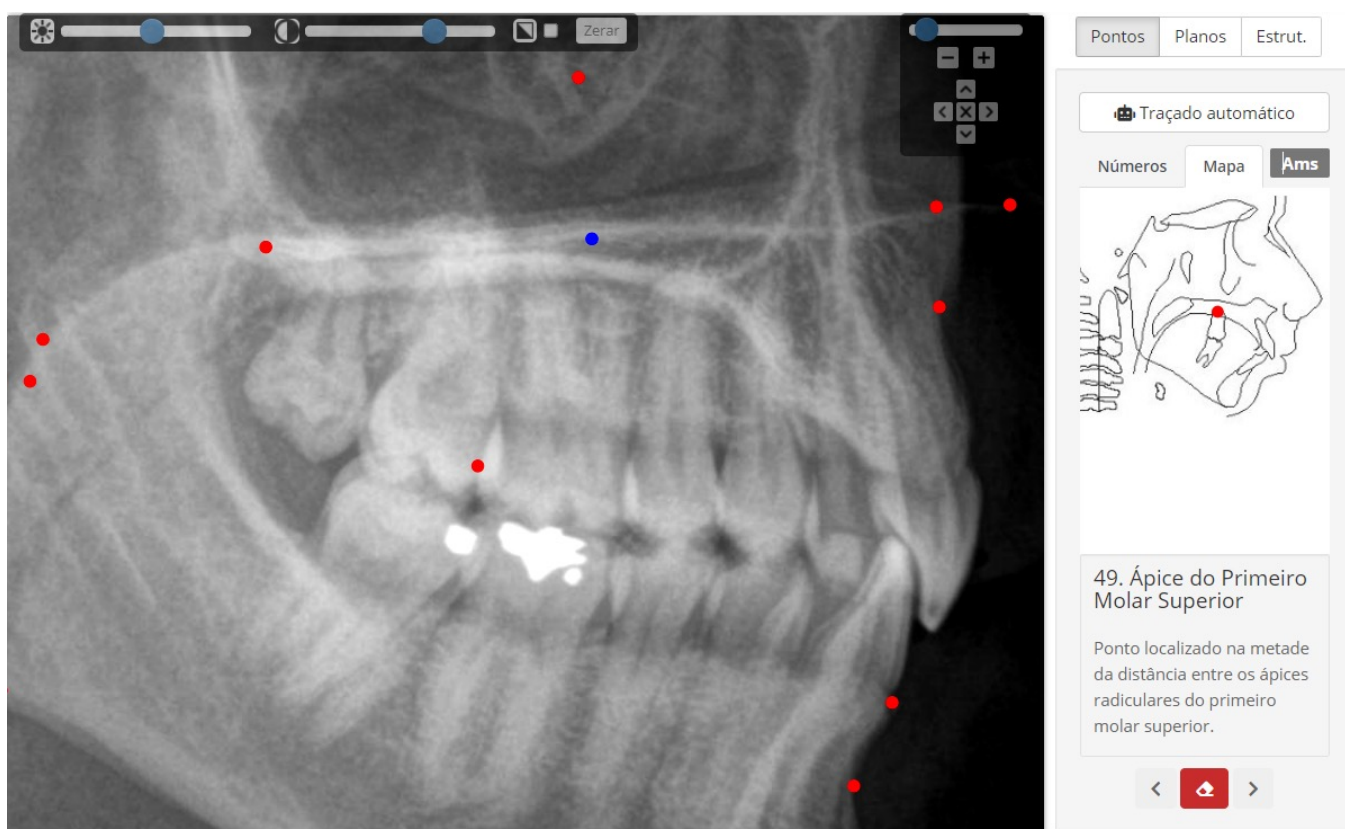
1 PASSO A PASSO

MARCANDO OS PONTOS:



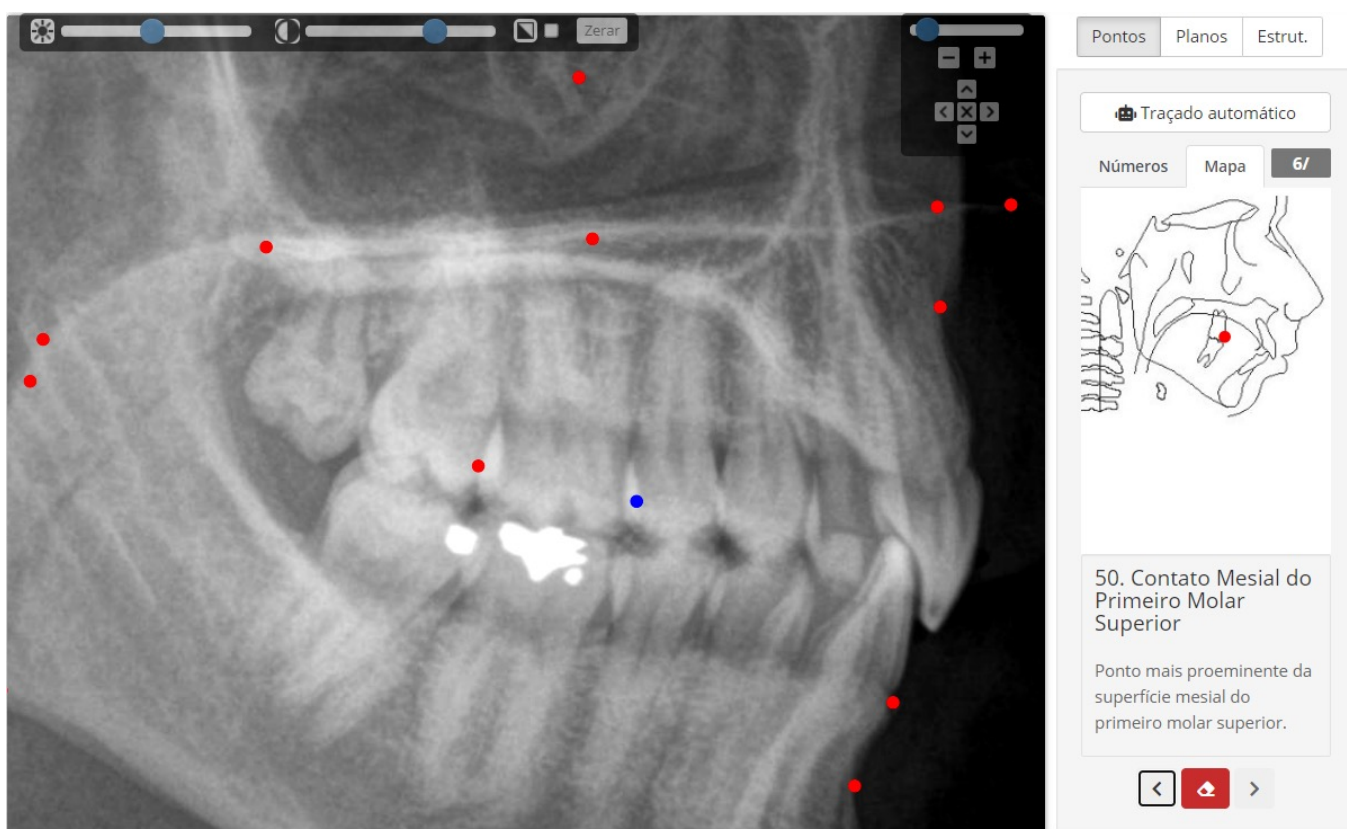
1 PASSO A PASSO

MARCANDO OS PONTOS:



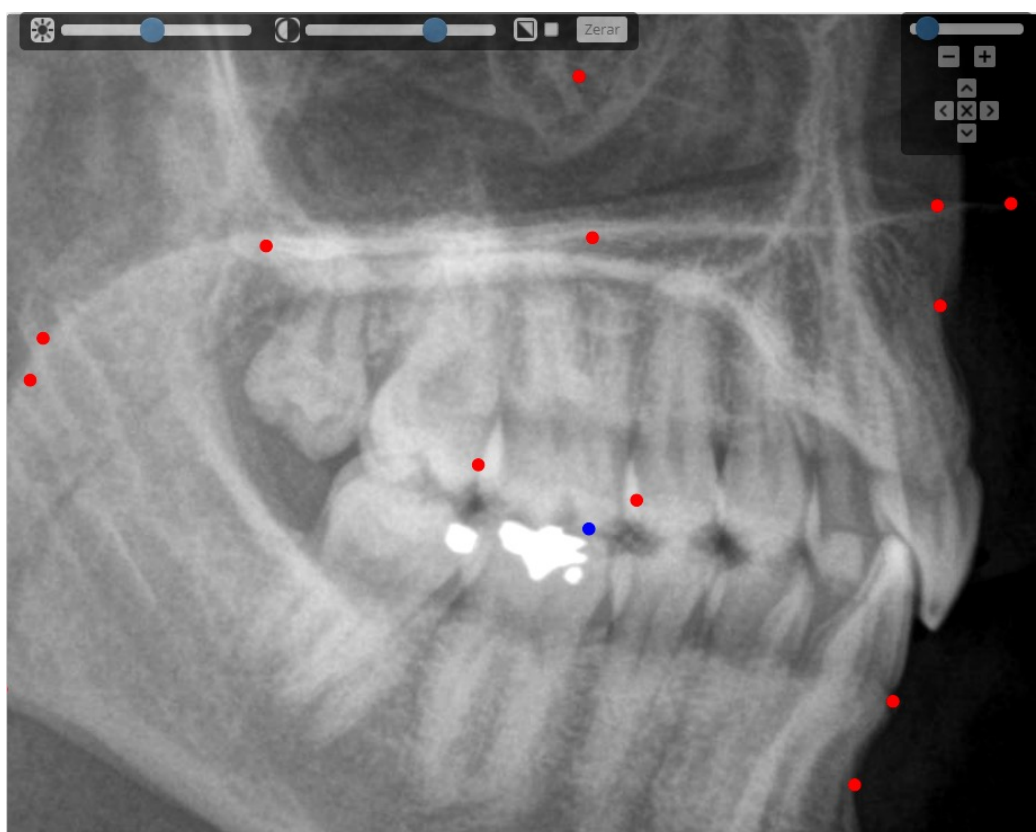
1 PASSO A PASSO

MARCANDO OS PONTOS:



1 PASSO A PASSO

MARCANDO OS PONTOS:



Pontos Planos Estrut.

Traçado automático

Números Mapa Ppd

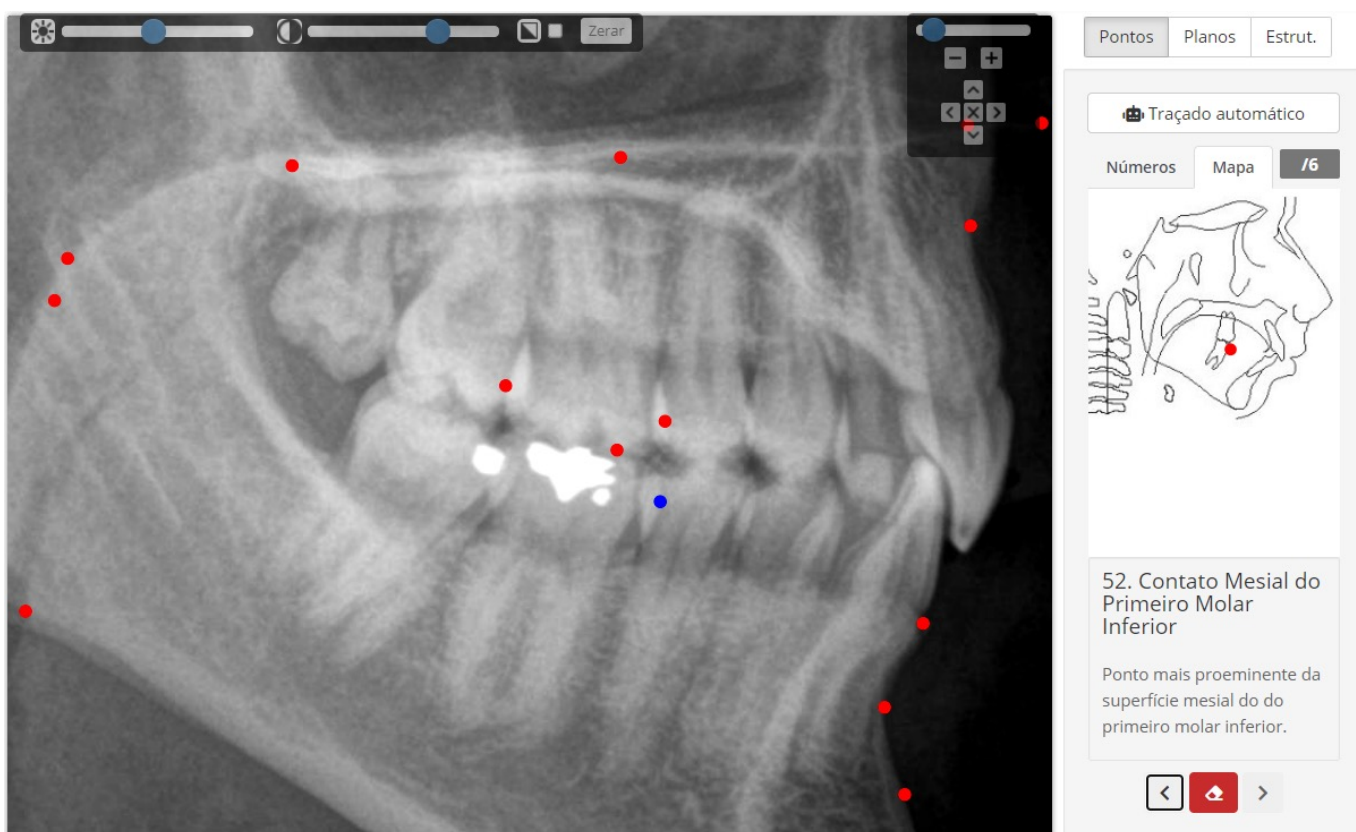
51. Ponto Posterior de Downs

Ponto médio da distância entre a cúspide mesial do molar superior e a cúspide mesial do 1º molar inferior. Para Schwarz é marcado na

< >

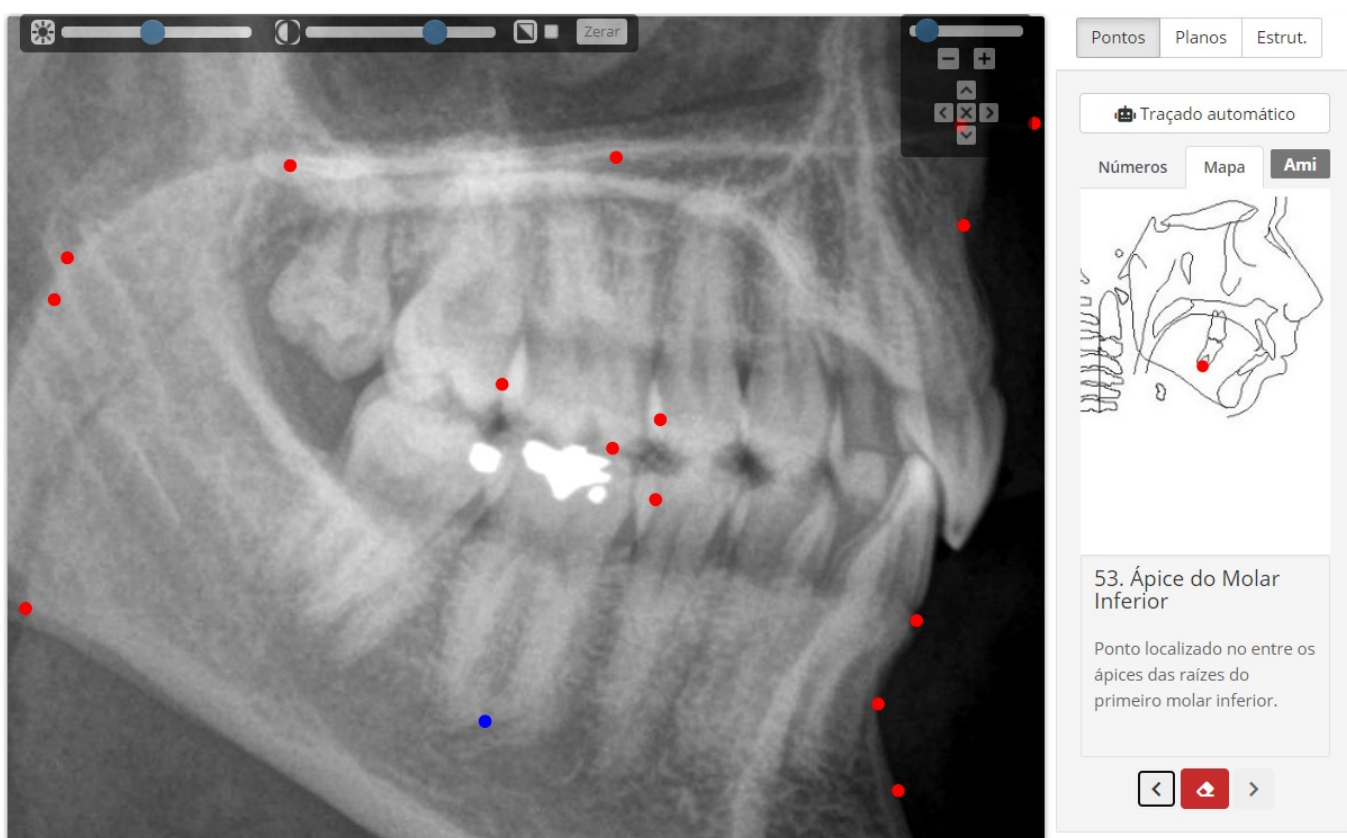
1 PASSO A PASSO

MARCANDO OS PONTOS:

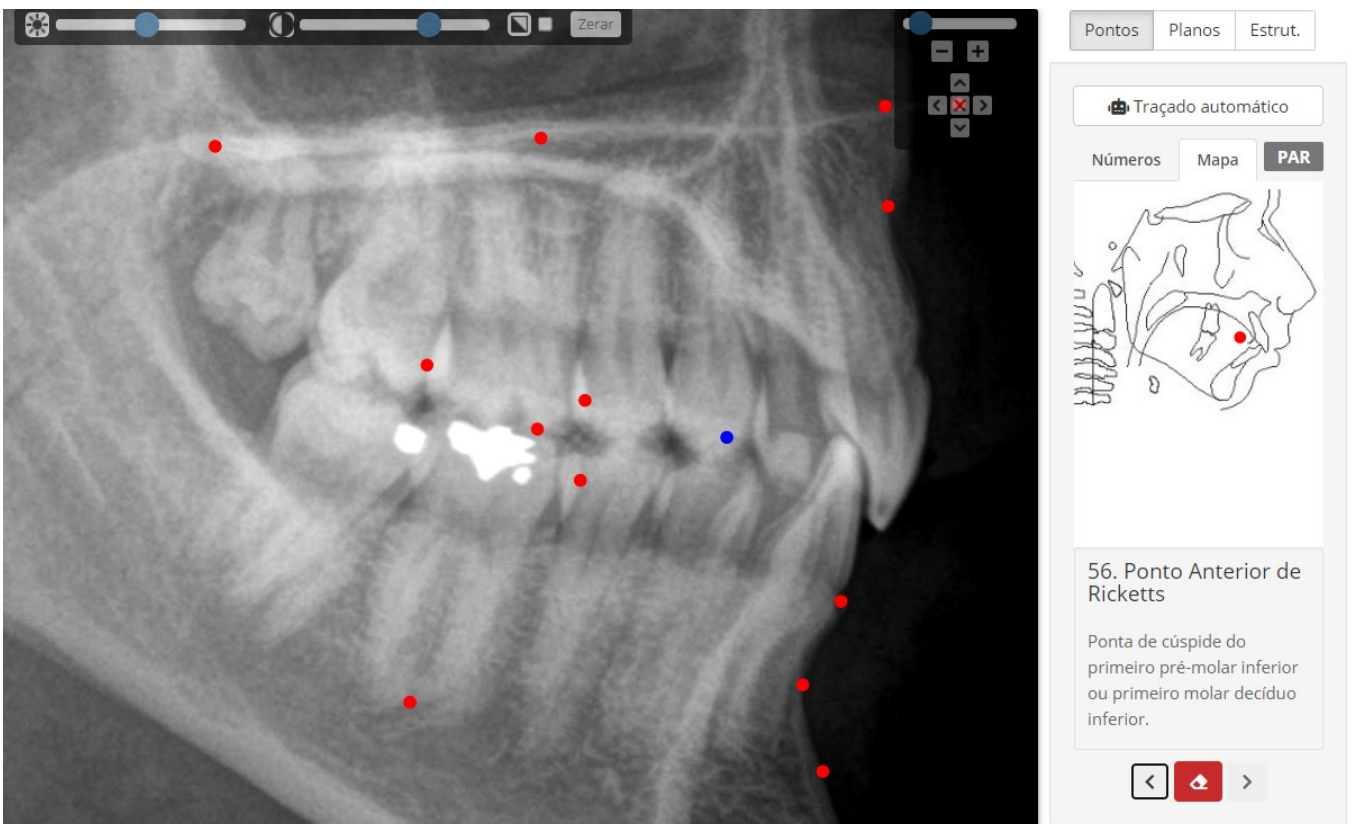


1 PASSO A PASSO

MARCANDO OS PONTOS:

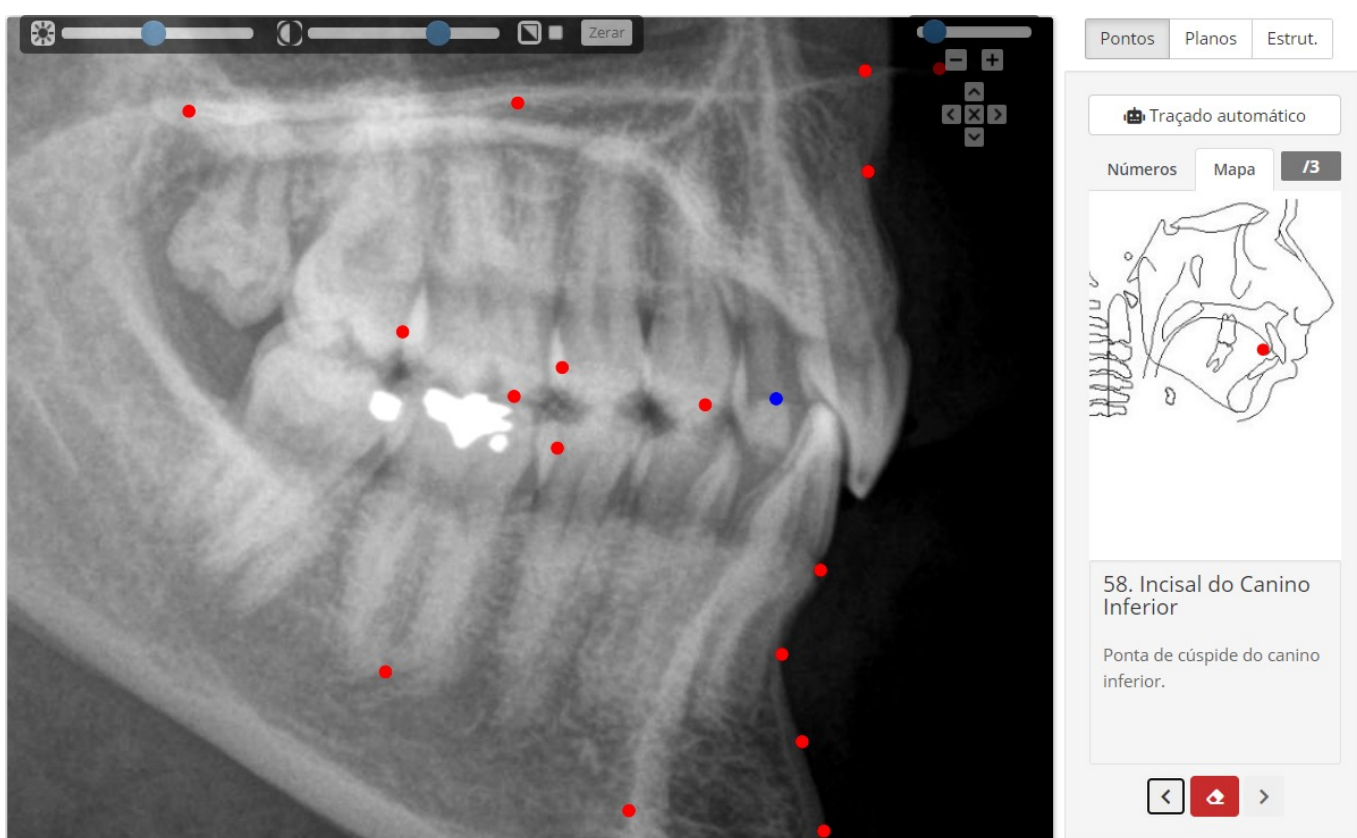


MARCANDO OS PONTOS:



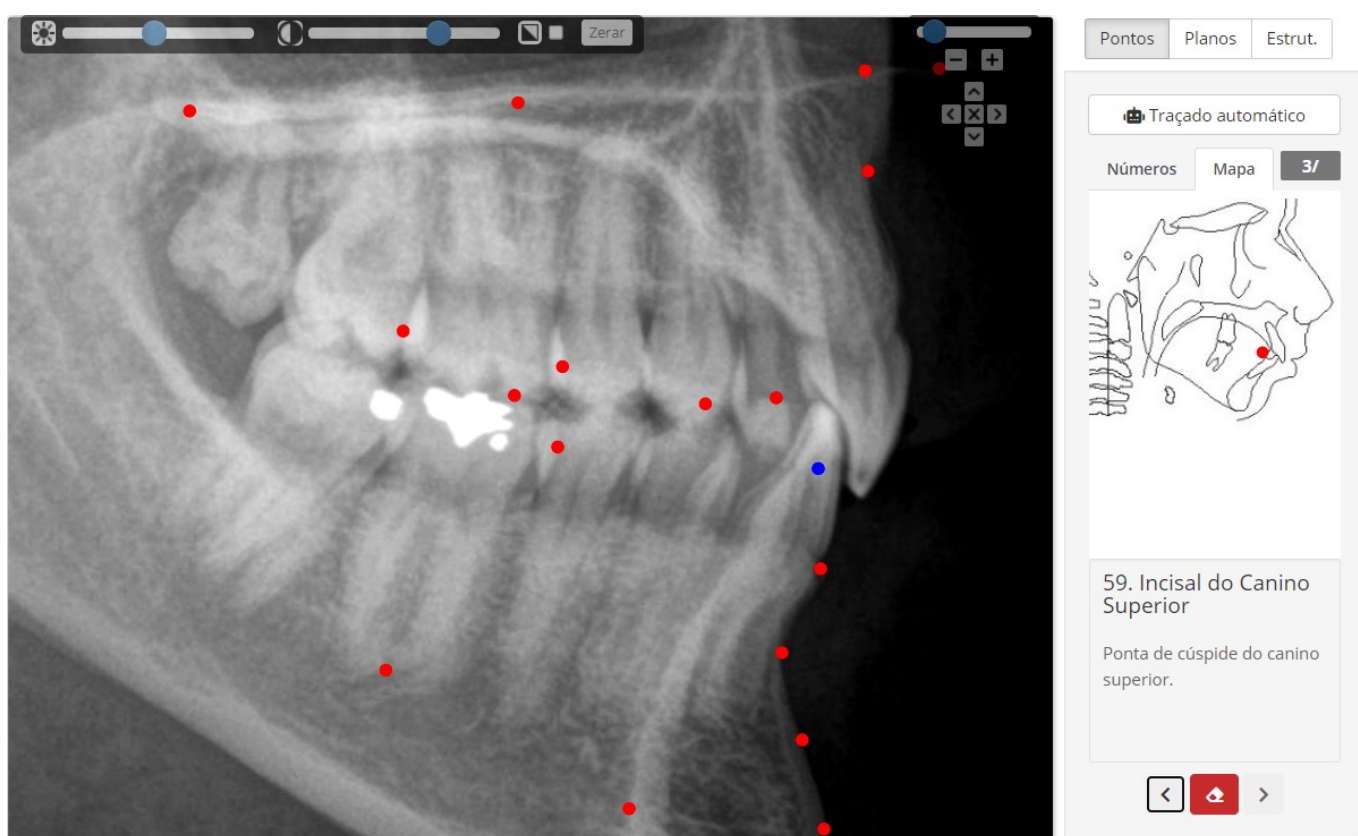
1 PASSO A PASSO

MARCANDO OS PONTOS:



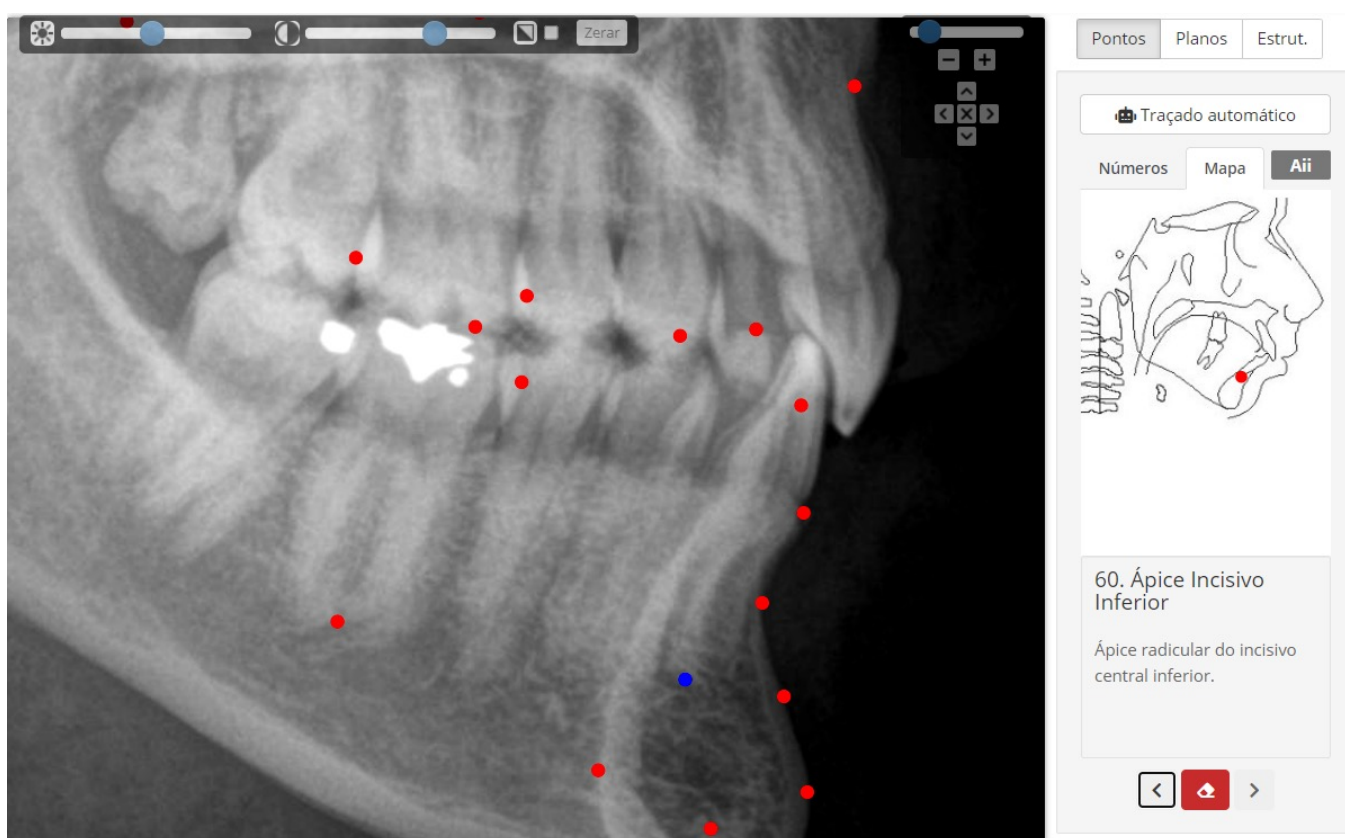
1 PASSO A PASSO

MARCANDO OS PONTOS:



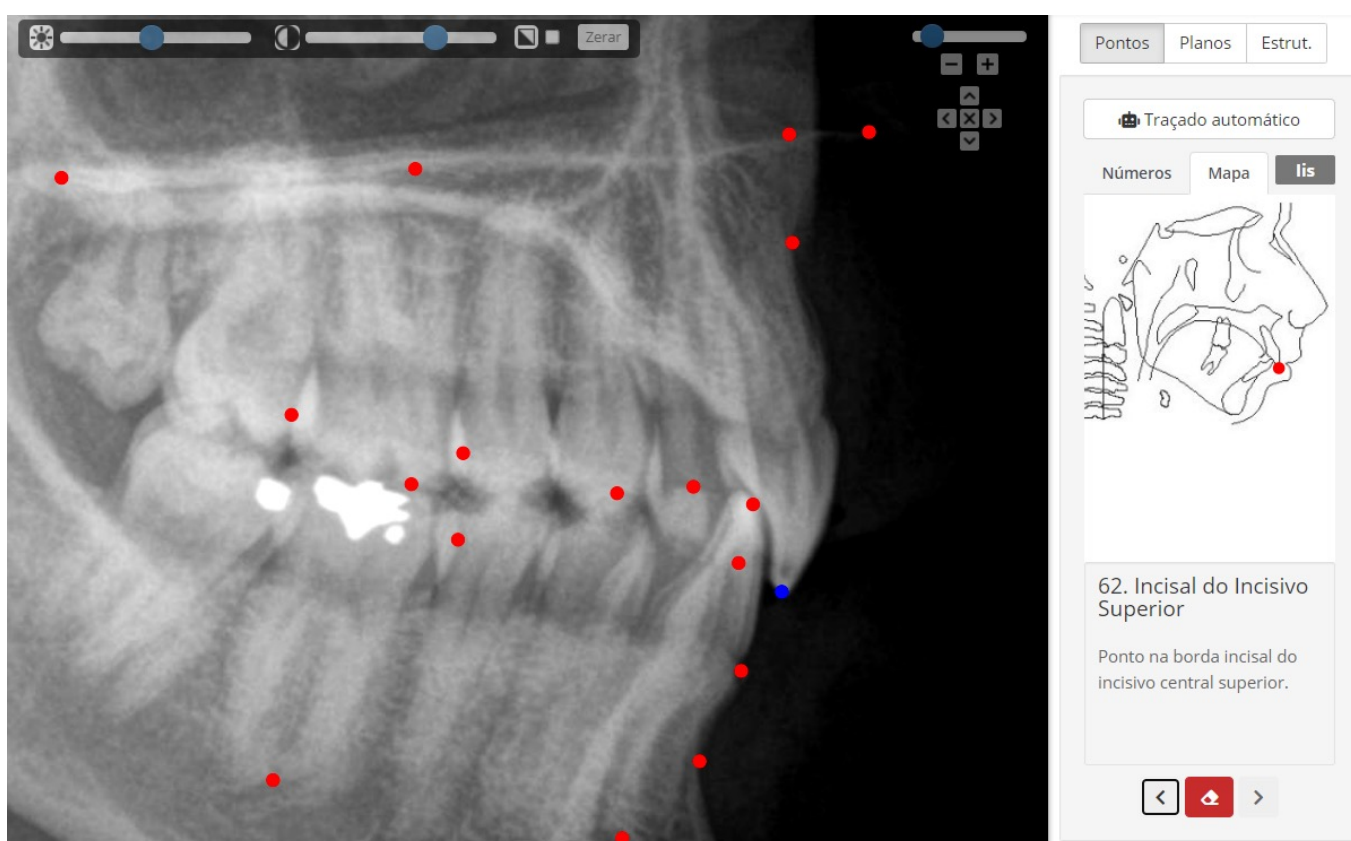
1 PASSO A PASSO

MARCANDO OS PONTOS:



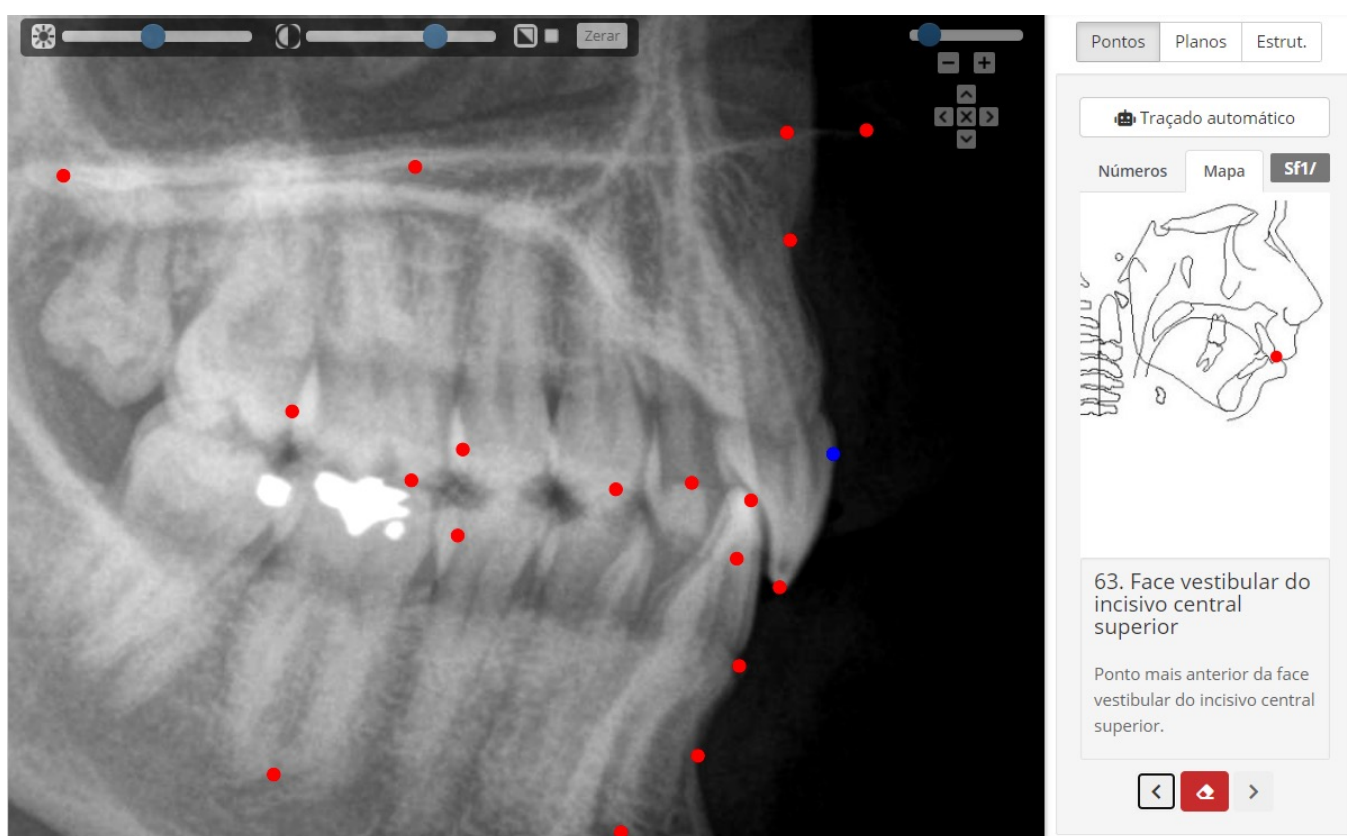
1 PASSO A PASSO

MARCANDO OS PONTOS:



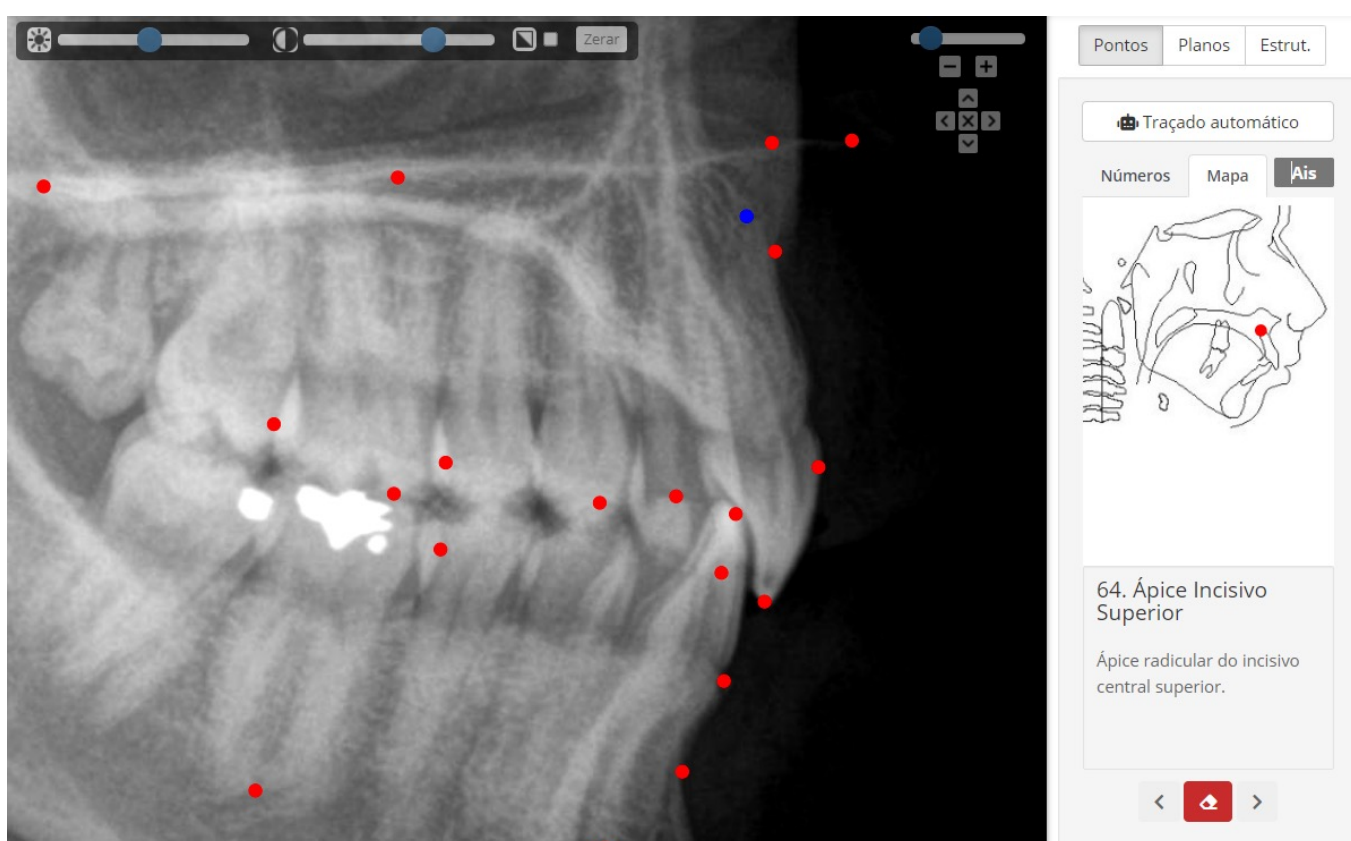
1 PASSO A PASSO

MARCANDO OS PONTOS:



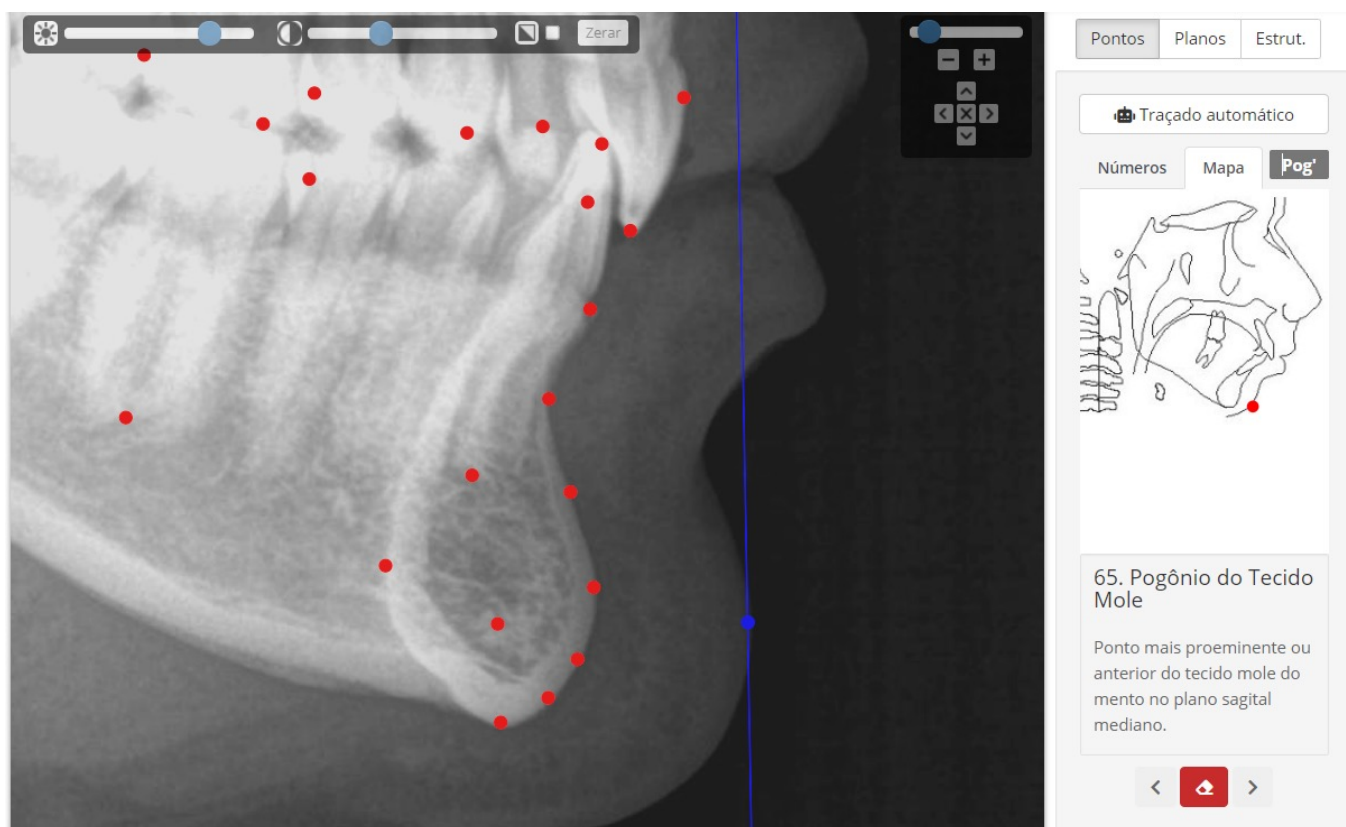
1 PASSO A PASSO

MARCANDO OS PONTOS:



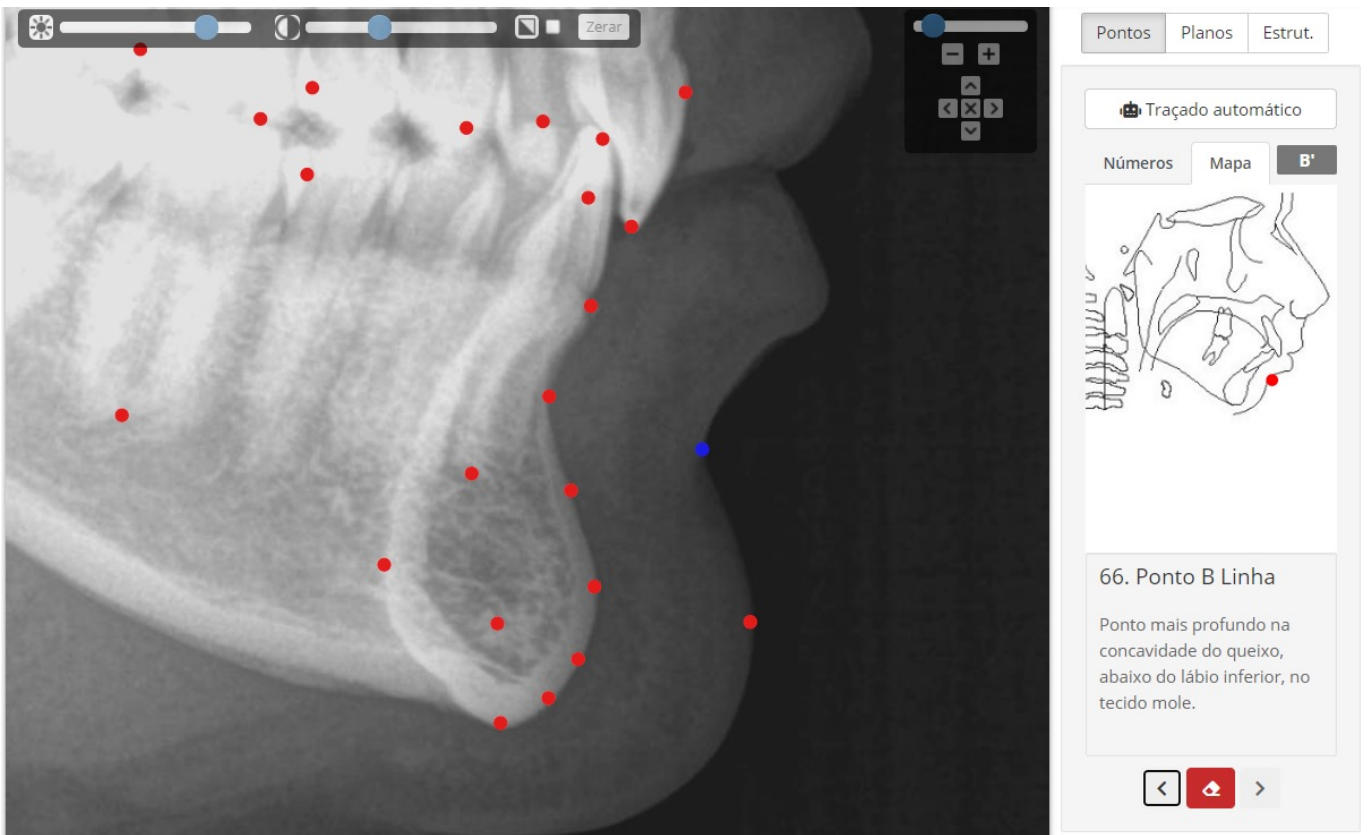
1 PASSO A PASSO

MARCANDO OS PONTOS:



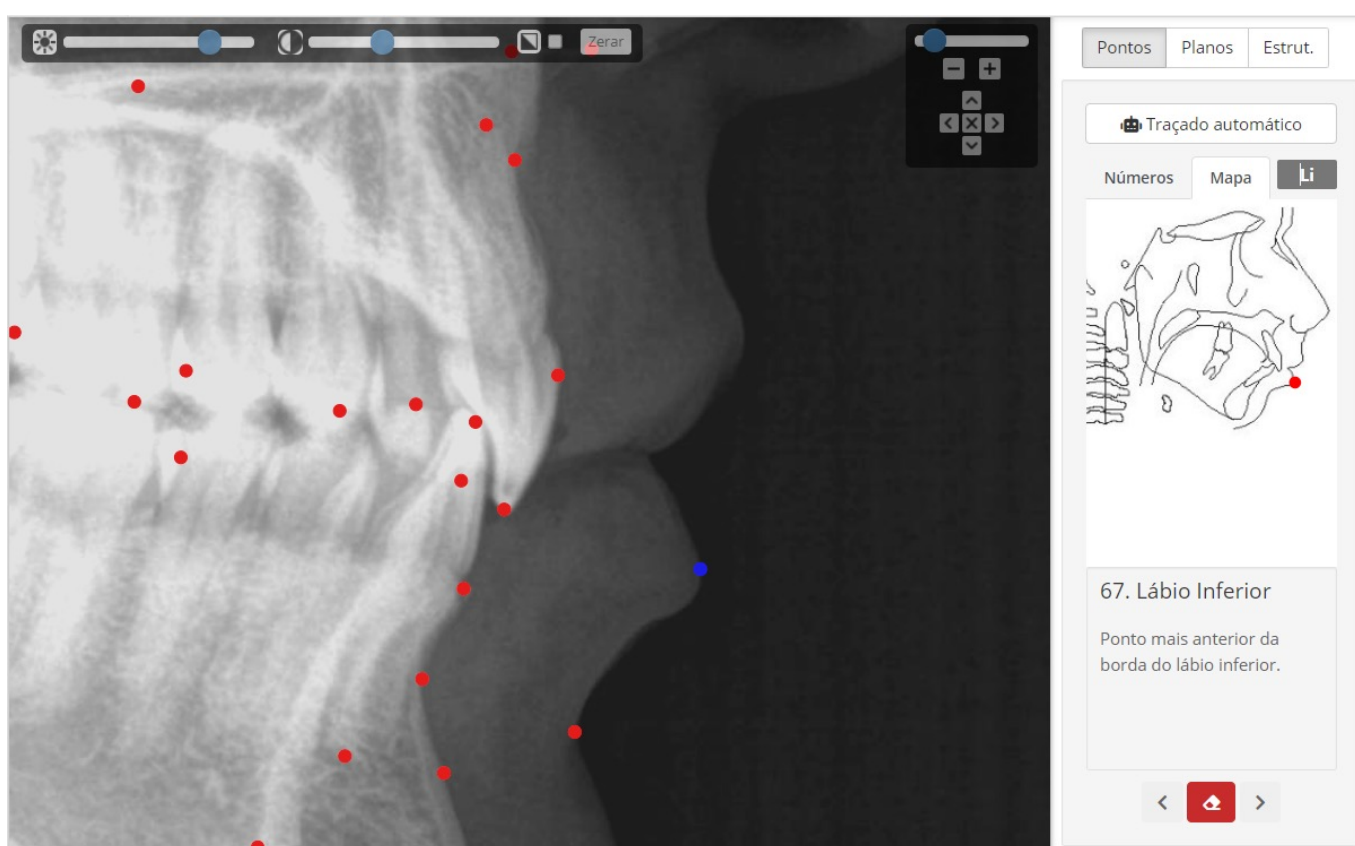
1 PASSO A PASSO

MARCANDO OS PONTOS:



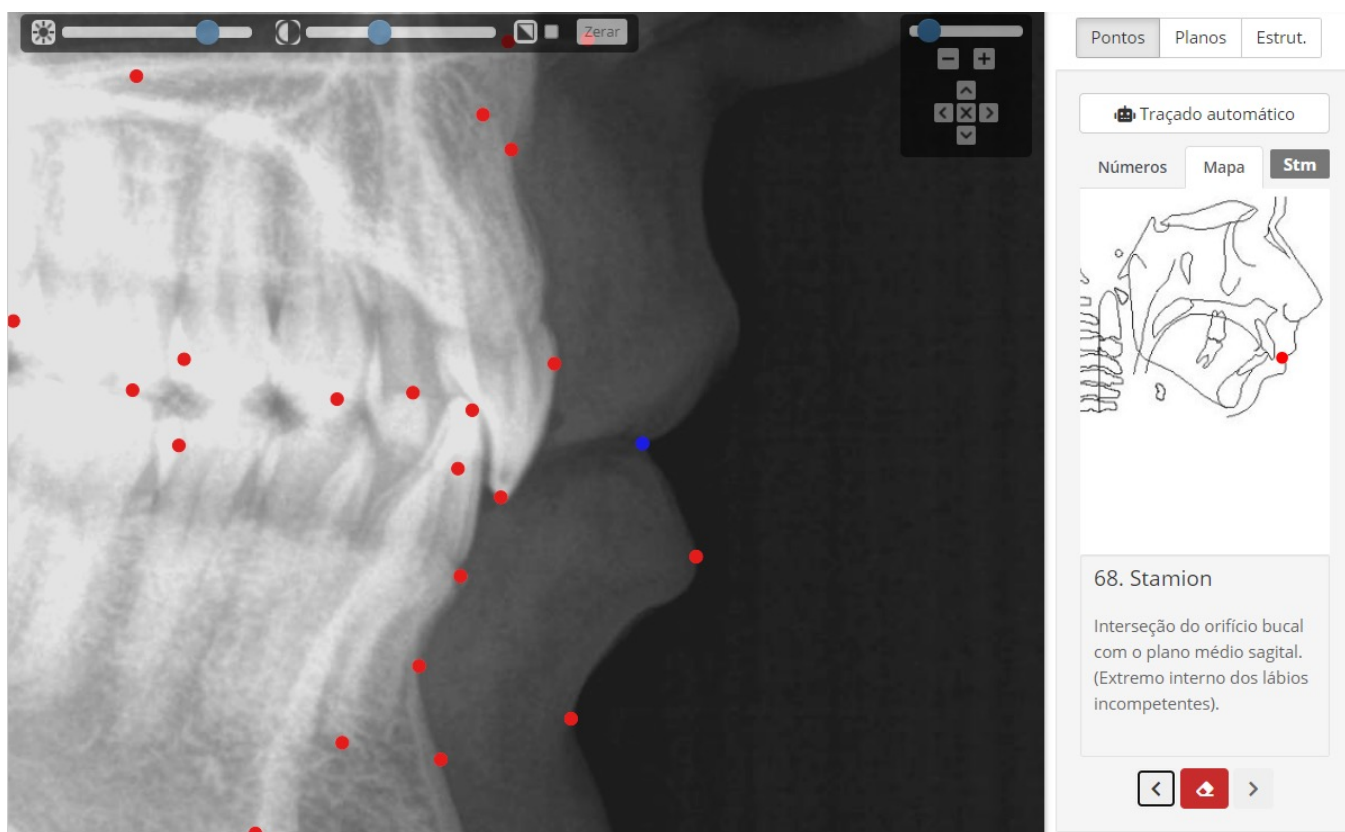
1 PASSO A PASSO

MARCANDO OS PONTOS:



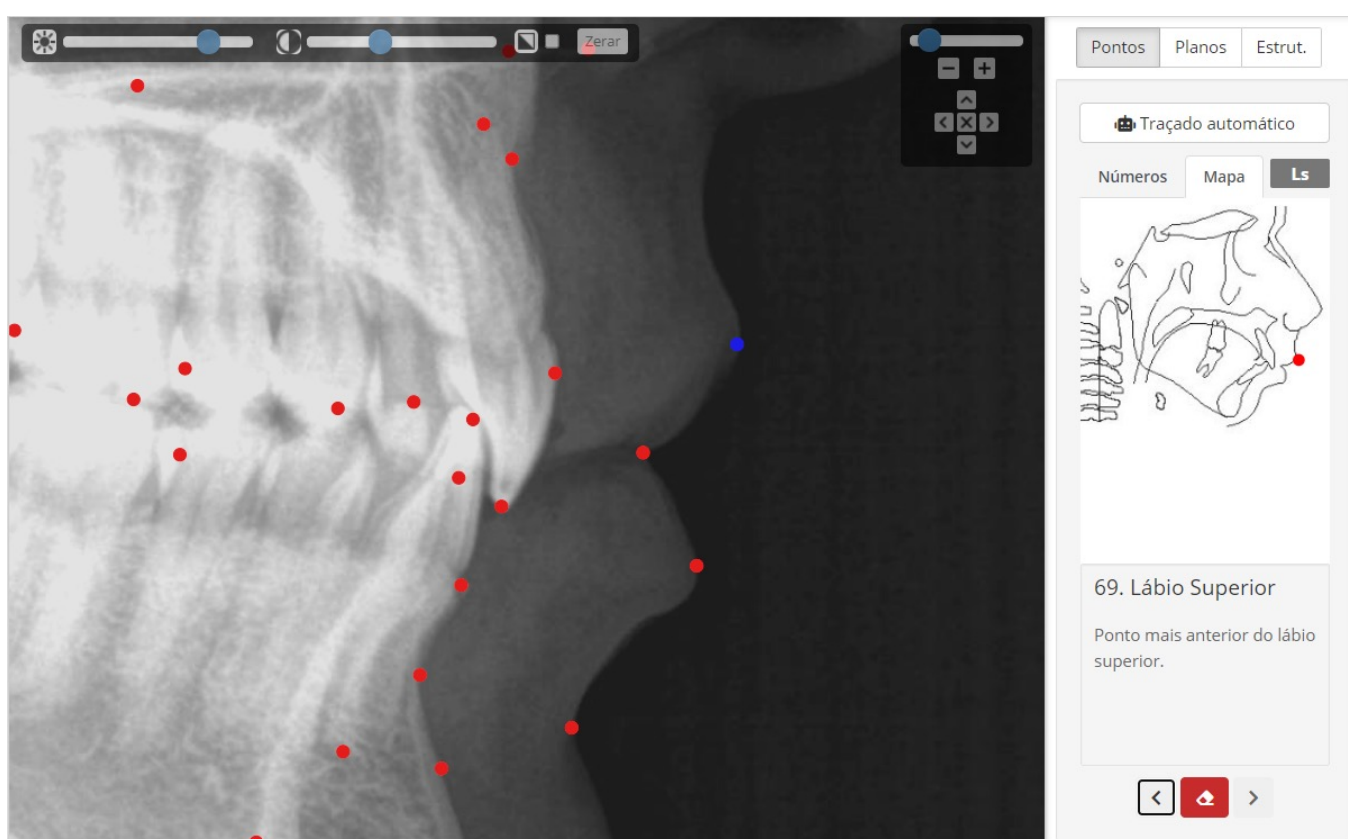
1 PASSO A PASSO

MARCANDO OS PONTOS:



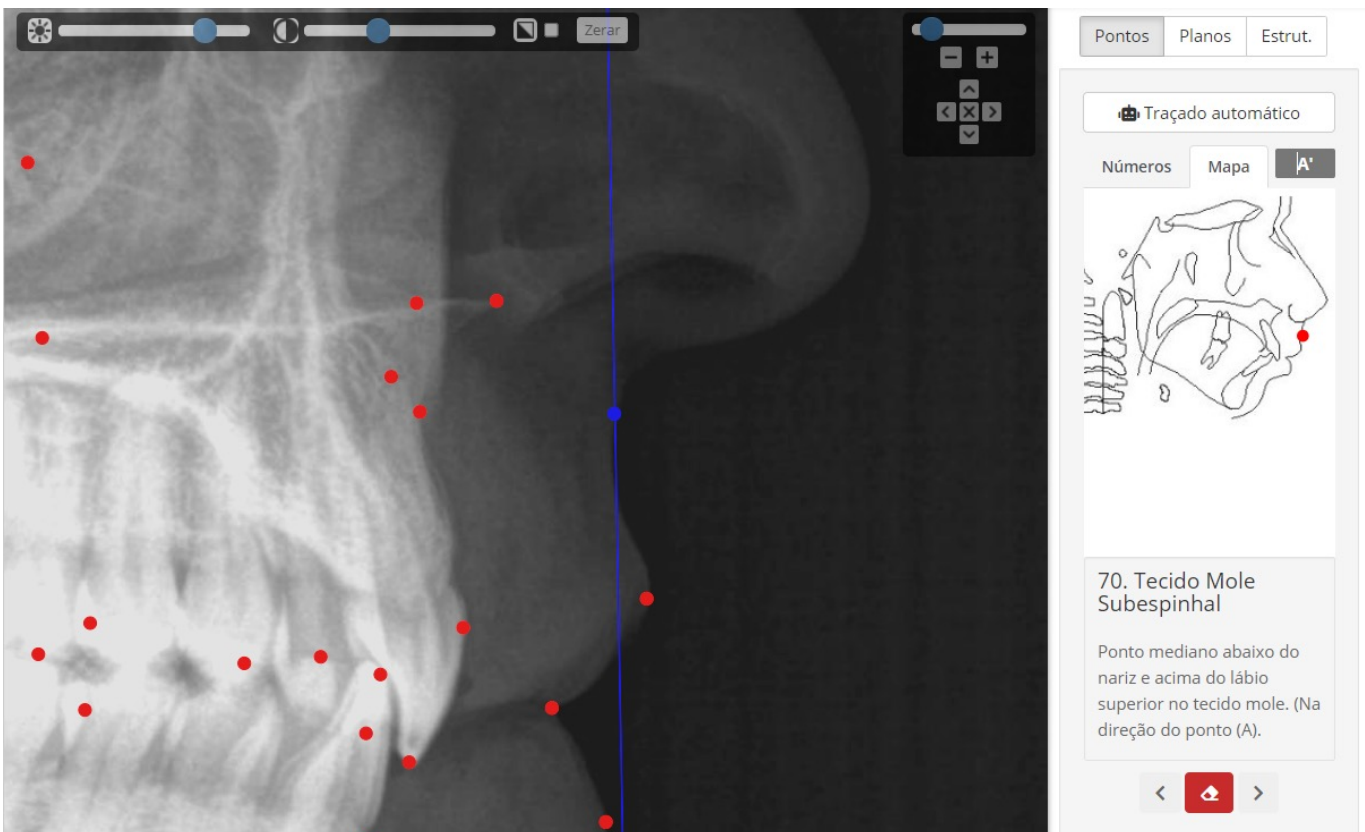
1 PASSO A PASSO

MARCANDO OS PONTOS:



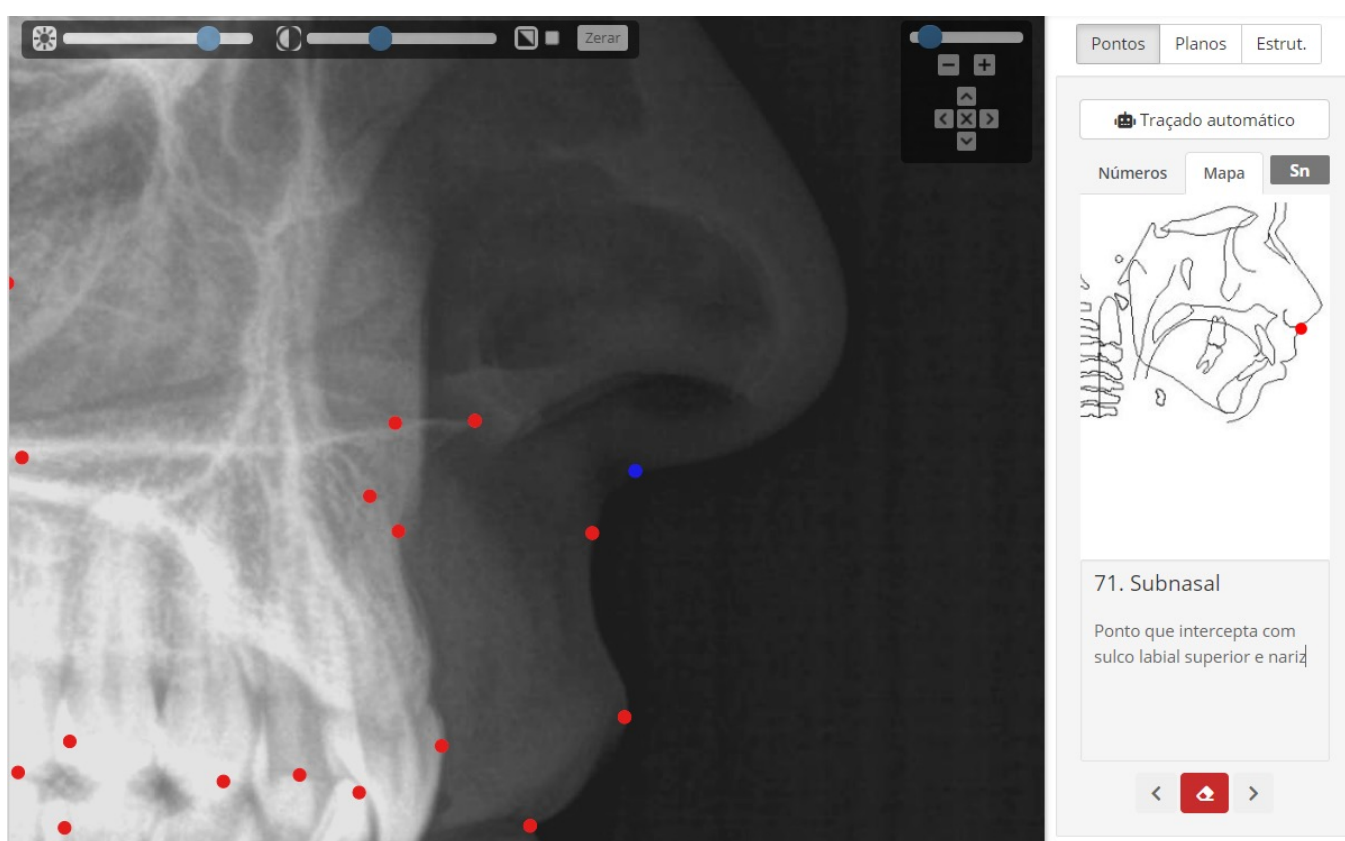
1 PASSO A PASSO

MARCANDO OS PONTOS:



1 PASSO A PASSO

MARCANDO OS PONTOS:



1 PASSO A PASSO

MARCANDO OS PONTOS:



MARCANDO OS PONTOS:

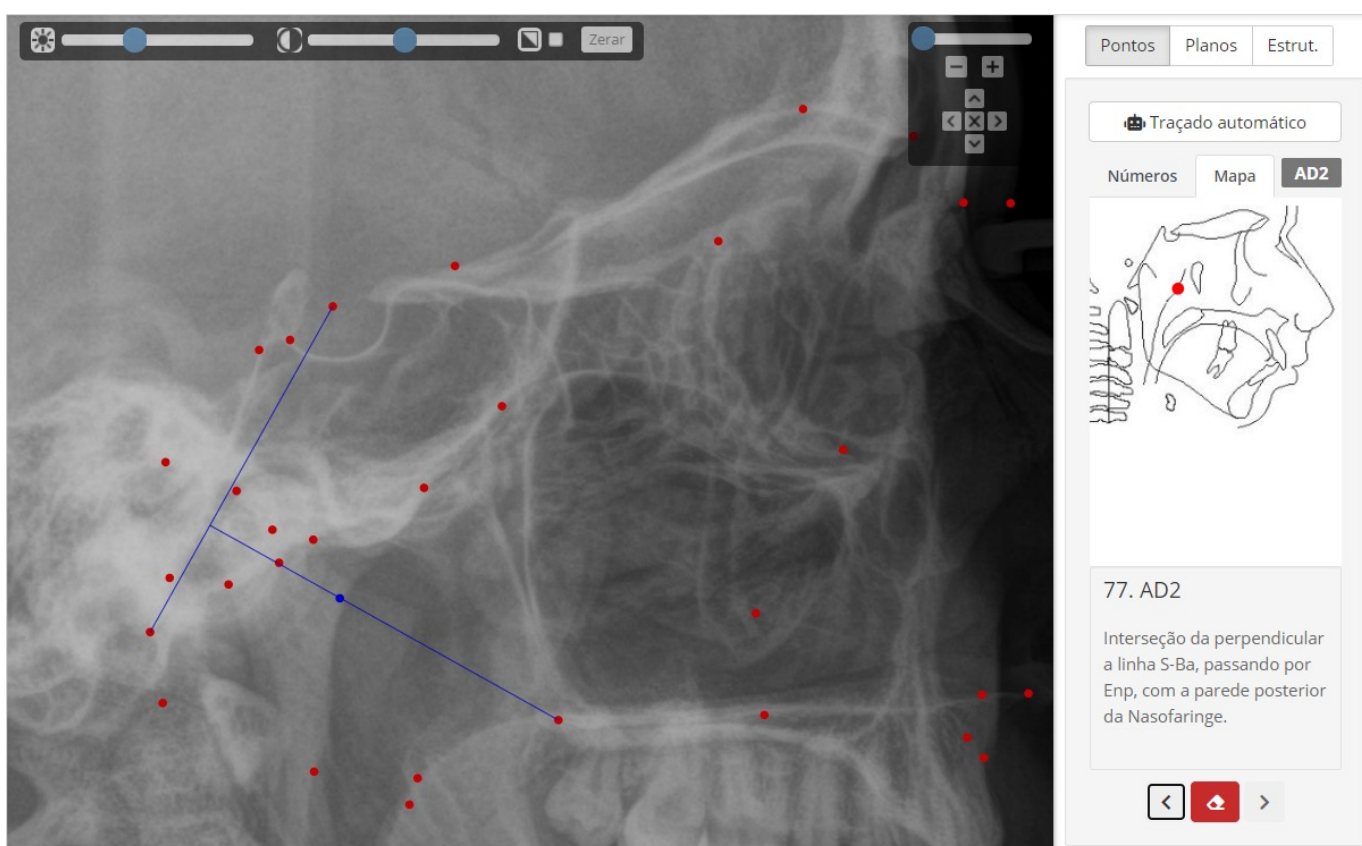


MARCANDO OS PONTOS:



1 PASSO A PASSO

MARCANDO OS PONTOS:

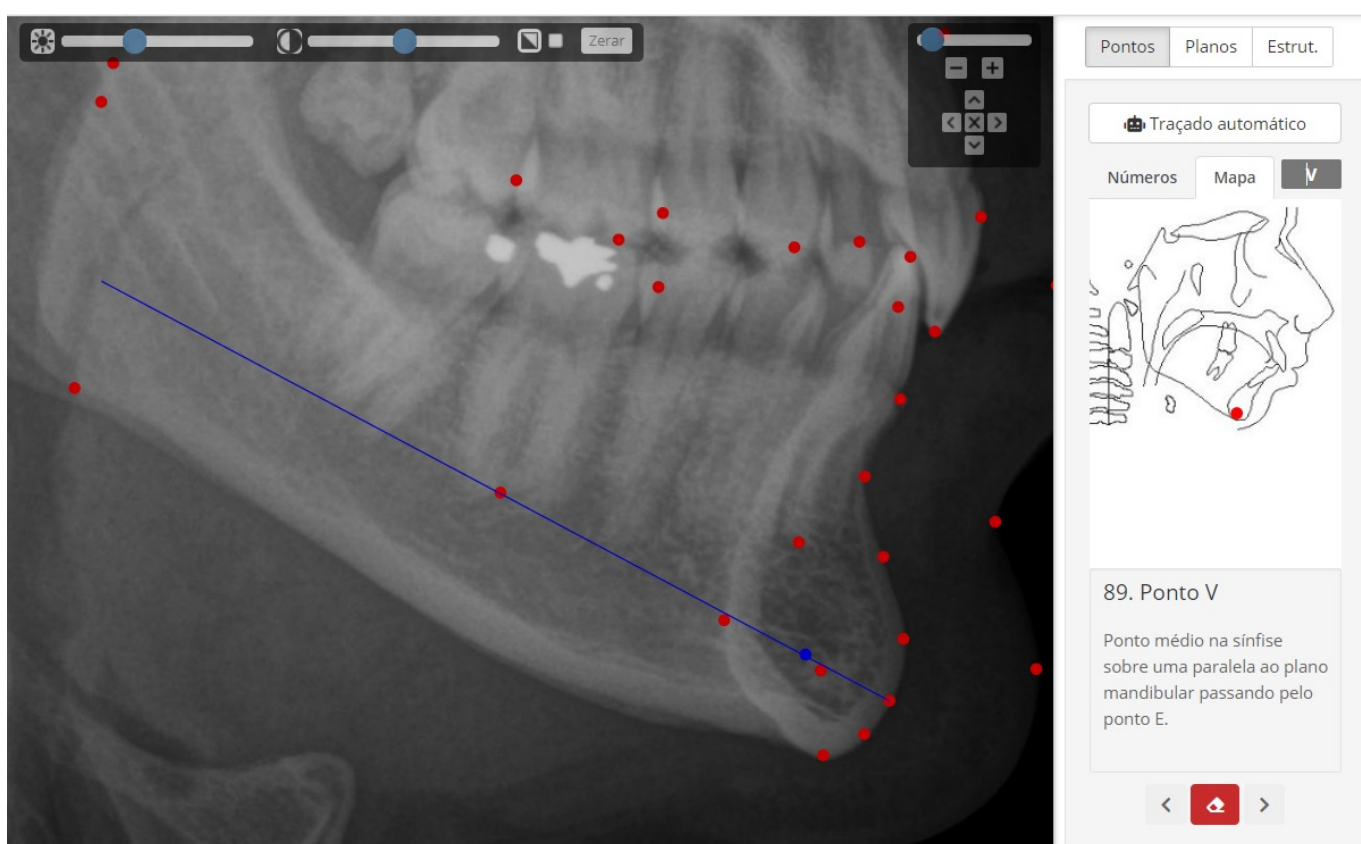


MARCANDO OS PONTOS:



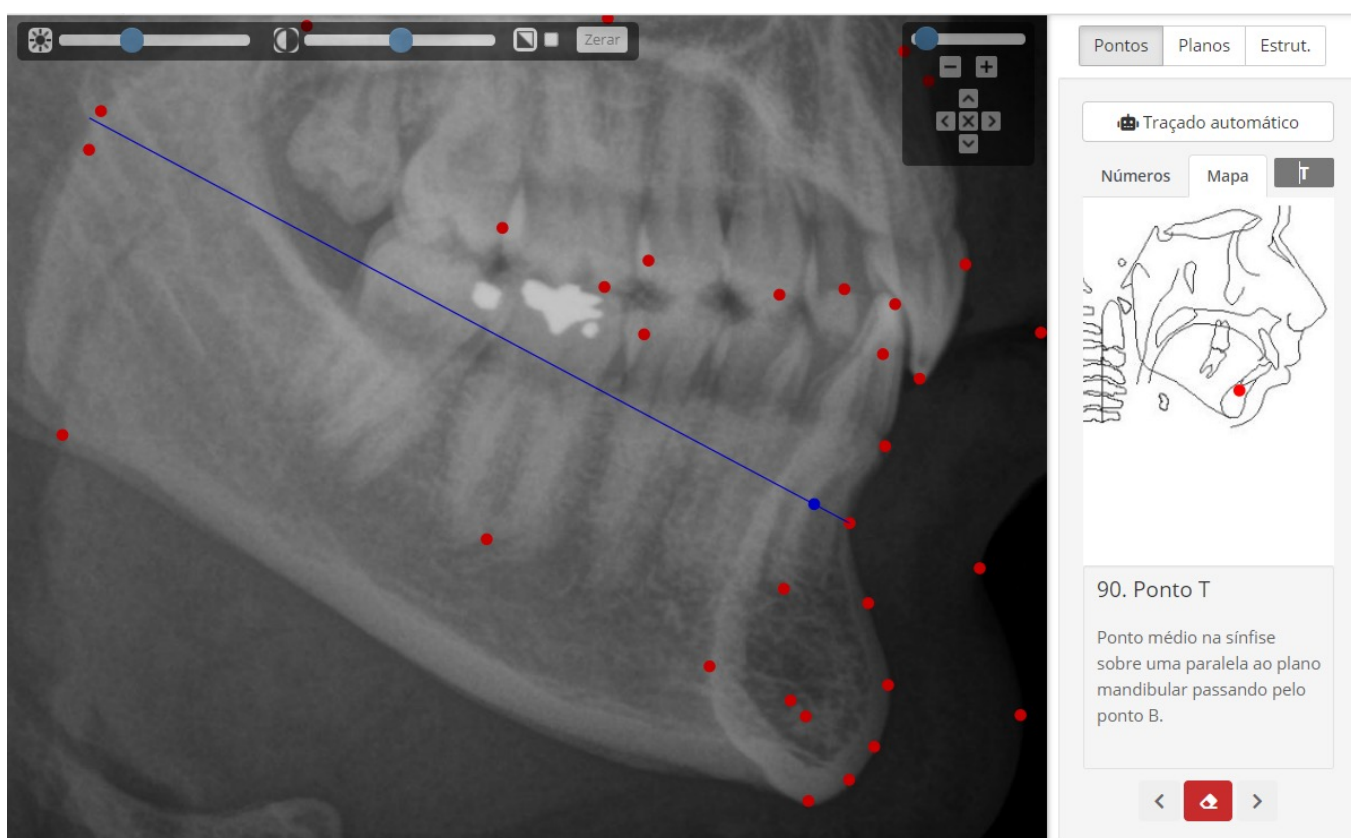
1 PASSO A PASSO

MARCANDO OS PONTOS:



1 PASSO A PASSO

MARCANDO OS PONTOS:



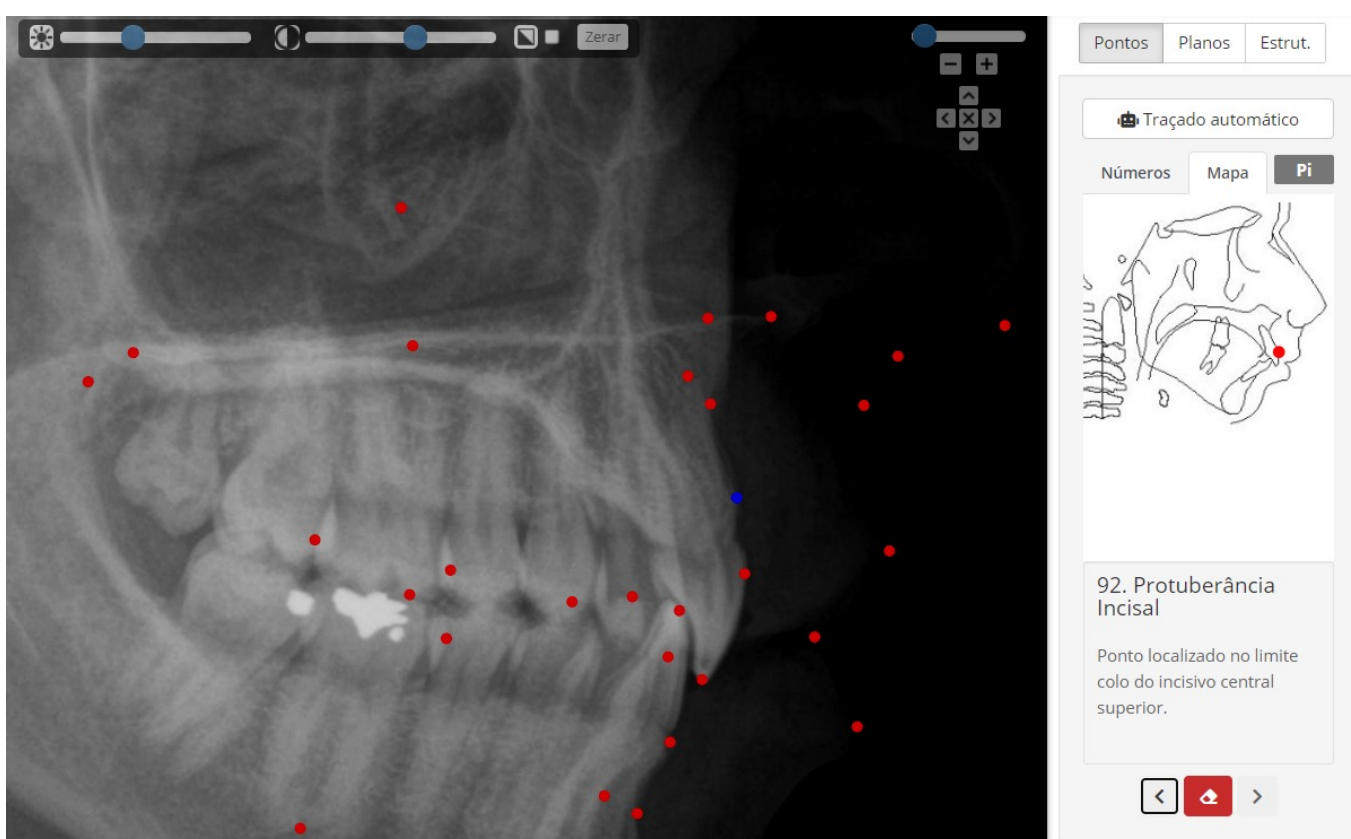
1 PASSO A PASSO

MARCANDO OS PONTOS:

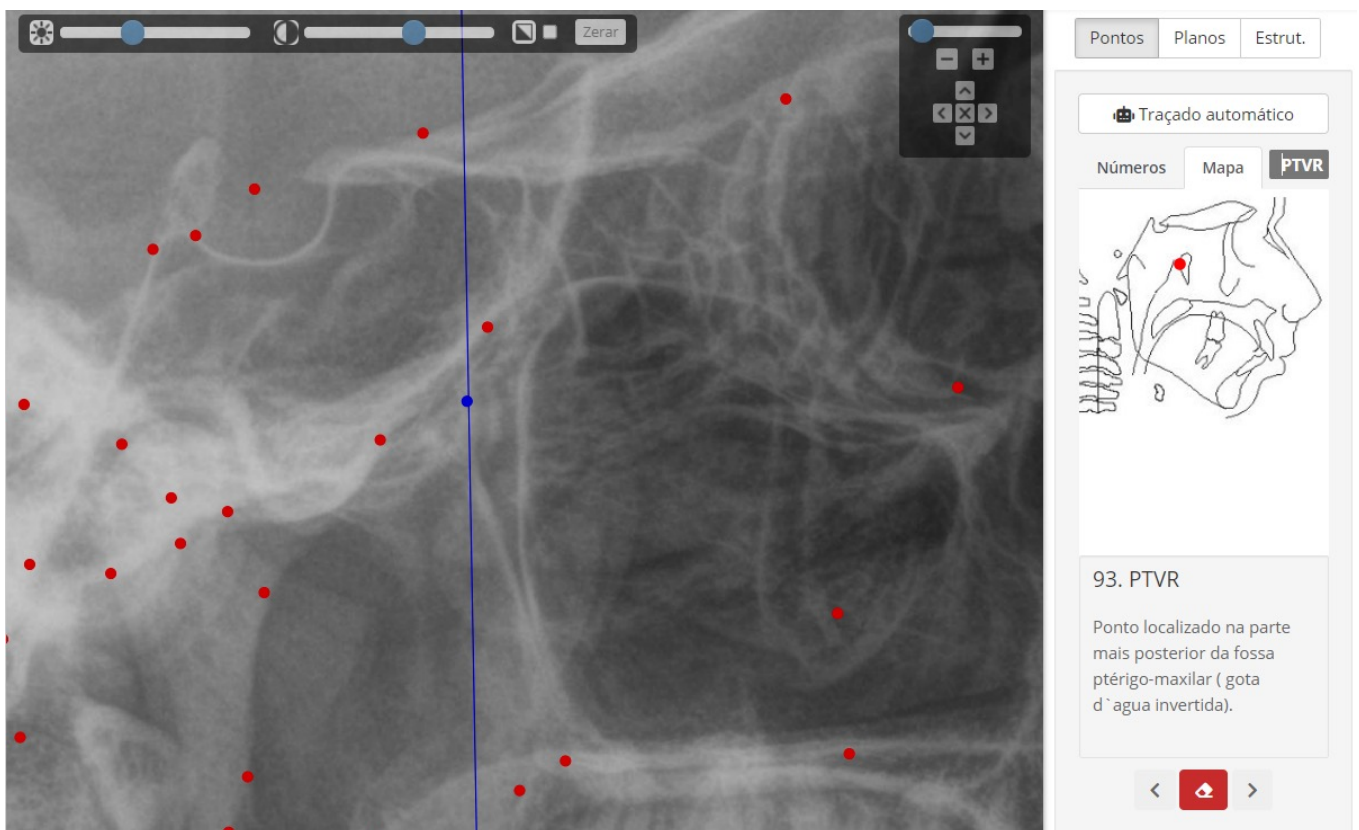


1 PASSO A PASSO

MARCANDO OS PONTOS:

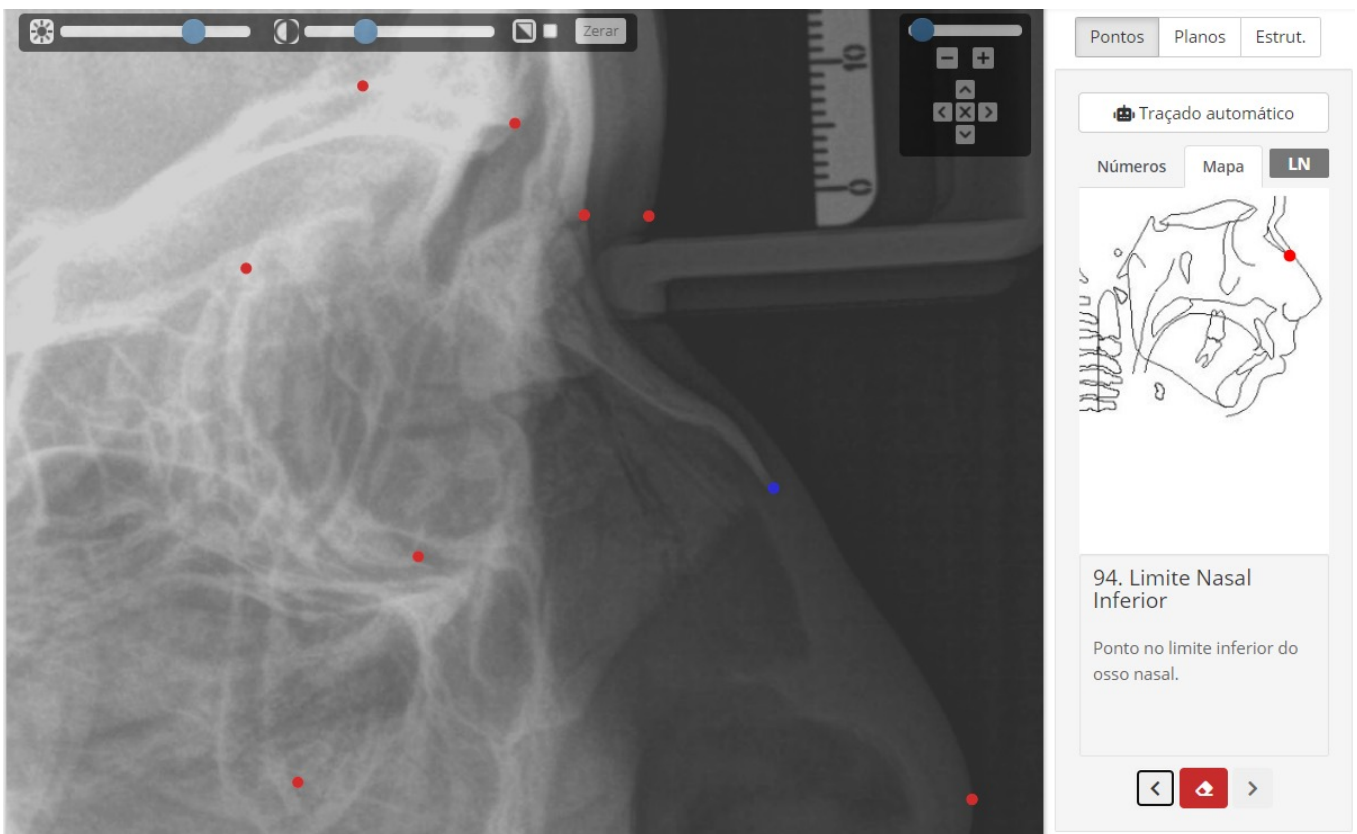


MARCANDO OS PONTOS:



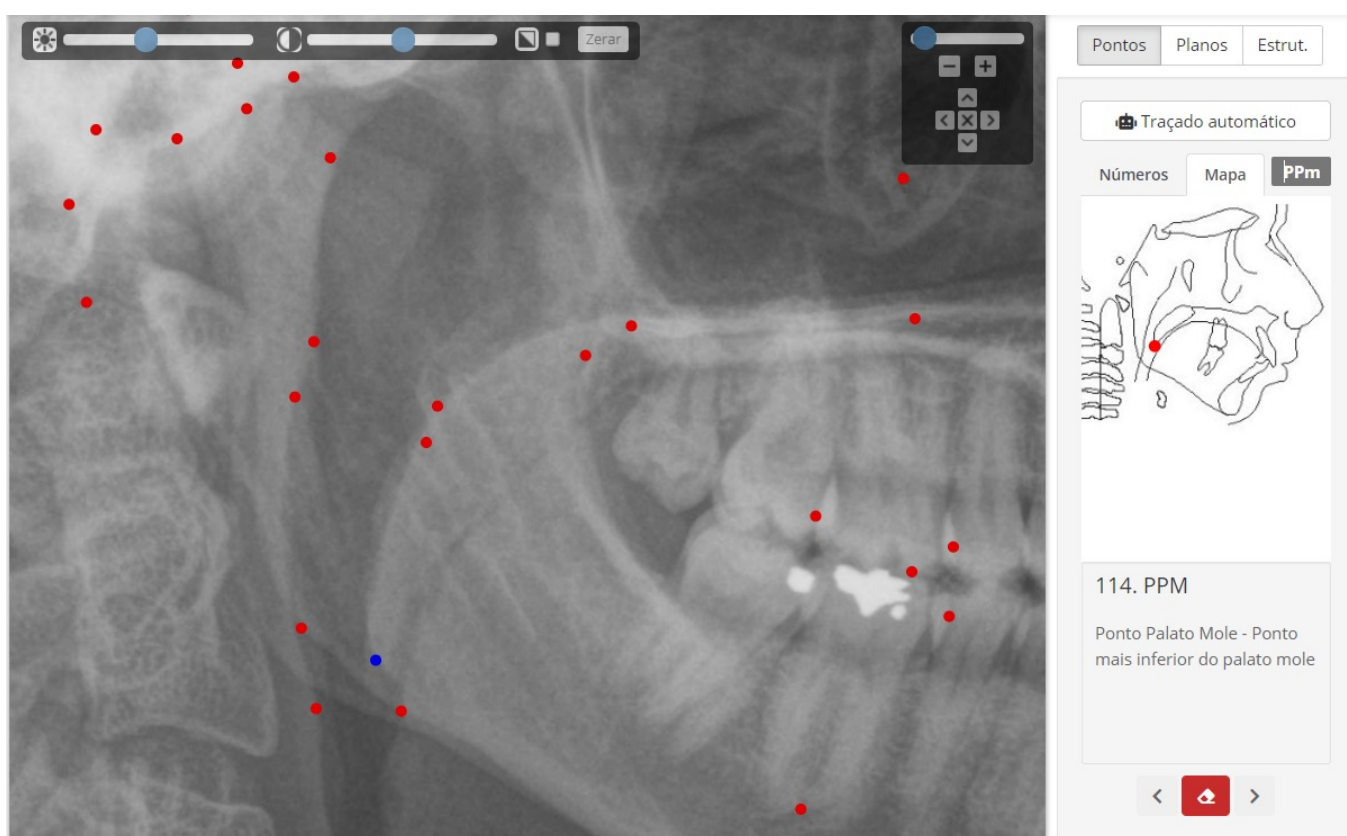
1 PASSO A PASSO

MARCANDO OS PONTOS:



1 PASSO A PASSO

MARCANDO OS PONTOS:



The image features a black background with several overlapping hexagonal shapes in shades of yellow and orange. These shapes are arranged in a way that creates a 3D effect, resembling stacked blocks or a crystalline structure. The hexagons are positioned in the upper left and lower right corners, with the word 'FINALIZAÇÃO' centered in the middle.

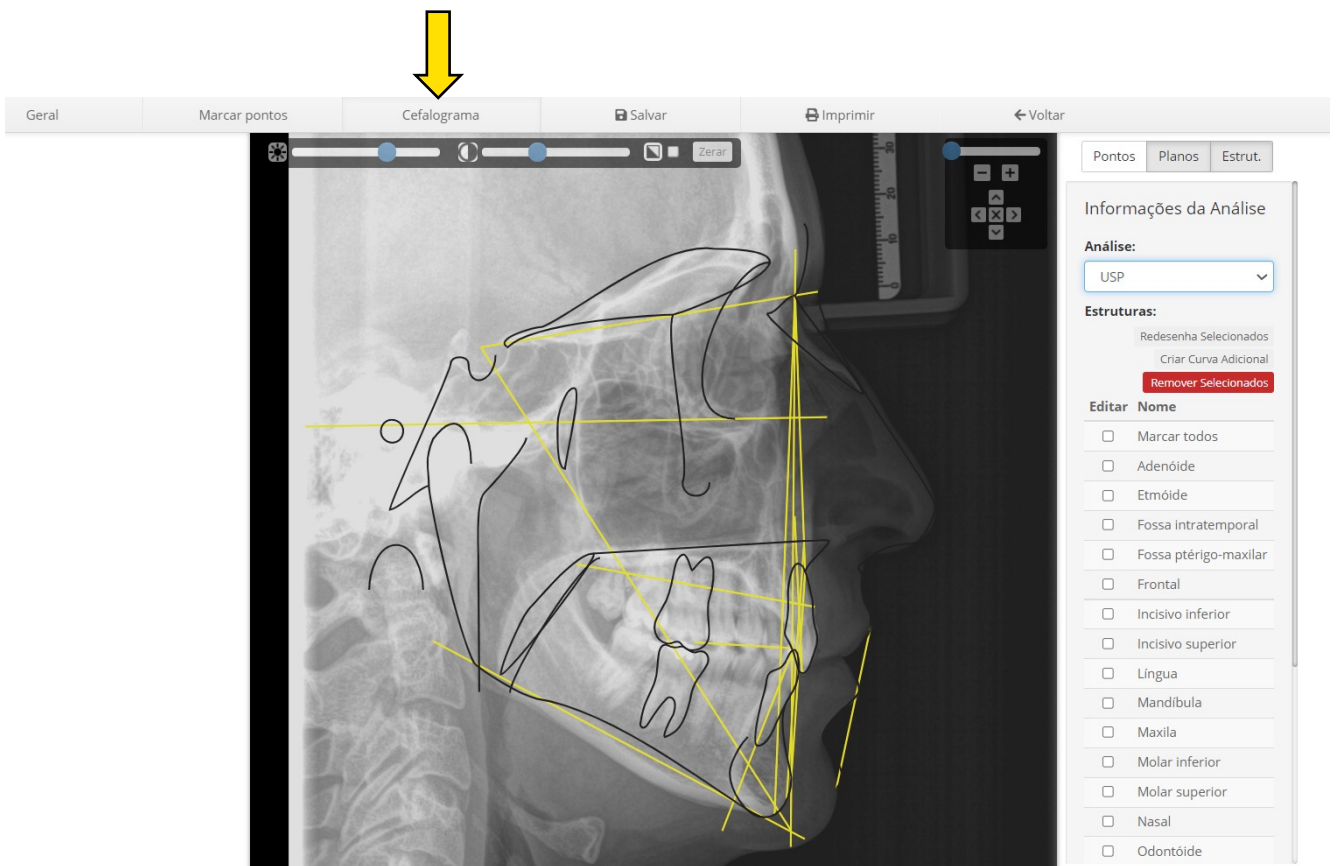
FINALIZAÇÃO

- Após terminar a marcação dos pontos, clique em “salvar”.

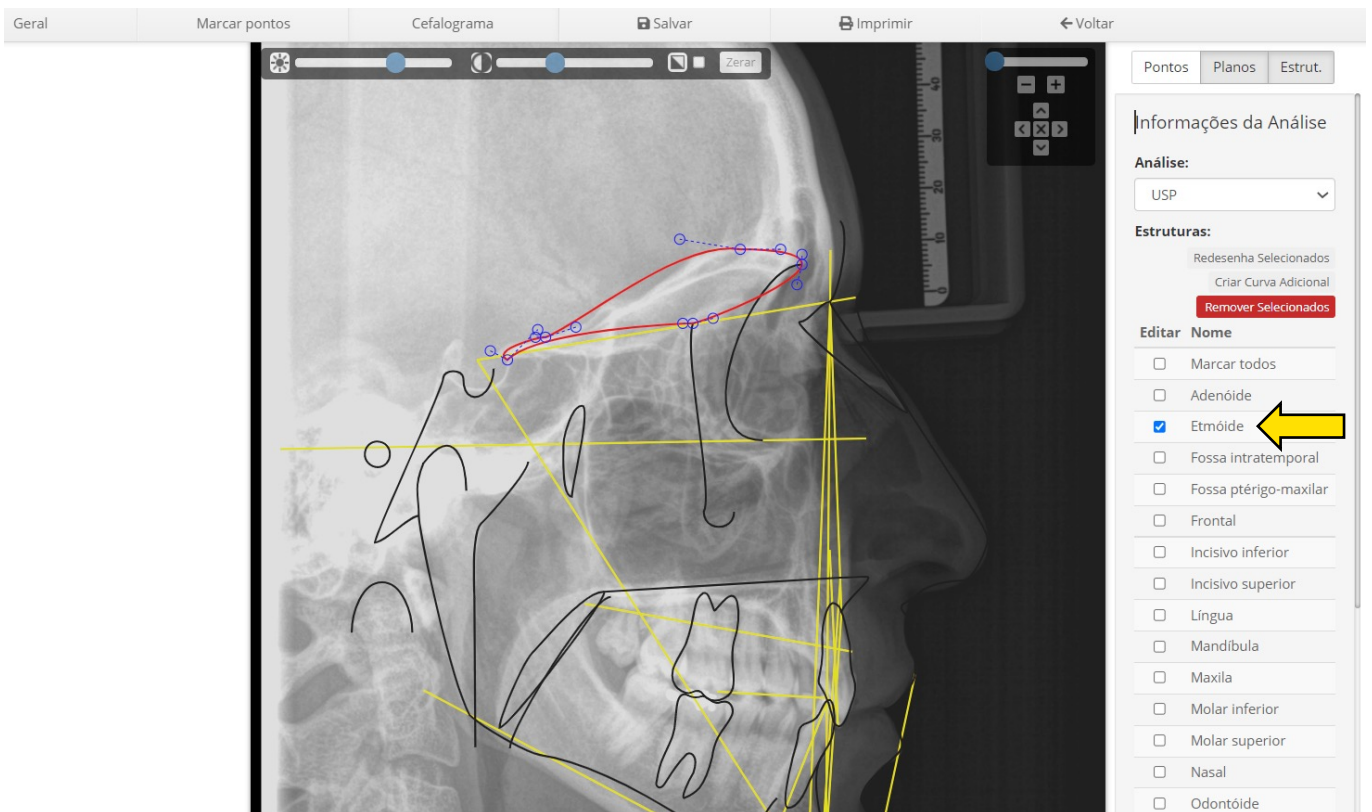


The screenshot shows a software interface for dental analysis. The main window displays a lateral cephalogram with numerous red dots marking anatomical points. The interface includes a top menu bar with options: Geral, Marcar pontos, Cefalograma, Salvar, Imprimir, and Voltar. A yellow arrow points to the 'Salvar' button. On the right side, there is a panel with tabs for 'Pontos', 'Planos', and 'Estrut.'. Below these tabs is a 'Traçado automático' section and a grid of numbered buttons (1-94) for point selection. The '114' button is highlighted in blue.

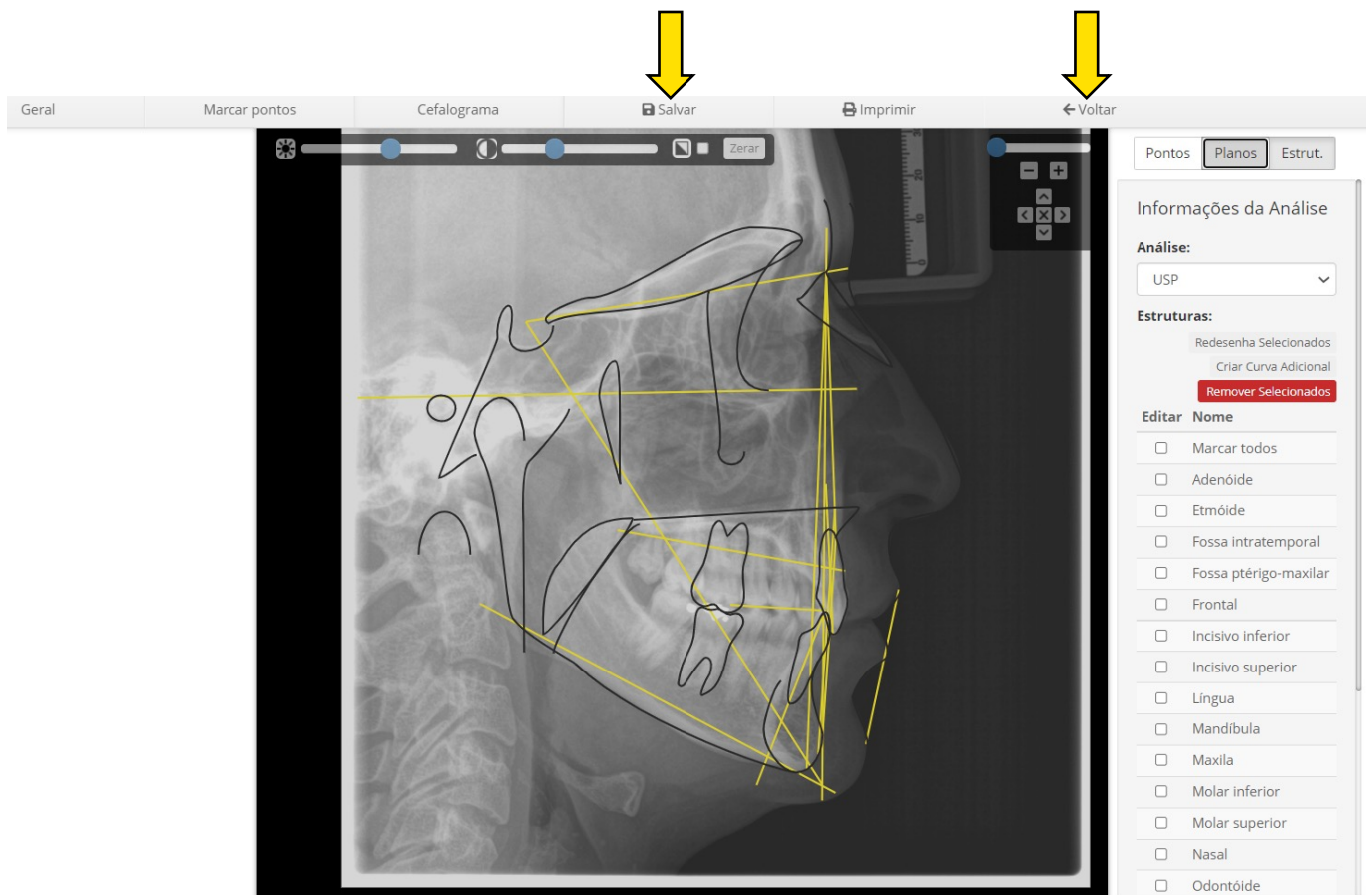
- Clique na aba “Cefalograma”.



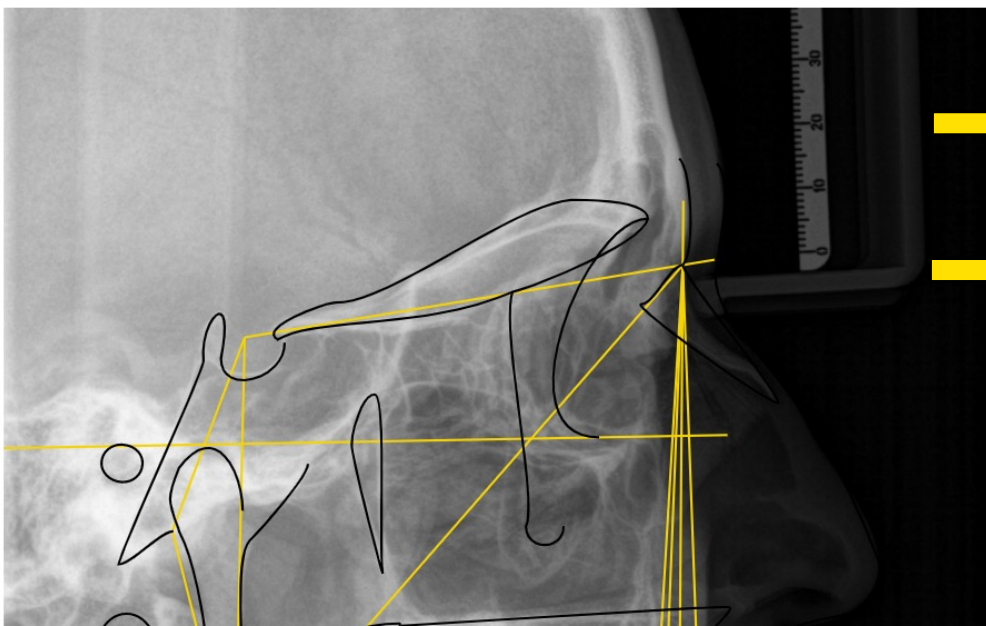
- Confira se todas as estruturas estão na posição correta, se alguma estrutura estiver fora da posição, selecione a estrutura na lateral da tela e ajuste, arrastando os guias.
- Após concluir, clique novamente no nome da estrutura para salvar a alteração.



- Com todas as estruturas ajustadas na posição correta, clique em “salvar” e depois em “voltar”.



- Clique em “Cefalometria Lateral”, altere o status para “finalizado”.
- Pronto! As análises cefalométricas estão salvas e o exame está finalizado. Para realizar o download do arquivo, clique em “Baixar”.



Ações

Traçar

Baixar pdf

Informações

Situação

Finalizado

Análise

Jarabak

Responsável:

Ensino LODI e SLM

Solicitação:

Não ha solicitação

DPI: 258

Dimensões(largura x altura em cm)

17.0cm x 20.2cm

- Observe no arquivo baixado, que foi criado um relatório das três análises realizadas: McNamara, Ricketts e USP.

Cfaz.net

Nº: 28

Data do pedido: 29/08/2021

Paciente: Cefalometria SLM

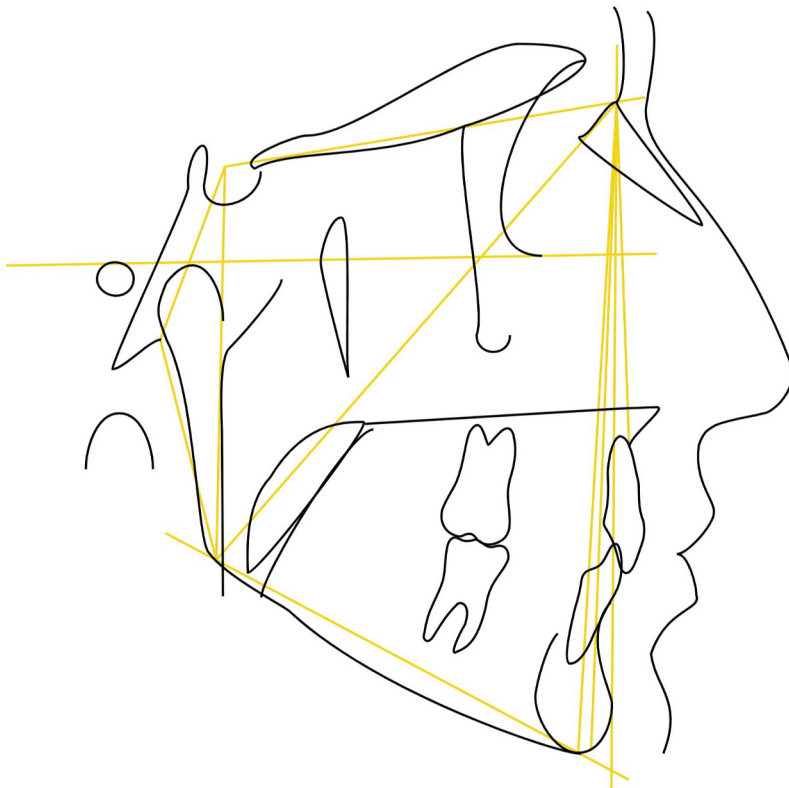
Sexo: Masculino

Idade: 22a 8m 15/12/1998

Indicação: LODI-Cefalometria

Tipo de análise:

Jarabak



Cfaz.net

Nº: 28

Data do pedido: 29/08/2021

Paciente: Cefalometria SLM

Sexo: Masculino

Idade: 22a 8m 15/12/1998

Indicação: LODI-Cefalometria

Tipo de análise: Jarabak

#	Descrição	Valor	Padrão	Desvios/Classificação
Análise Esqueletal				
1	Plano Facial (S-N).Pog	80.192 gr	79.0 ± 3.5	
2	Ângulo da Sela (S-N).Ar	119.885 gr	123.0 ± 5.0	
3	Ângulo Articular (S-Ar).Go	145.237 gr	143.0 ± 6.0	
4	Base do Crânio Anterior	69.217 mm	71.0 ± 3.0	
5	Base do Crânio Posterior	32.208 mm	32.0 ± 3.0	
6	Ângulo Goniaco (Ar-Go).Me	132.282 gr	130.0 ± 7.0	
7	(Ar-Go).N	55.39 gr	53.5 ± 1.5	+
8	(Me-Go).N	76.891 gr	72.5 ± 2.5	+
9	(S-Go).Me	116.766 gr	-	
10	Altura do Ramo Go-Ar	39.692 mm	44.0 ± 5.0	
11	Corpo Mandibular Go-Me	71.492 mm	71.0 ± 5.0	
12	S-N-A	82.718 gr	82.0 ± 2.4	
13	S-N-B	78.381 gr	80.0 ± 2.3	
14	A-N-B	4.337 gr	2.0 ± 1.3	+
15	Profundidade Facial	88.514 gr	87.0 ± 3.0	
16	(S-N).(Go-Gn)	35.221 gr	32.0 ± 0.0	
17	(S-N).Gn	66.682 gr	66.0 ± 3.0	
18	Convexidade Facial	5.924 gr	4.5 ± 2.3	
19	S-Go	68.654 mm	71.0 ± 6.0	
20	N-Me	113.705 mm	114.0 ± 6.0	
21	S-Go % N-Me	60.379 %	63.5 ± 1.5	Vertical
Triângulo de Tweed				
22	FMA	29.082 gr	25.0	
23	FMIA	67.589 gr	68.0	
24	IMPA	83.329 gr	87.0	

Tipo de análise: Jarabak

Fator	Diagnóstico
Base do Crânio Anterior	Médio
S-N-A	Bom posicionamento
S-N-B	Bom posicionamento
A-N-B	Classe II esquelética
Convexidade Facial	Perfil Reto

Cfaz.net

Nº: 28

Data do pedido: 29/08/2021

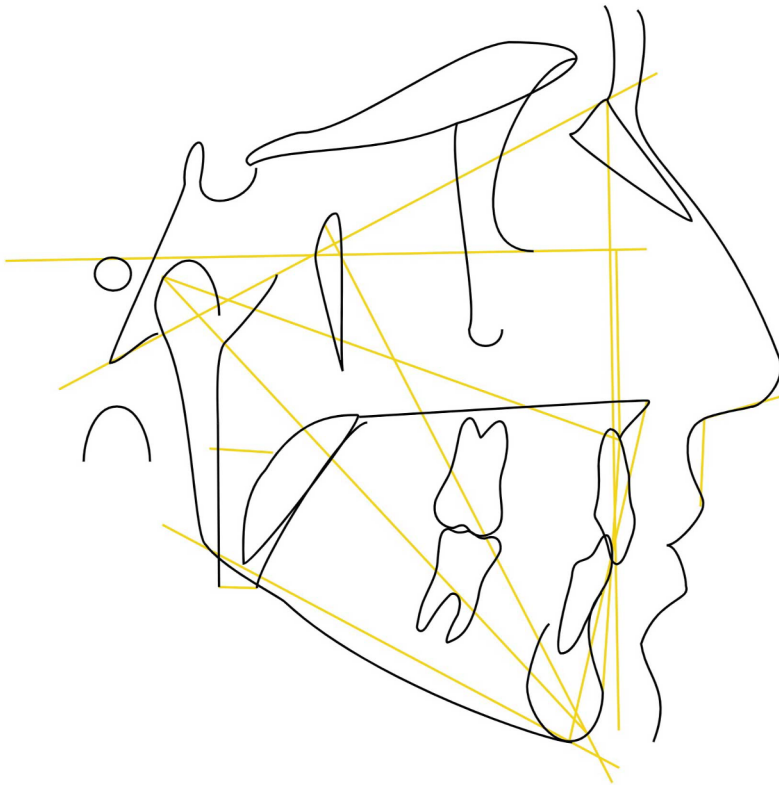
Paciente: Cefalometria SLM

Sexo: Masculino

Idade: 22a 8m 15/12/1998

Indicação: LODI-Cefalometria

Tipo de análise:

McNamara

Cfaz.net

Nº: 28

Data do pedido: 29/08/2021

Paciente: Cefalometria SLM

Sexo: Masculino

Idade: 22a 8m 15/12/1998

Indicação: LODI-Cefalometria

Tipo de análise: McNamara

#	Descrição	Valor	Padrão	Desvios/Classificação
Maxila x Base do Crânio				
1	A-N Perpendicular	1.094 mm	1.1 ± 2.7	
2	Prn.(Sn-Ls)	108.566 gr	104.4 ± 12.5	
Maxila x Mandíbula				
3	Co-Gn	110.154 mm	134.3 ± 6.8	---
4	Co-A	85.932 mm	99.8 ± 6.0	--
5	Diferença Maxila/Mandíbula	24.222	34.5 ± 4.0	--
6	ENA-Me	61.809 mm	74.6 ± 5.0	--
7	(Po-Or).(Go-Me)	29.082 gr	21.3 ± 3.9	+
8	(Ba-N).(Ptm-Gn)	89.379 gr	90.0 ± 3.0	
Mandíbula x Base do Crânio				
9	Pog-N Perpendicular	-2.721 mm	-0.3 ± 3.8	
Dentes				
10	Sf1/-A Perpendicular	2.479 mm	5.3 ± 2.0	-
11	Ili-(A-Pog)	-1.371 mm	2.3 ± 2.4	-
Vias Aéreas				
12	Nfa-Nfp	11.233 mm	17.4 ± 4.3	-
13	Bfa-Bfp	6.69 mm	13.5 ± 4.3	-

Tipo de análise: McNamara

Fator	Diagnóstico
A-N Perpendicular	Bom posicionamento
Prn.(Sn-Ls)	Bom ângulo
Sf1/-A Perpendicular	Retrusão incisiva

Cfaz.net

Nº: 28

Data do pedido: 29/08/2021

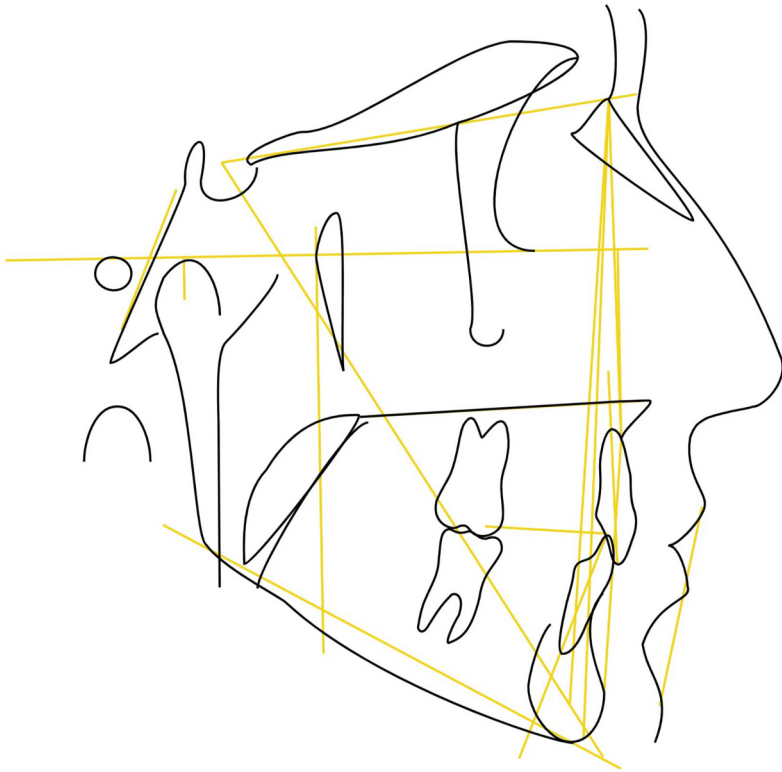
Paciente: Cefalometria SLM

Sexo: Masculino

Idade: 22a 8m 15/12/1998

Indicação: LODI-Cefalometria

Tipo de análise:

Profis

Cfaz.net

Nº: 28

Data do pedido: 29/08/2021

Paciente: Cefalometria SLM

Sexo: Masculino

Idade: 22a 8m 15/12/1998

Indicação: LODI-Cefalometria

Tipo de análise: Profis

#	Descrição	Valor	Padrão	Desvios/Classificação
Fórmula / Índice facial (Bimler)				
1	Ângulo Basal Superior	65.355 gr	65.0 ± 1.0	Mesoprosopo
2	Ângulo Basal Inferior	31.291 gr	22.5 ± 7.5	Leptoprosopo
3	Índice Facial Suborbital	-1.0	0.0 ± 0.49	Leptoprosopo
Índice Facial Suborbital				
4	N-A.Pog	5.924 gr	2.8 ± 2.2	+
5	S-N.Gn	66.682 gr	66.0 ± 3.2	
6	Ocl.SN	12.75 gr	13.5 ± 4.0	
7	(Go-Gn).(S-N)	35.221 gr	31.5 ± 4.6	
Avaliação Clássica - Riedel (Unicamp)				
8	S-N.A	82.718 gr	81.5 ± 3.2	
9	S-N.B	78.381 gr	79.4 ± 2.9	Bom posicionamento
10	A-N.B	4.337 gr	2.1 ± 1.9	+
11	S-N.D	76.947 gr	76.0 ± 2.0	
Avaliação Wits (Unicamp)				
12	Wits	3.907 mm	0.0 ± 2.0	Classe II
Avaliação de McNamara				
13	Co-A	85.932 mm	99.8 ± 6.0	--
14	Co-Gn	110.154 mm	134.3 ± 6.8	---
15	Diferença Mx - Md	24.222	34.5 ± 4.0	--
16	Alt. Facial Ant. Inferior	61.809 mm	74.6 ± 5.0	--
Arcos Dentários x Bases Apicais (Unicamp)				
17	(Ais-lis).(N-A)	0.591 gr	23.2 ± 5.5	Retrusão do Incisivo superior
18	lis-(N-A)	-1.471 mm	5.6 ± 1.9	---
19	(lis-Ais).(S-N)	83.309 gr	110.0 ± 4.0	-----
20	(lii-Aii).(N-B)	19.114 gr	26.3 ± 4.2	Retrusão do incisivo inferior
21	lii-(N-B)	2.727 mm	5.2 ± 1.6	-
22	IMPA	83.329 gr	87.0 ± 5.4	
23	Pog-(N-B)	-3.317 mm	1.6 ± 1.6	---
24	(lis-Ais).(lii-Aii)	155.958 gr	131.0 ± 2.0	+++++
25	lii-(A-Pog)	-1.371 mm	0.0 ± 2.0	
Análise de Perfil Tegumentar				
26	H-Nariz (Unicamp)	8.281 mm	10.0 ± 2.0	Bom alinhamento
27	Pm.(Sn-Ls) (McNamara)	108.566 gr	100.0 ± 10.0	Bom ângulo
28	Linha H.N-B	9.741 gr	8.0 ± 1.0	+

Cfaz.net

Nº: 28

Data do pedido: 29/08/2021

Paciente: Cefalometria SLM

Sexo: Masculino

Idade: 22a 8m 15/12/1998

Indicação: LODI-Cefalometria

Tipo de análise: Profis

Fator	Diagnóstico
Ângulo Basal Superior	Mesoprosopo
Ângulo Basal Inferior	Leptoprosopo
Índice Facial Suborbital	Leptoprosopo
S-N.B	Bom posicionamento
Wits	Classe II
(Ais-lis).(N-A)	Retrusão do Incisivo superior
(Iii-Aii).(N-B)	Retrusão do incisivo inferior
H-Nariz (Unicamp)	Bom alinhamento
Prn.(Sn-Ls) (McNamara)	Bom ângulo

Cfaz.net

Nº: 28

Data do pedido: 29/08/2021

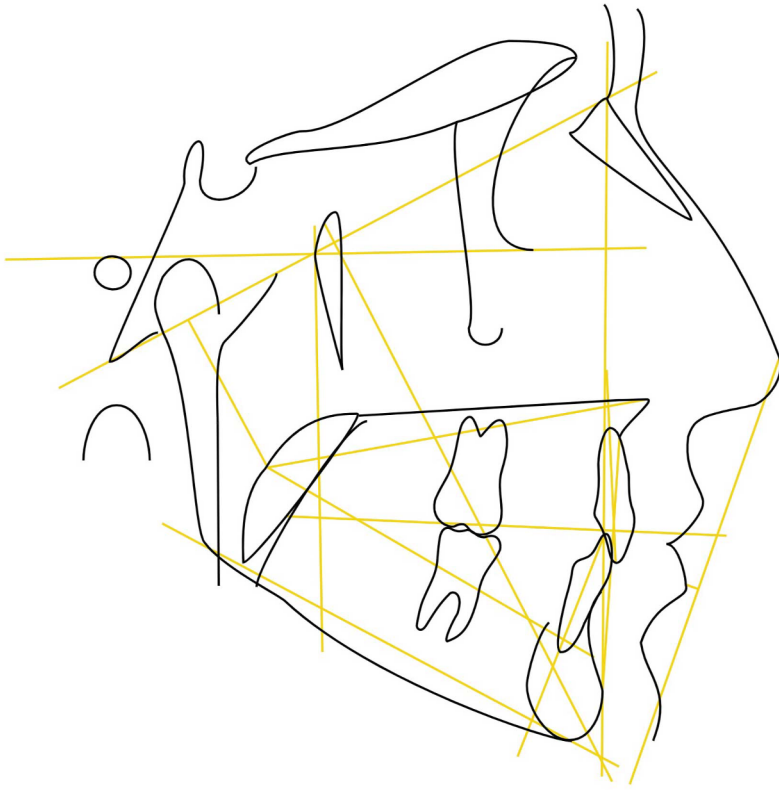
Paciente: Cefalometria SLM

Sexo: Masculino

Idade: 22a 8m 15/12/1998

Indicação: LODI-Cefalometria

Tipo de análise:

Ricketts

Cfaz.net

Nº: 28

Data do pedido: 29/08/2021

Paciente: Cefalometria SLM

Sexo: Masculino

Idade: 22a 8m 15/12/1998

Indicação: LODI-Cefalometria

Tipo de análise: Ricketts

#	Descrição	Valor	Padrão	Desvios/Classificação
Campo I - Problemas Dentários				
1	Relação Molar	0.085 mm	-3.0 ± 3.0	+
2	Relação Canina	3.062 mm	-2.0 ± 3.0	+
3	Trespasse Horizontal do Incisivo (Overjet)	2.052 mm	2.5 ± 2.5	
4	Trespasse Vertical do Incisivo (Overbite)	5.426 mm	2.5 ± 2.0	+
5	Extrusão do Incisivo Inferior	-0.324 mm	1.25 ± 2.0	
6	Ângulo Interincisivo	155.958 gr	130.0 ± 6.0	++++
Campo II - Problemas Esqueléticos				
7	Convexidade no Ponto A	2.656 mm	-0.7 ± 2.0	+
8	Altura Facial Inferior	40.383 gr	45.0 ± 4.0	-
Campo III - Problemas Dento-Esqueléticos				
9	Posição do Molar Superior	21.439 mm	21.0 ± 3.0	
10	Protusão do Incisivo Inferior	-1.371 mm	1.0 ± 2.3	-
11	Protusão do Incisivo Superior	0.806 mm	3.5 ± 2.3	-
12	Inclinação do Incisivo Inferior	17.526 gr	22.0 ± 4.0	-
13	Inclinação do Incisivo Superior	6.515 gr	28.0 ± 4.0	-----
14	Distância Xi - Plano Oclusal	-8.47 mm	-4.5 ± 3.0	-
15	Inclinação do Plano Oclusal	27.66 gr	18.0 ± 4.0	++
Campo IV - Problemas Estéticos				
16	Protusão Labial Inferior	-2.364 mm	-1.0 ± 2.0	
17	Comprimento Labial Superior	25.83 mm	24.0 ± 2.0	
18	Comissura Labial/Plano Oclusal	1.95 mm	-3.0 ± 2.0	++
Campo V - Relação Crânio Facial				
19	Profundidade Facial	88.514 gr	89.47 ± 3.1	
20	Ângulo do Eixo Facial	89.379 gr	90.0 ± 3.5	
21	Cone Facial	62.404 gr	68.0 ± 4.0	-
22	Profundidade Maxilar	91.04 gr	90.0 ± 3.0	
23	Altura Maxilar	59.365 gr	53.0 ± 3.0	++
24	Altura Facial Total	58.06 gr	60.0 ± 3.0	
25	Inclinação do Plano Palatino	2.209 gr	1.0 ± 3.5	
26	Ângulo do Plano Mandibular	29.082 gr	22.94 ± 4.5	+
Campo VI - Estruturas Internas				
27	Deflexão Craniana	26.833 gr	27.0 ± 3.0	
28	Comprimento Craniano Anterior	54.559 mm	63.9 ± 2.5	---
29	Altura Facial Posterior	55.446 mm	54.8 ± 3.3	
30	Posição do Ramo	76.438 gr	76.0 ± 3.0	
31	Localização do Pório	34.8 mm	43.5 ± 2.2	---
32	Ângulo do Arco Mandibular	31.533 gr	30.5 ± 4.0	
33	Comprimento do Corpo	66.762 mm	79.4 ± 2.7	----

VERT: -0.027 => Meso

Cfaz.net

Nº: 28

Data do pedido: 29/08/2021

Paciente: Cefalometria SLM

Sexo: Masculino

Idade: 22a 8m 15/12/1998

Indicação: LODI-Cefalometria

Tipo de análise: Ricketts

Fator	Diagnóstico
Relação Molar	Classe II
Relação Canina	Classe II
Trespasse Horizontal do Incisivo (Overjet)	Overjet ideal
Trespasse Vertical do Incisivo (Overbite)	Mordida Profunda
Extrusão do Incisivo Inferior	Overbite ideal
Ângulo Interincisivo	Dolicofacial
Convexidade no Ponto A	Perfil convexo
Altura Facial Inferior	Braquifacial
Posição do Molar Superior	Classe I
Protusão do Incisivo Inferior	Retrusão do incisivo inferior
Protusão do Incisivo Superior	Retrusão do incisivo superior
Inclinação do Incisivo Inferior	Perfil côncavo
Inclinação do Incisivo Superior	Dolicofacial
Distância Xi - Plano Oclusal	Abaixo do Xi
Inclinação do Plano Oclusal	Ântero inclinado
Protusão Labial Inferior	Lábio normal
Comprimento Labial Superior	Lábio superior normal
Comissura Labial/Plano Oclusal	Sorriso infragengival
Profundidade Facial	Bom posicionamento
Ângulo do Eixo Facial	Bom posicionamento
Cone Facial	Dólicofacial
Profundidade Maxilar	Bom posicionamento
Altura Maxilar	Mordida aberta
Altura Facial Total	Mesofacial
Inclinação do Plano Palatino	Normal
Ângulo do Plano Mandibular	Dólicofacial
Deflexão Craniana	Classe I
Comprimento Craniano Anterior	Pequeno
Altura Facial Posterior	Mesofacial
Posição do Ramo	Classe I
Localização do Pório	Abaixo da norma
Ângulo do Arco Mandibular	Mesofacial
Comprimento do Corpo	Classe II

Cfaz.net

Nº: 28

Data do pedido: 29/08/2021

Paciente: Cefalometria SLM

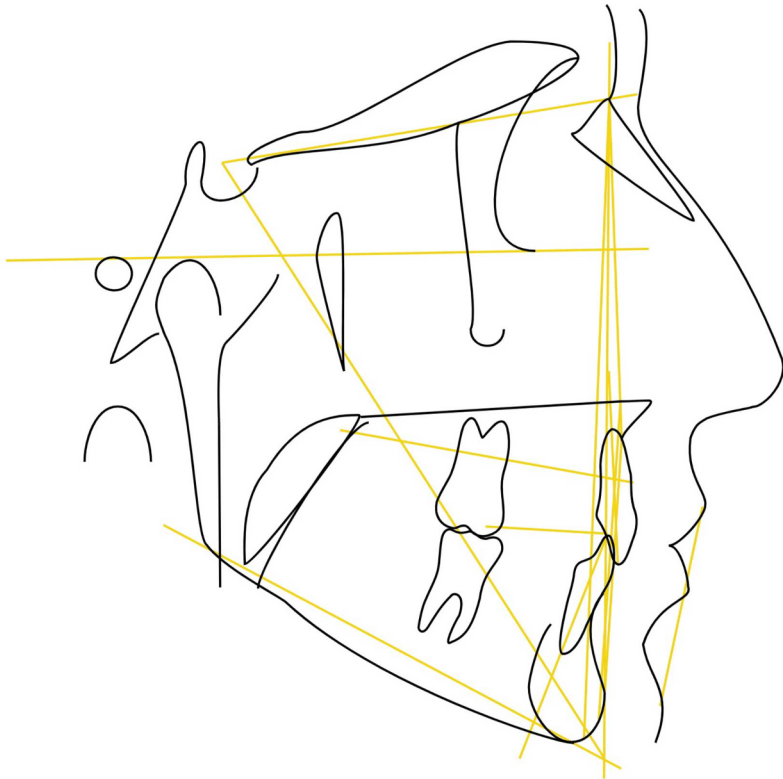
Sexo: Masculino

Idade: 22a 8m 15/12/1998

Indicação: LODI-Cefalometria

Tipo de análise:

USP



Cfaz.net

Nº: 28

Data do pedido: 29/08/2021

Paciente: Cefalometria SLM

Sexo: Masculino

Idade: 22a 8m 15/12/1998

Indicação: LODI-Cefalometria

Tipo de análise: USP

#	Descrição	Valor	Padrão	Desvios/Classificação
Campo I				
1	(N-Pog).(Po-Orb)	88.514 gr	88.0 ± 1.0	
2	N-A.Pog	5.924 gr	0.0 ± 2.0	++
3	S-N.A	82.718 gr	82.0 ± 2.0	
4	S-N.B	78.381 gr	80.0 ± 2.0	
5	A-N.B	4.337 gr	2.0 ± 2.0	+
6	S-N.D	76.947 gr	76.0	
Campo II				
7	S-N.Gn	66.682 gr	67.0	
8	S-N.Ocl	12.75 gr	14.0	
9	(S-N).(Go-Me)	37.404 gr	32.0	
10	(Go-Gn).Ocl	22.471 gr	18.0	
Campo III				
11	Ângulo Interincisivo	155.958 gr	131.0	
12	1/.NS	83.309 gr	103.0	
13	1/-Órbita	-11.953 mm	5.0	
14	1/.NA	0.591 gr	22.0 ± 5.0	----
15	1/-NA	2.232 mm	4.0	
16	/1.NB	19.114 gr	25.0 ± 4.0	-
17	/1-NB	2.727 mm	4.0	
18	/1-NPog	0.301 mm	0.0	
Campo IV				
19	H.(N-B)	9.741 gr	10.5 ± 1.5	
20	H-Nariz	8.281 mm	10.0 ± 1.0	-
21	Pog-NB	3.317 mm	-	
22	Eminência Mentoniana	9.386 mm	7.0 ± 1.0	++
Campo V				
23	FMIA	67.589 gr	68.0	
24	FMA	29.082 gr	25.0	
25	IMPA	83.329 gr	87.0	
26	TPi	-0.007 mm	-	
Campo VI				
27	/1-Linha I	0.686 mm	0.0	
28	(Go-Me).(V-T)	68.806 gr	72.0	
29	F.(V-T)	82.112 gr	81.0	
30	A-(V-T)	4.686 mm	3.0	
31	lii-(V-T)	4.19 mm	6.0	
32	H.(V-T)	5.15 gr	5.0	
33	Discrepância Cefalométrica - Vigorito	-6.41	-	

Cfaz.net

Nº: 28

Data do pedido: 29/08/2021

Paciente: Cefalometria SLM

Sexo: Masculino

Idade: 22a 8m 15/12/1998

Indicação: LODI-Cefalometria

Tipo de análise: USP

Fator	Diagnóstico
N-A.Pog	Perfil Convexo
S-N.A	Bom posicionamento
S-N.B	Bom posicionamento
A-N.B	Classe II esquelética
1/.NA	Inclinação inferior
/1.NB	Inclinação inferior

The image features a black background with several overlapping hexagonal shapes in shades of yellow and orange. These shapes are arranged in a way that creates a three-dimensional effect, resembling stacked cubes or a complex geometric pattern. The hexagons are positioned in the top-left, middle-left, and bottom-right areas of the frame. Centered in the lower half of the image is the word "REFERÊNCIAS" in a white, uppercase, sans-serif font.

REFERÊNCIAS

1. Zide B, Grayson B, McCarthy JG. Cephalometric analysis: part I. *Plast Reconstr Surg*. 1981 Nov;68(5):816-23. doi: 10.1097/00006534-198111000-00032. PMID: 7291358.
2. Trpkova B, Major P, Prasad N, Nebbe B. Cephalometric landmarks identification and reproducibility: a meta analysis. *Am J Orthod Dentofacial Orthop*. 1997 Aug;112(2):165-70. doi: 10.1016/s0889-5406(97)70242-7. PMID: 9267228.
3. Meriç P, Naoumova J. Web-based Fully Automated Cephalometric Analysis: Comparisons between App-aided, Computerized, and Manual Tracings. *Turk J Orthod*. 2020 Aug 11;33(3):142-149. doi: 10.5152/TurkJOrthod.2020.20062. PMID: 32974059; PMCID: PMC7491969.
4. Han MD, Momin MR, Munaretto AM, Hao S. Three-dimensional cephalometric analysis of the maxilla: Analysis of new landmarks. *Am J Orthod Dentofacial Orthop*. 2019 Sep;156(3):337-344. doi: 10.1016/j.ajodo.2018.09.018. PMID: 31474263.
5. Santos RMGD, De Martino JM, Haiter Neto F, Passeri LA. Cone-Beam Computed Tomography-Based Three-Dimensional McNamara Cephalometric Analysis. *J Craniofac Surg*. 2018 Jun;29(4):895-899. doi: 10.1097/SCS.0000000000004248. PMID: 29381618.
6. Rintala A, Nordström R, Partinen M, Ranta R, Sjöblad A. Cephalometric analysis of the obstructive sleep apnea syndrome. *Proc Finn Dent Soc*. 1991;87(1):177-82. PMID: 2057485.
7. Naji P, Alsufyani NA, Lagravère MO. Reliability of anatomic structures as landmarks in three-dimensional cephalometric analysis using CBCT. *Angle Orthod*. 2014 Sep;84(5):762-72. doi: 10.2319/090413-652.1. Epub 2013 Dec 23. PMID: 24364751.
8. Farooq MU, Khan MA, Imran S, Sameera A, Qureshi A, Ahmed SA, Kumar S, Rahman MA. Assessing the Reliability of Digitalized Cephalometric Analysis in Comparison with Manual Cephalometric Analysis. *J Clin Diagn Res*. 2016 Oct;10(10):ZC20-ZC23. doi: 10.7860/JCDR/2016/17735.8636. Epub 2016 Oct 1. PMID: 27891451; PMCID: PMC5121797.
9. Ponnada SR, Ganugapanta VR, Perumalla KK, Naqeed MA, Harini T, Mandalaju SP. Airway Analysis in Skeletal Class I and Class II Subjects with Different Growth Patterns: A 2D Cephalometric Study. *J Pharm Bioallied Sci*. 2020 Aug;12(Suppl 1):S161-S167. doi: 10.4103/jpbs.JPBS_49_20. Epub 2020 Aug 28. PMID: 33149449; PMCID: PMC7595453.

GUIA PRÁTICO DE
CEFALOMETRIA

SISTEMA CFAZ.NET



SIGA NOSSAS REDES SOCIAIS

PRESSIONE OS BOTÕES PARA ACESSAR



@lodiuepg



/Lodiuepg



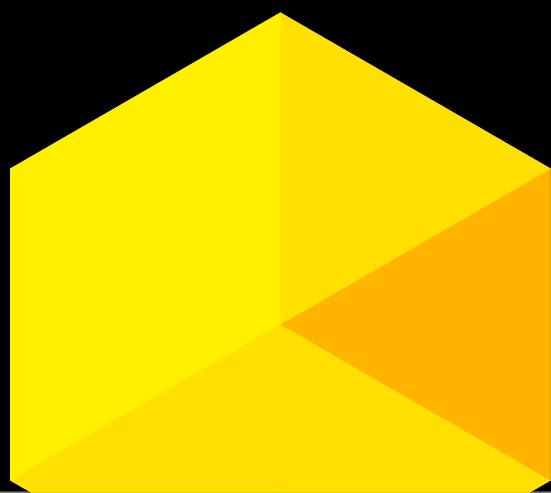
LODI - UEPG

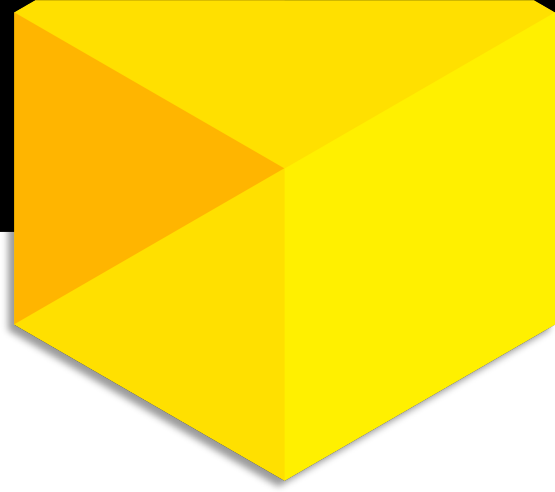


www2.uepg.br/lodi/



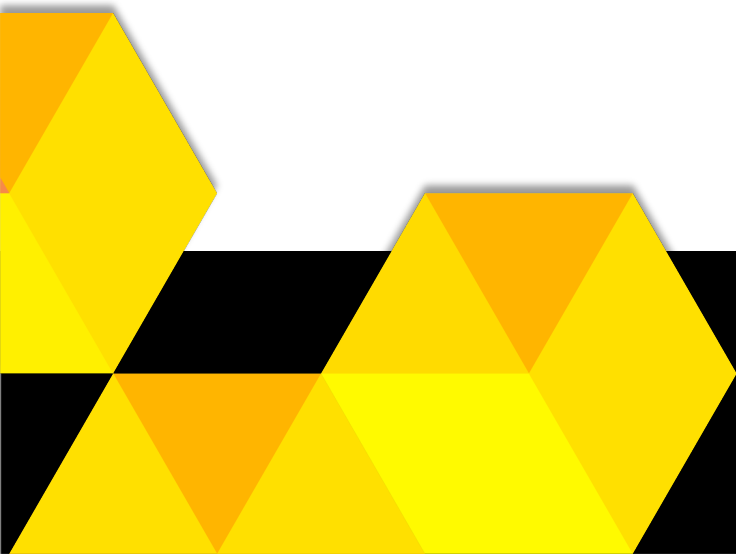
O B R I G A D O





AMIGOS DA LODI

Cfaz.net **CYBER1ED**  **Carestream** 
DENTAL





Universidade Estadual
de Ponta Grossa



GUIA PRÁTICO DE CEFALOMETRIA

SISTEMA CFAZ.NET

www.atenaeditora.com.br 

contato@atenaeditora.com.br 

[@atenaeditora](https://www.instagram.com/atenaeditora) 

www.facebook.com/atenaeditora.com.br 

Liga Odontológica
De Diagnóstico
Por Imagem - UEPG


Ano 2021



GUIA PRÁTICO DE CEFALOMETRIA

SISTEMA CFAZ.NET

www.atenaeditora.com.br 

contato@atenaeditora.com.br 

[@atenaeditora](https://www.instagram.com/atenaeditora) 

www.facebook.com/atenaeditora.com.br 

Liga Odontológica
De Diagnóstico
Por Imagem - UEPG


Ano 2021